

ΠΡΑΚΤΙΚΑ ΤΗΣ ΑΚΑΔΗΜΙΑΣ ΑΘΗΝΩΝ

ΕΚΤΑΚΤΟΣ ΣΥΝΕΔΡΙΑ ΤΗΣ 11ηΣ ΜΑΡΤΙΟΥ 1997

ΠΡΟΕΔΡΙΑ ΝΙΚΟΛΑΟΥ ΜΑΤΣΑΝΙΩΤΗ

ΑΛΛΗΛΕΠΙΔΡΑΣΕΙΣ ΗΛΙΑΚΟΥ ΑΝΕΜΟΥ ΚΑΙ ΠΛΑΝΗΤΩΝ

ΟΜΙΛΙΑ ΤΟΥ ΑΝΤΕΠΙΣΤΕΛΛΟΝΤΟΣ ΜΕΛΟΥΣ κ. ΣΤΑΜΑΤΙΟΥ Μ. ΚΡΙΜΙΖΗ

ΕΙΣΑΓΩΓΗ

Από τὴν ἀρχὴν τῆς ρομποτικῆς ἐξερεύνησης τοῦ ἡλιακοῦ συστήματος, πρὶν ἀπὸ 35 χρόνια, ἔγινε ἔνα ἐπαναστατικὸν ἄλμα πρὸς τὰ ἐμπρὸς στὴ γνώση τοῦ ἡλιακοῦ συστήματος, ξεκινώντας ἀπὸ τὸν "Ἡλιο αὐτὸν καθ' ἑαυτὸν καὶ ἐκτεινόμενο στὸν καθένα ἀπὸ τοὺς ἐννιά πλανῆτες ποὺ ἔχουν ἐξερευνήθει μέχρι τώρα ἀπὸ διαστημόπλοια. Τὰ διαστημόπλοια ἔδωσαν λεπτομερεῖς εἰκόνες τῶν πλανητικῶν ἐπιφανειῶν ἢ ἀτμοσφαιρῶν, καθὼς καὶ πλανητικῶν διορυφόρων, κομητῶν καὶ μερικῶν ἀστεροειδῶν, ποὺ εἶναι διαδεδομένες εὑρέως στὸ κοινό καὶ μᾶς ἔχουν βοηθήσει νὰ σχηματίσουμε μιὰ ἐντελῶς καινούργια εἰκόνα γιὰ τὸ τί εἶναι τὸ ἡλιακὸ σύστημα καὶ τί εἶναι δρισμένοι μηχανισμοὶ ποὺ τὸ ὅδήγησαν στὴν παροῦσα του κατάσταση. Οἱ εἰκόνες ἀπὸ τὶς πλανητικὲς ἐπιφάνειες καὶ τὶς ἀτμόσφαιρες πάντως, δισο θαυμαστὲς καὶ ἀν εἶναι, παρ' ὅλα αὐτὰ εἶναι ἔνα μέρος μόνο τῆς γνώσης ποὺ ἔχει συσσωρευτεῖ ἀπὸ τὴ χρήση αὐτῶν τῶν διαστημόπλοιων. Ὑπάρχει μιὰ πλευρὰ τῆς γνώσης μας ποὺ δὲν εἶναι παρατηρήσιμη στὰ δρατὰ μήκη κύματος καὶ εἶναι σὲ μεγάλο βαθμὸ ἀγνωστη στὸ εύρον κοινό, ἀλλὰ εἶναι πάντως βασικῆς σημασίας γιὰ τὴν κατανόησή μας τοῦ πῶς τὸ ἡλιακὸ σύστημα σχηματίστηκε, καὶ ἐγκαθιδρύει τὴ βάση στὴν ὅποια μποροῦμε νὰ ὀπτικοποιήσουμε τὶς εἰκόνες ἀλλων ὄλικῶν συστημάτων, ἀλλων γαλαξιῶν καὶ ἀστροφυσικῶν ἀντικειμένων ποὺ βρίσκονται μέσα σ' αὐτά, οἱ ὅποιες ἀποκτοῦνται ἀπὸ τηλεσκόπια στὴ Γῆ καὶ στὸ διάστημα.

Μια σημαντική άνακάλυψη, πού ξεπήδησε μέσα από την έποχή της έξερεύνησης του ήλιαιακού συστήματος μὲ διαστημόπλοια είναι ο ύψηλός βαθμός στὸν ὅποιο τὰ πλανητικὰ καὶ τὰ ήλιαιακὰ μαγνητικὰ πεδία δργανώνουν τὴν ιονισμένη ψλη. Ραδιοκύματα, πού ἐκπέμπονται απὸ ήλιαιακὰ καὶ πλανητικὰ πλάσματα, συναντῶνται σὲ μία εὐρεία ὁμάδα ἀστροφυσικῶν προβλημάτων καὶ γι' αὐτὸ καταλαμβάνουν μιὰ κεντρικὴ θέση στὴ φυσικὴ πλάσματος του ήλιαιακού συστήματος. Χαρτογραφώντας τοὺς πληθυσμοὺς πλάσματος γύρω απὸ τὴ Γῆ καὶ τοὺς ἄλλους πλανῆτες καὶ καθορίζοντας τοὺς φυσικοὺς μηχανισμοὺς πού λειτουργοῦν σ' αὐτὰ τὰ πλάσματα, οἱ ἐπιστήμονες ἀναπτύσσουν μοντέλα μὲ τὰ ὅποια μεταφράζουν τὶς ήλεκτρομαγνητικὲς ἐκπομπὲς ποὺ λαμβάνονται απὸ μακρινὰ ἀστέρια καὶ γαλαξίες. Πολλὰ μὴ-ἐκπεμπόμενα κύματα καὶ ἀλληλεπιδράσεις σωματιδίων παιζούν ἐν ακρίμῳ ρόλῳ στὴν παραγωγὴ τῶν παρατηρημένων ἐκπομπῶν. Αὐτὸ ἔκανε ἀπαραίτητο νὰ ἔξετάσουμε τὶς διαδικασίες πλάσματος ἐπὶ τόπου μὲ διαστημόπλοια. Πολλὲς ἀπὸ τὶς πληροφορίες πού παρουσιάζονται ἐδῶ προέρχονται απὸ τέτοιες μετρήσεις διαστημοπλοίων.

Σ' αὐτὸ τὸ ἀρθρο ξεκινοῦμε ἔξετάζοντας τὸ πιὸ σημαντικὸ ἀστέρι στὸν οὐρανό, τὸν "Ηλιο μας, καὶ μετὰ προχωροῦμε νὰ περιγράψουμε πῶς ἡ ήλιαιακὴ δραστηριότητα φανερώνεται διὰ τῆς σωματιδιακῆς ἔξαπλωσής της στὸ διάστημα μέσω του ήλιαιακοῦ ἀνέμου, τὶς ἐπιδράσεις καὶ τὶς μορφὲς του ήλεκτρομαγνητικοῦ περιβάλλοντος καθ' ἐνὸς ἀπὸ τοὺς πλανῆτες, ἀκόμα καὶ τοὺς προσωρινοὺς κατοίκους του ήλιαιακοῦ συστήματος ὅπως οἱ κοιμῆτες. Θὰ παρουσιαστεῖ μιὰ πιὸ ἐκτενῆς περιγραφὴ τῆς μαγνητόσφαιρας τῆς Γῆς διότι σχηματίζει τὸ πλαίσιο ἐργασίας ἀπὸ τὸ ὅποιο μποροῦμε νὰ καταλάβουμε καὶ νὰ συγκρίνουμε τὶς μαγνητόσφαιρες τῶν ἄλλων πλανητῶν. Μετὰ θὰ προχωρήσουμε νὰ δοῦμε τὰ γενικὰ χαρακτηριστικὰ τῶν μαγνητοσφαιρῶν ὅπως τὰ κατανοοῦμε στὸ ήλιαιακὸ σύστημα, θὰ σημειώσουμε μερικὲς ἀπὸ τὶς ὁμοιότητες καὶ μερικὲς ἀπὸ τὶς σημαντικὲς διαφορὲς καὶ μετὰ θὰ γενικεύσουμε τὴν ἀντίληψη τῶν μαγνητοσφαιρῶν γιὰ νὰ προτείνουμε προεκτάσεις σὲ ἄλλα ἀστροφυσικὰ ἀντικείμενα τὰ ὅποια δὲν προσφέρονται γιὰ ἐπὶ τόπου παρατηρήσεις.

ΗΛΙΑΚΗ ΔΡΑΣΤΗΡΙΟΤΗΤΑ

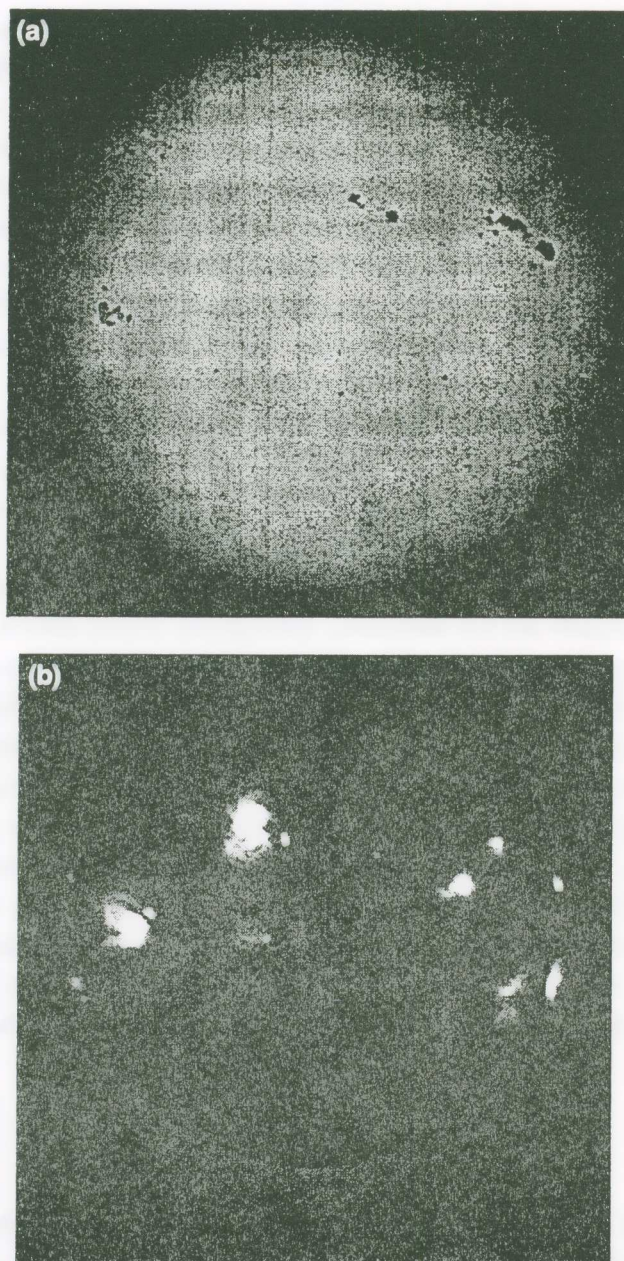
Ο "Ηλιος εἶναι ἐνα τυπικὸ μέσης ήλικίας ψυχρὸ ἀστρο ὅπως δισεκατομμύρια ἄλλα στὸ γαλαξία μας. Εἶναι μιὰ πελώρια σφαίρα ἀερίου (1,4 ἐκατομμύρια km σὲ διάμετρο) τὸ ὅποιο συγκρατεῖται ἀπὸ τὴν ἴδια του τὴ βαρύτητα, ἔχοντας μιὰ ἐστία στὸν πυρήνα του, ποὺ δηγεῖται ἀπὸ πυρηνικὲς ἀντιδράσεις σύντηξης. Η Εἰκόνα 1 παρουσιάζει τὴν ὅψη του "Ηλιου στὴν πρὸ καὶ μετὰ διαστημάτος ἐποχή. Στὰ ἀριστερὰ φαίνεται μιὰ εἰκόνα πού πάρθηκε στὸ δραπέτ φῶς ποὺ δείχνει μιὰ σχε-

τικά ήσυχη σφαίρα μὲ μερικές σκοτεινές τελεῖες πού δνομάζονται ήλιακές κηλίδες. Πρὸς ἀπό τὸ ξεκίνημα τῶν διαστημικῶν παρατηρήσεων γνωρίζαμε ὅτι ἡ θερμοκρασία κοντὰ στὴν ὁρατὴ ἐπιφάνεια ἥταν κοντὰ στοὺς 6000⁰ K (φωτόσφαιρα) σὲ ἔνα ὑψόμετρο περίπου 2000 km. Στὸ τμῆμα (b) τῆς Εἰκόνας 1 βλέπουμε μιὰ πολὺ διαφορετικὴ εἰκόνα τοῦ "Ηλιου πού παρατηρήθηκε σὲ μήκη κύματος ἀκτίνων-X. Αὐτὴ ἡ εἰκόνα ἀποκαλύπτει ὅτι ἡ ἐπιφάνεια τοῦ "Ηλιου εἶναι σὲ συνεχὴ κίνηση, ἔνας πολύπλοκος συνδυασμὸς τόσο τῆς περιστροφῆς τοῦ "Ηλιου γύρω ἀπὸ τὸν ἄξονά του ὃσο καὶ τῆς ταραχώδους μεταφορᾶς τῶν ἀερίων κάτω ἀπὸ τὴν ἐπιφάνειά του. Ἡ φωτογραφία ἀπεικονίζει μιὰ στιγμιαία εἰκόνα τοῦ ἡλιακοῦ στέμματος τὸ ὅποῖο εἶναι ἔνα ἀέριο σὲ θερμοκρασία περίπου 1,5 ἑκατομμυρίων βαθμῶν Kelvin.

Μέσω ἑνὸς μὴ κατανοητοῦ ἀκόμα μηχανισμοῦ πού περιλαμβάνει τὴν περιστροφὴ τοῦ "Ηλιου καὶ τὴ μεταφορὰ ἐνέργειας δημιουργοῦνται μαγνητικὲς γραμμές. Αὐτὲς δόδηγοῦν στὴ δημιουργία ἡλιακῶν κηλίδων καὶ τῶν τεράστιων ἐκρήξεων πού δνομάζονται ἡλιακὲς ἐκλάμψεις, πού ἐμφανίζονται λιγότερο ἡ περισσότερο συχνὰ σὲ ἔνα περίπου ἐντεκάχρονο κύκλο. Ἡ θερμότητα πού παράγεται ἀπὸ αὐτὲς τὶς κινήσεις τῶν μαγνητικῶν γραμμῶν καὶ τοῦ πλάσματος φαινομενικὰ γίνεται αἰτίᾳ ἡ ἡλιακὴ ἀτμόσφαιρα νὰ ἐκρήγνυται πρὸς τὸ διάστημα σὲ ἔνα ρέον πρὸς τὰ ἔξω ἀέριο ἀπὸ ἴοντα καὶ ἡλεκτρόνια τὸ ὅποῖο ἐπεκτείνεται μὲ μιὰ ταχύτητα τουλάχιστον 400 ἀς 1000 km/sec μέσα στὸ ἡλιακὸ σύστημα καὶ σὲ ὅλες τὶς διευθύνσεις καὶ σὲ πολλὰ δισεκατομμύρια χιλιόμετρα πέρα ἀπὸ τὴν τροχιὰ τοῦ μακρινότερου πλανητικοῦ σώματος. Αὐτὴ ἡ ροὴ θερμοῦ πλάσματος δνομάζεται ἡλιακὸς ἄνεμος. Ἀνάλογα μὲ τὴν ἡλιακὴ δραστηριότητα, ὑπάρχουν περιστασιακὲς ἐκρήξεις πρὸς τὰ ἔξω τοῦ ἡλιακοῦ πλάσματος πού δνομάζονται στέμματικὲς ἐκτινάξεις μάζας (ΣΕΜ), οἱ ὅποιες ὀθοῦνται πρὸς τὸ διάστημα καὶ διαδίδονται μὲ μιὰ ταχύτητα πού εἶναι ἀρκετὰ μεγαλύτερη ἀπὸ ὅ,τι δ περιβάλλων ἡλιακὸς ἄνεμος. Αὐτὲς οἱ ἐγχύσεις ἔχουν σημαντικές ἐπιδράσεις τὴ στιγμὴ πού φτάνουν τὴν τροχιὰ τῆς Γῆς καὶ τῶν ἄλλων πλανητῶν, ὅπως θὰ δοῦμε στὴ συνέχεια.

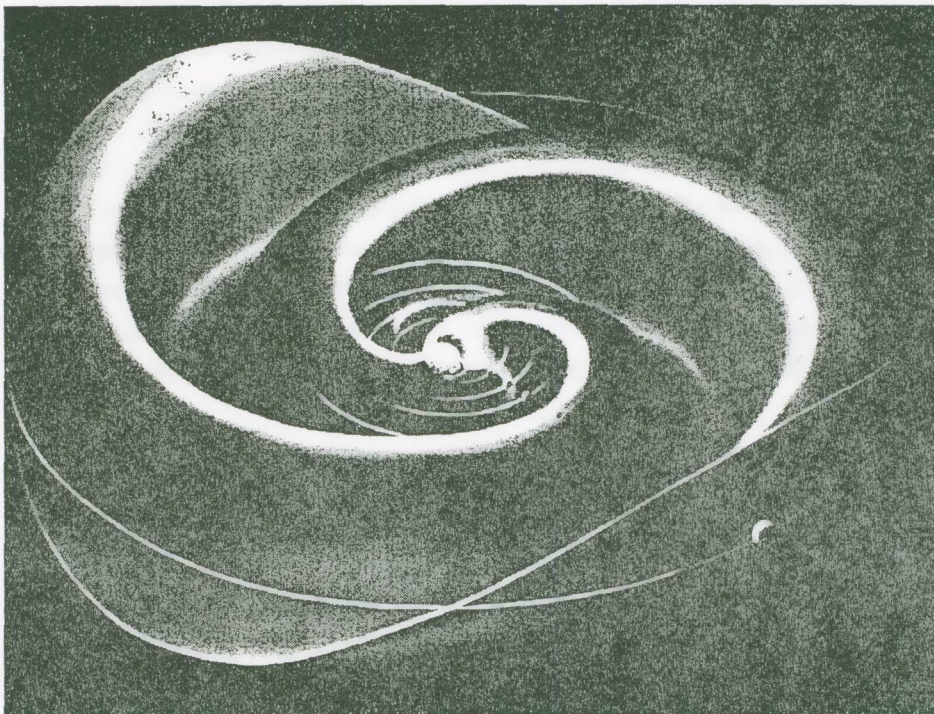
ΗΛΙΑΚΟΣ ΑΝΕΜΟΣ

Λόγω τοῦ ὅτι ἡ πυκνότητα ἐνέργειας τοῦ πλάσματος πού ρέει πρὸς τὰ ἔξω εἶναι μεγαλύτερη ἀπὸ ὅ,τι ἡ πυκνότητα ἐνέργειας τοῦ σταθεροῦ ἡλιακοῦ μαγνητικοῦ πεδίου, τὸ πλάσμα ούσιαστικὰ τραβᾷ τὸ μαγνητικὸ πεδίο ἔξω ἀπὸ τὸν "Ηλιο στὸν διαπλανητικὸ χῶρο· τὸ «πόδι» τῆς μαγνητικῆς γραμμῆς τοῦ μαγνητικοῦ παραμένει στερεωμένο στὸν "Ηλιο, ἀλλὰ λόγω τῆς ἡλιακῆς περιστροφῆς ἡ μαγνητικὴ γραμμὴ τελειώνει σχηματίζοντας τεράστια ἐλικοειδῆ, πού δνομάζονται Ἀρχιμήδεια ἐλικοειδῆ,



Εικόνα 1. Εικόνα της ήλιακης κορώνας σε μαλακές άκτινες - X. Παρατηρήστε τη μεγάλη σκοτεινή περιοχή που άντιπροσωπεύει μιά διπή κορώνας άπό την όποια άναδύεται ίψηλης ταχύτητας ήλιακός άνεμος. Οι λαμπερές περιοχές άντιπροσωπεύουν περιοχές ήλιακης δραστηριότητας με τις πιθ. λαμπρές περιοχές να δείχνουν τόξα άπό τα όποια τελικά μεγάλες μάζες ήλιακου άεριου έκπεμπονται στο πλανητικό μέσο.

ὅπως φαίνονται σχηματικά στὴν Εἰκόνα 2. Αὐτὸ τὸ λεγόμενο μοντέλο «φούστα μπαλαρίνας», ποὺ ἀρχικὰ προτάθηκε ἀπὸ τὸν μετέπειτα βραβευμένο νομπελίστα Hannes Alfvén, δείχνει ὅτι οἱ πλανῆτες καθὼς ταξιδεύουν γύρω ἀπὸ τὸν "Ηλιο εἰσέρχονται καὶ ἐξέρχονται σὲ ἔνα τεράστιο φλοιὸ ἀπὸ ἡλεκτρικὰ ρεύματα καὶ ἄρα ὑφίστανται μεταβολὲς στὴν πολικότητα τοῦ μαγνητικοῦ πεδίου ἀνάλογα μὲ τὸ ἄν ὁ πλανήτης βρίσκει τὸν ἔαυτό του πάνω ἢ κάτω ἀπὸ τὸ φλοιὸ αὐτό. Αὐτὰ τὰ τεράστια ἐλικοειδῆ συνεχίζουν νὰ ἐπεκτείνονται καθὼς ὁ ἥλιακὸς ἀνεμος διαδίδεται στὸ ἔξω τμῆμα τοῦ ἥλιακοῦ συστήματος καὶ εἶναι σὲ ἀπόσταση τουλάχιστον 9.5 δισεκατομμύρια km ἀπὸ τὸν "Ηλιο, δηλ. τὴν ἀπόσταση στὴν ὃποια βρέθηκε πρόσφατα ὁ Voyager I. Τὸ πολογίστηκε ὅτι ὁ ἥλιακὸς ἀνεμος θὰ συνεχίσει νὰ ἐπεκτείνεται στὰ 15 δισεκατομμύρια km καὶ ἵσως ἀ-



Εἰκόνα 2. Τὸ μοντέλο «φούστα μπαλαρίνας» τοῦ ἥλιακοῦ διαπλανητικοῦ ρευματοφλοιοῦ. Ο "Ηλιος εῖναι στὸ κέντρο ἐνὸς ἐκτενοῦς καὶ τυλιγμένου σὰν δίσκο φλοιοῦ μέσα ἀπὸ τὸν ὅποιο ρέουν ἡλεκτρικὰ ρεύματα γύρω ἀπὸ τὸν "Ηλιο. Τὸ μέσο ἐπίπεδο τοῦ δίσκου εἶναι περίπου τὸ ἐπίπεδο τοῦ ἰσημερινοῦ τοῦ μέσου διπολικοῦ μαγνητικοῦ πεδίου τοῦ 'Ηλιου. Οἱ πλανῆτες βρίσκονται εἴτε πάνω εἴτε κάτω ἀπὸ αὐτὸν τὸ ρευματοφλοιὸ μὲ συνεχὴ ἀλλαγὴ στὴν πολικότητα τοῦ μαγνητικοῦ πεδίου. Ο ρευματοφλοιὸς ἐκτείνεται σὲ πολὺ μεγάλες ἀποστάσεις ἀπὸ τὸν "Ηλιο πέρα ἀπὸ τὴν τροχιὰ τῶν πιὸ ἔξωτεριῶν πλανητῶν.

κετά πιὸ μακριά, ἀλλὰ δὲ θὰ τὸ γνωρίζουμε αὐτὸ μέχρι τὸ διαστημόπλοιο Voyager νὰ φτάσει σ' ἐκεῖνο τὸ τμῆμα τοῦ διαστήματος στὶς ἀρχές τοῦ ἐπόμενου αἰώνα. Εἶναι τώρα γνωστὸ ὅτι ἡ ἐπίδραση τοῦ "Ηλιου δὲ θὰ πάψῃ μέχρι ὃ ἡλιακὸς ἄνεμος νὰ σταματήσει νὰ ἔξαπλώνεται ὅταν θὰ ἔρθει σὲ ἐπαφὴ μὲ τὸ τοπικὸ διαπλανητικὸ μέσο· αὐτὴ ἡ περιοχὴ τοῦ διαστήματος ποὺ κυριαρχεῖται ἀπὸ τὸν "Ηλιο καὶ τὶς ἐκπομπὲς πλάσματός του δνομάζεται «ἡλιόσφαιρα». Θὰ ἐπιστρέψουμε στὸ θέμα αὐτὸ στὸ τμῆμα μὲ τὰ συμπεράσματα τοῦ κειμένου αὐτοῦ.

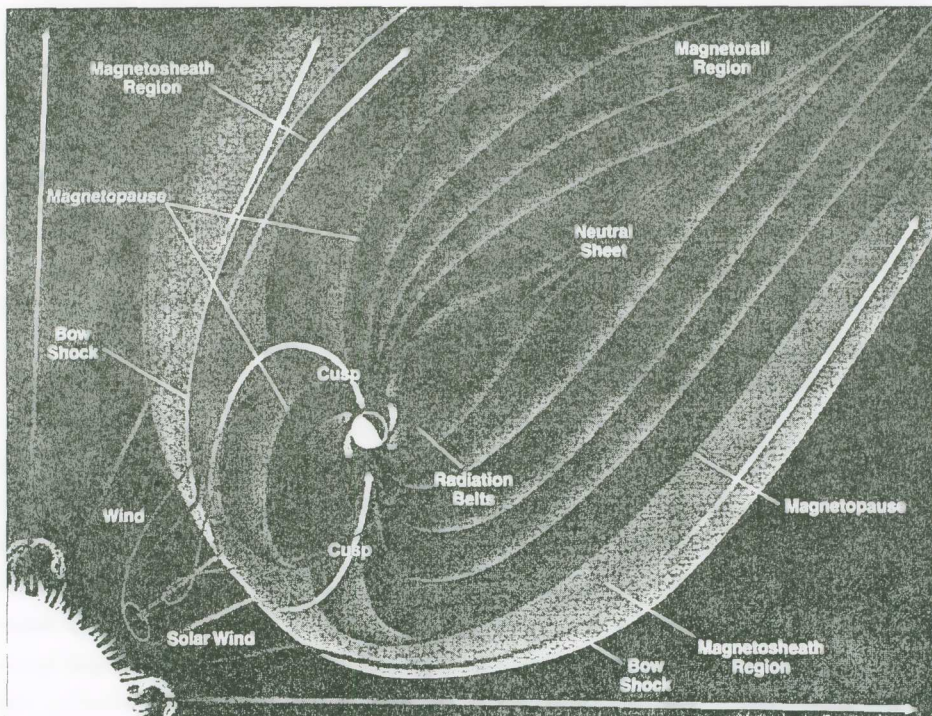
Στὴν τροχιὰ τῆς Γῆς ὁ ἡλιακὸς ἄνεμος ἔχει μιὰ πυκνότητα ἰόντων $\sim 10 \text{ cm}^{-3}$, ἡ ἐνέργειακὴ πυκνότητα εἶναι $10^{-8} \text{ dyne cm}^{-3}$ καὶ τὸ μαγνητικὸ του πεδίο εἶναι περίπου 5 nanotesla. Αὐτὲς οἱ ποσότητες ἐλαττώνονται κατὰ προσέγγιση ἀντιστρόφως ἀνάλογα τοῦ τετραγώνου τῆς ἀπόστασης ἀπὸ τὸν "Ηλιο. Τύπαρουν μεγάλες διακυμάνσεις γύρω ἀπὸ δνομαστικὲς τιμές, ὅπως αὐτές, ἀπὸ τὴ στιγμὴ ποὺ ὁ ἡλιακὴ δραστηριότητα εἶναι χρονικὴ μεταβλητὴ καὶ οἱ ἐκπομπὲς πλάσματος ὅπως οἱ στεμματικὲς ἐκτινάξεις μάζας (SEM) ποὺ ἀναφέρονται στὰ παραπόνω ἔχουν σημαντικὰ διαφορετικὲς παραμέτρους. Ο ἡλιακὸς ἄνεμος ρέει μὲ μιὰ ταχύτητα V ποὺ εἶναι συνήθως γύρω στὰ 500 km/sec. Θέτοντας ἔνα ἀντικείμενο ὅπως ἔνα πλανήτη, ἔνα κομήτη ἢ ἔναν ἀστεροειδὴ μέσα στὴ ροὴ παράγεται ἔνα κρουστικὸ κύμα ἀντίθετα στὸ φεῦμα τοῦ ἡλιακοῦ ἀνέμου, στὸ ὅποιο δὲ γίνονται συγκρούσεις. Αὐτὸ τὸ φαινόμενο εἶναι ἀνάλογο μὲ τὴ δημιουργία ἐνὸς κρουστικοῦ κύματος μπροστά ἀπὸ ἔνα ἀεροπλάνο ποὺ ταξιδεύει μὲ μιὰ ταχύτητα μεγαλύτερη ἀπὸ τὴν τοπικὴ ἀτμοσφαιρικὴ ταχύτητα τοῦ ἥχου (καὶ παράγει μιὰ ἡχητικὴ ἔκρηξη ὅταν τὸ κρουστικὸ κύμα χτυπήσει στὸ ἔδαφος).

Η ΜΑΓΝΗΤΟΣΦΑΙΡΑ ΤΗΣ ΓΗΣ

Τὸ μαγνητικὸ πεδίο τῆς Γῆς, ποὺ δημιουργεῖται ἀπὸ ἡλεκτρικὰ ρεύματα βθιάα μέσα στὸν πυρήνα της, ἀνακλᾶ τὸν ἡλιακὸ ἄνεμο μακριὰ ἀπὸ τὴ Γῆ καὶ δημιουργεῖ κοιλότητα στὸν ἡλιακὸ ἄνεμο σχηματίζοντας ἔτοι ἔνα προστατευτικὸ κουκούλι γύρω ἀπὸ τὸν πλανήτη μας. Αὐτὴ ἡ ἀλληλεπίδραση φαίνεται στὴν Εἰκόνα 3. Τὸ ἔξωτερικὸ κέλυφος αὐτοῦ τοῦ κουκούλιού δνομάζεται κρουστικὸ κύμα, στὸ ὅποιο ὁ ἡλιακὸς ἄνεμος ἀλληλεπιδρᾷ γιὰ πρώτη φορὰ μὲ τὸ μαγνητικὸ πεδίο καὶ ἐπιβραδύνεται μέσα σ' αὐτὸ τὸ σύνορο σὲ μιὰ μικρὴ ροὴ στὴ θέση τῆς μαγνητόπαυσης ὅπου ἀνακλᾶται γύρω ἀπὸ τὴ Γῆ σὲ ὑψόμετρα ~ 60 μὲ 70.000 km. "Οπως δείχνει ἡ εἰκόνα, ὁ θερμὸς ἡλιακὸς ἄνεμος συμπιέζει τὸ μαγνητικὸ πεδίο στὴν προσήλια πλευρὰ καὶ τὸ τεντώνει πρὸς τὰ ἔξω στὴν ἀφήλια πλευρὰ γιὰ νὰ σχηματίσει μιὰ ἀόρατη κομητοειδὴ οὐρὰ ποὺ ἐκτείνεται σὲ περισσότερο ἀπὸ 6 ἑκατομμύρια χιλιόμετρα πρὸς τὴν ἀφήλια πλευρὰ τῆς Γῆς.

Μπορεῖ νὰ κάνει κανεὶς ἔνα χονδρικὸ ὑπολογισμὸ τῆς θέσης ὅποιασδήποτε μαγνητόσφαιρας πλανήτη ἐξισώνοντας τὴ δυναμικὴ πίεση $C_p V^2$ τοῦ ἡλιακοῦ ἀνέμου καὶ τὸ ἀθροισμα τοῦ μαγνητικοῦ πεδίου καὶ τῶν πιέσεων πλάσματος.

$$C_p V^2 = B^2 / 8\pi + P \Rightarrow B^2 / 8\pi + P$$



Εἰκόνα 3. Ἡ Μαγνητόσφαιρα τῆς Γῆς. Ὁ ἡλιακὸς ὄνειρος τυλίγει τὴ Γῆ ρέοντας γύρω ἀπὸ τὸ γήινο μαγνητικὸ πεδίο, συμπιέζοντάς το στὴν πρὸς τὸν "Ἡλιο πλευρὰ καὶ ἐπιμηκύνοντάς το σὲ μιὰ μακριὰ οὐρὰ στὴν πλευρὰ τῆς νύκτας. Οἱ ποικίλες περιοχὲς ποὺ σχετίζονται μὲ τὴ μαγνητόσφαιρα σημειώνονται στὴν εἰκόνα. Οἱ ζῶνες ἀκτινοβολίας Van Allen κοντὰ στὸν πλανήτη ἀντιπροσωπεύουν τὴν πρώτη ἀνακάλυψη τῆς διαστημικῆς ἐποχῆς.

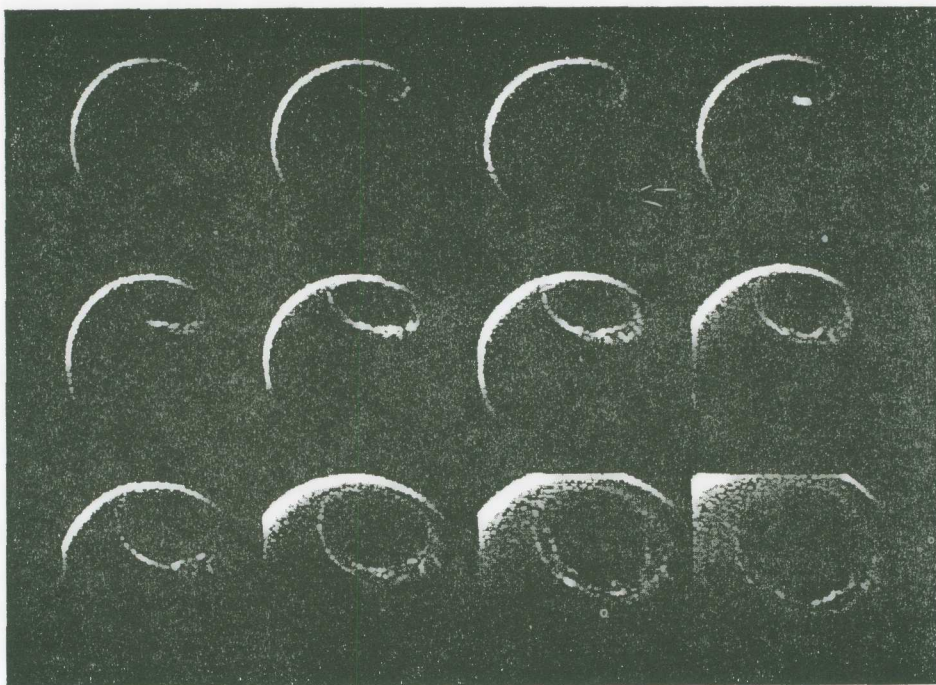
Ἐδῶ τὸ C εἶναι μιὰ σταθερά, τὸ $B^2 / 8\pi$ εἶναι ἡ πίεση λόγῳ τοῦ μαγνητικοῦ πεδίου τῆς μαγνητόσφαιρας στὴ μαγνητόπαυση, καὶ P , τὸ ὄποιο εἶναι συχνὸ ἀμελητέο, εἶναι ἡ πίεση ἀερίου μέσα στὴ μαγνητόσφαιρα. Στὴ γεωμετρίᾳ τοῦ διπολικοῦ πεδίου τὸ ἔξωτερικὸ πεδίο B ἐνὸς πλανήτη ἐλαττώνεται ἀντιστρόφως ἀνάλογα τοῦ κύβου τῆς ἀπόστασης ἀπὸ τὸ κέντρο τοῦ πλανήτη, ἔτσι ποὺ ἡ γράφη τοῦ μαγνητικοῦ πεδίου στὴν ἐπιφάνεια τοῦ

πλανήτη επιτρέπει σὲ κάποιον νὰ ύπολογίσει κατὰ προσέγγιση τὴν θέση τῆς μαγνητόπαυσης.

Γενικά οἱ περιοχὲς τῆς μαγνητόσφαιρας (Εἰκόνα 3), εἶναι δρισμένες ἀπὸ τὴν πυκνότητα, τὴν θερμοκρασία καὶ τὴ σύνθεση τοῦ ὑπάρχοντος πληθυσμοῦ πλάσματος. Ὁ ἡλιακὸς ἄνεμος, ὁ δόποῖος ἀποτελεῖται κυρίως ἀπὸ ἴόντα H^+ καὶ He^{++} , θεωρεῖται ἡ κυρίαρχη πηγὴ τοῦ πλάσματος στὴ μαγνητόσφαιρα, ἐνῶ ἡ ἰονόσφαιρα τῆς Γῆς παρέχει ἴόντα H^+ , He^+ καὶ O^+ σὲ διάφορες περιοχὲς πιὸ κοντὰ στὴ Γῆ. Τὸ πιὸ κυρίαρχο φαινόμενο τῆς γήινης μαγνητόσφαιρας εἶναι οἱ ζῶνες ἀκτινοβολίας Van Allen, ποὺ πρωτοανακαλύφθηκαν ἀπὸ τὸν ἀμερικανὸν δορυφόρο Explorer I καὶ πῆραν τὸ ὄνομά τους ἀπὸ τὸν Καθηγητὴν James A. Van Allen. Αὔτες οἱ ζῶνες ἀκτινοβολίας, ποὺ φαίνονται στὴν εἰκόνα 3, ἀποτελοῦνται ἀπὸ ὑψηλῆς ἐνέργειας πρωτόνια (μέχρι καὶ μερικὲς ἔκατοντάδες ἔκατομμύρια ἡλεκτρονιοβόλτη, MeV) γιὰ τὶς ἐσωτερικὲς ζῶνες καὶ μεγάλες ροὲς ἡλεκτρονίων ὑψηλῆς ἐνέργειας (μέχρι ἀρκετὰ MeV) γιὰ τὶς ἐξωτερικὲς ζῶνες. Συνολικὰ ἡ μαγνητόσφαιρα ἀποτελεῖται ἀπὸ μεγάλους ἀριθμοὺς ἐνέργειακῶν ἴόντων καὶ ἡλεκτρονίων, τῶν δόποίων ὁ κυρίαρχος πληθυσμὸς ἔχει ἐνέργεια τῆς τάξης μερικῶν δεκάδων χιλιάδων ἡλεκτρονιοβόλτη (keV).

Ἡ μαγνητόσφαιρα πάντως δὲν εἶναι μιὰ δυναμικῶς σταθερὴ ὄντότητα. Ὁποτε-δήποτε αὐξηθοῦν ἡ ταχύτητα ἡ ἡ πυκνότητα τοῦ ἡλιακοῦ ἄνεμου λόγω διαταραχῶν στὸν "Ἡλιο, αὐξάνεται ἡ πίεση στὸ μαγνητικὸ πεδίο τῆς Γῆς μὲ τὴν εἰσοδο τόσο χαμηλῆς ἐνέργειας πλάσματος ὅσο καὶ πολὺ ἐνέργειακῶν ἡλιακῶν σωματιδίων ποὺ τείνουν νὰ διαταράξουν τὸ σύστημα τῶν ρευμάτων καὶ τῶν ὑψηλῆς ἐνέργειας σωματιδίων μέσα στὶς ζῶνες ἀκτινοβολίας καὶ ἔχουν θεαματικὰ ἀποτελέσματα στὴν ἐνέργεια ποὺ ἐναποτίθεται πάνω ἀπὸ τὶς πολικές περιοχὲς τῆς Γῆς. Τὸ ὄνομαζόμενο Βόρειο Σέλας (Aurora Borealis) εἶναι γνωστὸ ἀπὸ τὸν καιρὸ τοῦ Ἀριστοτέλη καὶ ἔχει ἀπεικονιστεῖ πολλὲς φορὲς στὴν ἱστορία, κυρίως στὰ βόρεια πλάτη. Τώρα ἔχουμε μιὰ ἀρκετὰ λεπτομερὴ γνώση τῶν μηχανισμῶν ποὺ ὁδηγοῦν στὴ γέννηση αὐτοῦ τοῦ θεαματικοῦ φαινομένου. Οἱ διαταραχὲς στὸν ἡλιακὸ ἄνεμο παράγουν μεταβολές στὴ μαγνητοσφαιρικὴ δομή, μὲ ἀποτέλεσμα τὰ ἴόντα καὶ τὰ ἡλεκτρόνια νὰ ἐνεργοποιηθοῦν καὶ νὰ «πέσουν» στὶς πολικές περιοχὲς τῆς Γῆς, δημιουργώντας ἔτσι τόσο ὀπτικὲς ἐκπομπές, ὅσο καὶ ταλαντώσεις πλάσματος συμπεριλαμβανομένων καὶ ραδιοκυμάτων ὑψηλῆς συχνότητας. Διαστημόπλοια ἔχουν πλέον ἀποθανατίσει τὸ φαινόμενο τοῦ σέλαος ἀπὸ τὸ διάστημα καὶ φίανται νὰ εἶναι συγκεντρωμένο σὲ μιὰ περιοχὴ σχήματος ὀβάλ πάνω ἀπὸ τὸ βόρειο καὶ τὸ νότιο πολικὸ κάλυμμα τῆς Γῆς. Τὸ σέλας δὲν εἶναι σταθερὸς σχηματισμός, ἀλλὰ συνεχῶς μεταβαλλόμενος, ἵδιαιτέρως ὡς ἀπόκριση τῆς μαγνητόσφαιρας σὲ μεγάλες διαταραχὲς στὸν "Ἡλιο. Μιὰ ἀκολουθία εἰκόνων ποὺ ἀποκτήθηκε ἀπὸ τὸ δορυφόρο Dynamics Explorer φαίνεται στὴν Εἰκόνα

4. Έδω βλέπουμε άρχικά ἔνα μᾶλλον λεπτό δύβαλ, ἀλλά καθώς ὁ χρόνος προχωρᾷ (ἀπὸ ἀριστερὰ πρὸς τὰ δεξιά) άρχιζουμε νὰ βλέπουμε μιὰ αὔξηση τῆς ἐντασσῆς κοντά στὴν περιοχὴ τοῦ τοπικοῦ μεσονυκτίου (τὸ τόξο στὸ ὄποιο φωτίζει ὁ "Ηλιος εἰναι" ἡ πλευρὰ τῆς ἡμέρας) ποὺ αὐξάνεται τελικά καὶ καλύπτει ὅλοκληρο τὸ δύβαλ τοῦ σέλαος. Αὐτὴ ἡταν μιὰ μαγνητοσφαιρικὴ ὑποκαταγίδα ποὺ ἐκδηλώθηκε τὸν Ἐπρίλιο τοῦ 1982. Η ποσότητα ἐνέργειας ποὺ ἐναποτίθεται σ' αὐτὲς τὶς ἐκδηλώσεις



Εἰκόνα 4. Μαγνητοσφαιρικὴ ὑποκαταγίδα: Δώδεκα συνεχόμενες εἰκόνες τοῦ βόρειου δύβαλ τοῦ σέλαος καταγράφουν τὴν ἔναρξη καὶ ἐξέλιξη μιᾶς ὑποκαταγίδας καθὼς ὁ δορυφόρος Dynamics Explorer I προχωρεῖ πρὸς τὴν Γῆ (ἢ πρὸς τὸ περίγειο τῆς τροχιᾶς του) ἀπὸ τὸ ἀπόγειο κατὰ τὴν διάρκεια τῆς περιόδου ἀπὸ 05 : 29 μέχρι 07 : 55 UT στὶς 2 Ἐπριλίου 1982. Τὰ ἀρχικὰ φαινόμενα τῆς ὑποκαταγίδας στὸ σέλαος ἐμφανίζονται πρῶτα στὴν τέταρτη εἰκόνα ποὺ ἀρχίζει στὶς 06 : 05 UT. Ἐπειτα ἀπ' αὐτό, οἱ δομὲς στὸ σέλαος μποροῦν νὰ φανοῦν μετακινούμενες πρὸς τὰ δυτικὰ καὶ πρὸς τὴν Γῆ καθὼς δλόκληρο τὸ δύβαλ τοῦ σέλαος γίνεται ἐνεργό. Τὸ φωτιζόμενο ἀπὸ τὸν "Ηλιος ἡμισφαιριο εἰναι δρατὸ στὸ πάνω ἀριστερὰ τμῆμα τῶν εἰκόνων. Τὸ ὅργανο μέτρησης καταγράφει κυρίως ἐκπομπὲς ἀτομικοῦ δύνγονου στὰ 130.4 καὶ 135.6 nanometers. Η θέση τοῦ διαστημοπλοίου γιὰ τὴν πρώτη εἰκόνα (πάνω ἀριστερὴ γωνία) εἰναι 23° N γεωγραφικὸ πλάτος καὶ 22° μῆκος καὶ τὸ ὄψος εἰναι $3.67 R_E$. Τὸ διαστημόπλοιο εἰναι ἀκριβῶς πάνω ἀπὸ τὸ δύβαλ τοῦ σέλαος καθὼς ἡ τελευταία εἰκόνα ἐκπέμπεται ἀπὸ ὄψος $2.17 R_E$ ($1 R_E = 6378 \text{ km}$).

τοῦ σέλαος μπορεῖ νὰ ἔχει τιμὲς μέχρι καὶ 10^{11} Watts (100 δισεκατομμύρια Watts), μέρος τῆς ὁποίας ἐπίσης ἐκδηλώνεται ως ραδιοκύματα ποὺ ἐκπέμπονται σὲ μεγάλο ὕψος καὶ ποὺ μπορεῖ νὰ φτάνουν μέχρι καὶ τὸ ποσὸ τοῦ ἑνὸς δισεκατομμυρίου Watts ἐνέργειας. Γι' αὐτὸν ἡ Γῆ, ἐκτὸς ἀπὸ τὸ νὰ ἔχει διπτικὲς ἐκδηλώσεις στὴν πλευρὰ τῆς νύκτας, ἀποτελεῖ καὶ μιὰ ραδιοπηγὴ στὸ διάστημα. Αὐτὸν ἀντιπροσωπεύει μόνο μιὰ πλευρὰ τῆς ροῆς ἐνέργειας μέσα στὴ μαγνητόσφαιρα· ὑπάρχουν σημαντικὰ φαινόμενα μεταφορᾶς κατὰ τὰ ὅποια μεταφέρεται ἐνέργεια τόσο μέσα στὸ ἐσωτερικὸ τῆς μαγνητόσφαιρας μὲ ἔνα τεράστιο ρεῦμα ποὺ περιβάλλει τὴν Γῆ σὰν δακτυλίδι (τὸ λεγόμενο δακτυλιοειδὲς ρεῦμα), δόσο καὶ μὲ ροὲς πλάσματος ποὺ προέρχονται ἀπὸ τὴν πλευρὰ τῆς περιοχῆς τῆς ἡμέρας τῆς Γῆς, μέσα ἀπὸ φαινόμενα ποὺ περιλαμβάνουν τὴν ἐπανένωση τῶν γραμμῶν τοῦ μαγνητικοῦ πεδίου, ἡ δποία μετασχηματίζει τὴν ἐνέργεια τοῦ μαγνητικοῦ πεδίου σὲ μηχανικὴ ἐνέργεια ἐνεργοποιώντας τὸ πλάσμα. Μιὰ περιγραφὴ τῶν φαινομένων εἶναι πέρα ἀπὸ τοὺς σκοπούς τοῦ κειμένου αὐτοῦ.

ΠΛΑΝΗΤΙΚΕΣ ΜΑΓΝΗΤΟΣΦΑΙΡΕΣ

"Ἐχοντας περιγράψει τὰ γενικὰ μέρη τῆς μαγνητόσφαιρας τῆς Γῆς μποροῦμε τώρα νὰ προχωρήσουμε καὶ νὰ δοῦμε τὶς ἴδιότητες τῶν ἄλλων πλανητικῶν μαγνητοσφαιρῶν ποὺ ἔχουν ἔξερευνηθεῖ ἀπὸ διαστημόπλοια. Γιὰ νὰ θέσουμε μιὰ βάση ὁ Πίνακας 1 (σ. 241) δίνει τὶς γενικὲς ἴδιότητες γιὰ κάθε ἔναν ἀπὸ τοὺς πλανῆτες, συμπεριλαμβανομένης τῆς ἀπόστασης ἀπὸ τὸν "Ηλιο, τὴν ἀκτίνα, τὴν περίοδο περιστροφῆς καθὼς ἐπίσης καὶ τὴν κλίση (ἢ γωνία) τοῦ ἀξονα περιστροφῆς, τὴ μέση πυκνότητα, τὴν ἐπιφανειακὴ βαρύτητα καὶ τὴν ταχύτητα διαφυγῆς. Εἶναι προφανὲς ἀπὸ τὸν πίνακα ὅτι σὲ σχέση μὲ τὸ μέγεθος οἱ πλανῆτες Ἐρυθρῆς, Ἀφροδίτη, Γῆ καὶ Ἀρης ἀποτελοῦν μιὰ ὁμάδα στὴν κλίμακα ἀπὸ $\sim 2.000 - 6.000$ km ἀκτίνα ἐνῶ ὁ Δίας, ὁ Κρόνος, ὁ Οὐρανὸς καὶ ὁ Ποσειδώνας εἶναι σὲ διαφορετικὴ τάξη, μὲ κλίμακα ἀκτίνας ἀπὸ $\sim 71.000 - 25.000$ km. Θὰ ἀναφερθοῦμε στὶς δύο ὁμάδες χωριστὰ ἐπειδὴ ὑπάρχουν οὐσιαστικὲς διαφορὲς στὸν τρόπο ποὺ οἱ δύο αὐτές τάξεις ἀλληλεπιδροῦν μὲ τὸν ἥλιακὸ ὄντεμο.

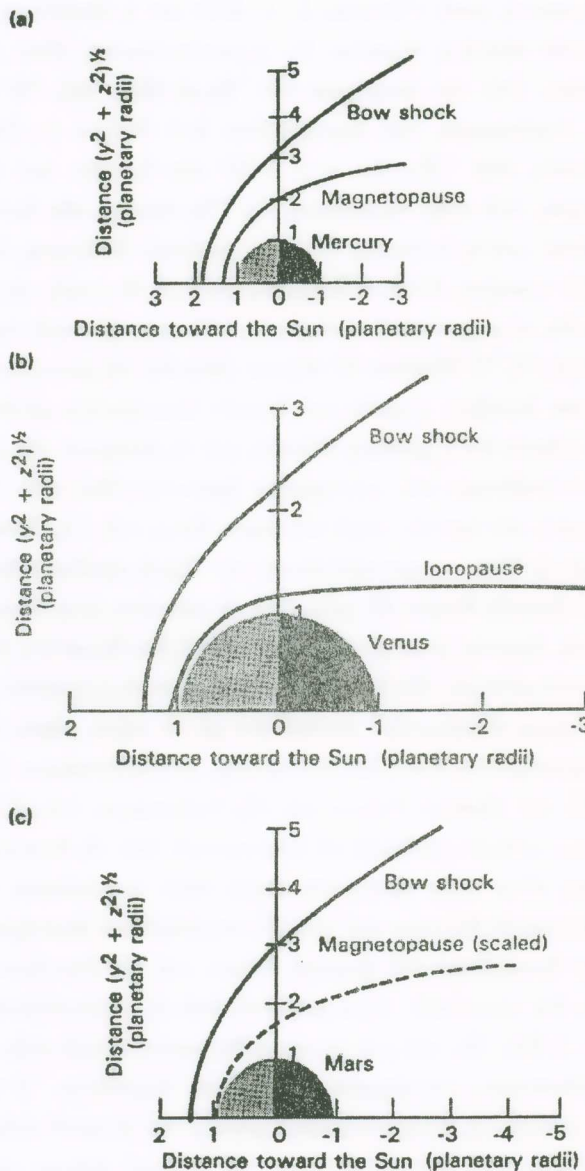
ΕΣΩΤΕΡΙΚΟΙ ΠΛΑΝΗΤΕΣ

Μιὰ βαρυσήμαντη ἔξέλιξη στὶς γνώσεις μας γιὰ τὸν πλανητικὸ μαγνητισμὸ ἦταν ἡ ἀνακάλυψη ἀπὸ τὸ διαστημόπλοιο Mariner 10 ὅτι ὁ Ἐρυθρῆς, ποὺ περιστρέφεται ἀργά (Πίνακας 1), ἐλάχιστα μεγαλύτερος ἀπὸ τὸ φεγγάρι τῆς Γῆς, ἔχει ἔνα φυσικὸ μαγνητικὸ πεδίο, τὸ δποῖο εἶναι ἡ βάση τῆς μαγνητόσφαιρας τοῦ πλανήτη [Ness, 1979]. Ἡ χαμη-

λὴ πλανητικὴ μαγνητικὴ ροπὴ (Πίνακας 2, σ. 242) καὶ ἡ ὑψηλότερη πυκνότητα τοῦ ἥλιακου ἀνέμου στὸν πλανήτη σημαίνει ὅτι ἡ μαγνητόπαυση εἶναι μόλις μιὰ πλανητικὴ ἀκτίνα πάνω ἀπὸ τὴν ἐπιφάνεια τοῦ Ἐρυθῆ (Εἰκ. 5a). Ὁ Ἐρυθῆς ἔχει ἐξαιρετικὰ λεπτὴ ἀτμόσφαιρα, ποὺ κυριαρχεῖται ἀπὸ Νάτριο ($\sim 3 \times 10^4 \text{ cm}^{-3}$) καὶ σὲ μικρότερη ἔκταση ἀπὸ Ὀξυγόνῳ $\sim (7 \times 10^3 \text{ cm}^{-3})$, κάτι ποὺ ὑποδεικνύει τὴν ἀπουσία ἰονόσφαιρας, ποὺ στὴν περίπτωση τῆς Γῆς παρέχει τὴν διεπιφάνεια μεταξὺ τῆς δόλιακα ἰονισμένης μαγνητόσφαιρας καὶ τῆς λιγότερο ἀγώγιμης ἀτμόσφαιρας καὶ τῆς ἐπιφάνειας τοῦ πλανήτη. Αὔτες οἱ διαφορές, μαζὶ μὲ τὴ μικρή μαγνητόσφαιρα τοῦ Ἐρυθῆ, δηλῶνται ὅτι οἱ μηχανισμοὶ πλάσματος στὴ μαγνητοσφαιρά του διαφέρουν ἀπὸ αὐτοὺς γύρω ἀπὸ τὴ Γῆ. Ὁ Mariner 10 πέρασε μέσα ἀπὸ τὴ μαγνητόσφαιρα τοῦ πλανήτη καὶ ἀνίχνευσε ἐκρήξεις ψυχρῶν καὶ θερμῶν ἥλεκτρονίων μὲ ἐνέργειες περίπου $< 35 \text{ keV}$. Εἶναι πιθανὸν ὅτι ἡ χρονικὴ κλίμακα γιὰ τὴ δυναμικὴ τῆς μαγνητόσφαιρας εἶναι μικρή, μὲ τὸ ἴσοδύναμο τῶν μαγνητικῶν ὑποκαταιγίδων στὸν Ἐρυθῆ νὰ ἐμφανίζεται στὴν κλίμακα τῶν λεπτῶν παρὰ τῶν δρῶν ὄπως στὴ Γῆ. "Ἐνας ἵσχυρὸς ἥλιακὸς ἀνεμος μπορεῖ νὰ θέσει τὴ μαγνητόπαυση τοῦ Ἐρυθῆ σχεδὸν στὴν ἐπιφάνεια τοῦ πλανήτη, ὅπότε ὁ ἥλιακὸς ἀνεμος θὰ μποροῦσε νὰ κτυπήσει ἀπευθείας τὴν ἐπιφάνεια.

Ἡ Ἀφροδίτη, ἔχοντας μελετηθεῖ γιὰ πάνω ἀπὸ δύο δεκαετίες ἀπὸ ἀμερικανικὰ καὶ σοβιετικὰ διαστημόπλοια, δὲν ἔχει ἀνιχνεύσιμο φυσικὸ μαγνητικὸ πεδίο (Πίνακας 2). Ὁ ἥλιακὸς ἀνεμος ἀλληλεπιδρᾶ κατευθείαν μὲ τὸ πάνω μέρος τῆς ἰονόσφαιρας τοῦ πλανήτη, σχηματίζοντας ἔνα εἶδος πλανητικῆς μαγνητόσφαιρας [Russell, 1979]. Τὸ σύνορο μεταξὺ τοῦ ἥλιακου ἀνέμου καὶ τῆς ἰονόσφαιρας δύνομάζεται ἰονόπαυση, τῆς ὅποιας τὸ ὑψός μπορεῖ χονδρικὰ νὰ ὑπολογιστεῖ ἀπὸ τὴ δυναμικὴ τῶν ἀερίων. Ἡ ἀλληλεπίδραση εἶναι στὴν πραγματικότητα πολὺ περισσότερο πολύπλοκη ἀπὸ αὐτὴ ποὺ οἱ ὑπολογισμοὶ δείχνουν καὶ πιθανὸν περιλαμβάνει συστήματα ἐπαγόμενων ρευμάτων καὶ τὴν διεπιφάνεια τοῦ ἥλιακου ἀνέμου καὶ τῶν ἐπαγόμενων μαγνητικῶν πεδίων. Ὑπάρχει ἔνα κροουστικὸ κύμα μπροστὰ ἀπὸ τὴ μαγνητόπαυση τῆς Ἀφροδίτης, ὄπως δείχνει ἡ Εἰκ. 5b, καὶ μιὰ νηματοειδῆς μαγνητοσφαιρά στὴν ἀφήλια πλευρὰ τοῦ πλανήτη σὲ ἀποστάσεις τουλάχιστον 10 ἀκτίνων Ἀφροδίτης. Ἡ γνώση ποὺ ἀποκτήθηκε ἀπὸ τὴ μελέτη τῆς ἀλληλεπιδρασης μεταξὺ τοῦ ἥλιακου ἀνέμου καὶ τῆς Ἀφροδίτης ἐφαρμόζεται στὶς ἀλληλεπιδράσεις τοῦ ἥλιακου ἀνέμου μὲ τοὺς κομῆτες, ἰδιαίτερα κατὰ τὴ διάρκεια τῶν περιηλίων περασμάτων τους, καθὼς καὶ στὶς ἀλληλεπιδράσεις τοῦ ἥλιακου ἀνέμου μὲ τοὺς δορυφόρους τοῦ Κρόνου, τὸν Τιτάνα, καὶ τοῦ Ποσειδώνα, τὸν Τρίτωνα, ποὺ καὶ οἱ δύο ἔχουν ἀτμόσφαιρα ἀλλὰ ὅχι ἀνιχνεύσιμο μαγνητικὸ πεδίο [Connerney and Ness, 1988, Krimigis, 1990].

Ἡ μαγνητόσφαιρα τοῦ "Ἀρη" δὲν ἔχει κατανοηθεῖ καλά, παρόλο ποὺ ἀμέτρητα διαστημόπλοια ἔχουν πάει στὸν πλανήτη [Gombosi, 1993]. Ὑπάρχουν τώρα φανερὲς



Εικόνα 5. Έγκαρσια τομή μαγνητοσφαιρών που δείχνει τή μορφή καὶ θέση τοῦ κρουστικοῦ μετώπου καὶ τῆς μαγνητόπαυσης. Οἱ καμπύλες ἀντιπροσωπεύουν τίς μέσες θέσεις καὶ τὰ σχήματα τοῦ κρουστικοῦ μετώπου καὶ τῆς μαγνητόπαυσης α) τοῦ Ἐρμῆ, β) τῆς Ἀφροδίτης καὶ γ) τοῦ Ἄρη. Καὶ οἱ τρεῖς πλανῆτες σχεδιάστηκαν στὴν κλίμακα ἀπόστασης γιὰ σύγκριση. Ο πίνακας 1 ὑποδεικνύει τὶς τιμὲς τῶν πλανητικῶν ἀκτίνων (Krimigis, 1981).

ἀποδείξεις ένδεις κρουστικοῦ μετώπου, ὅπως εἶναι σχεδιασμένο στὴν Εἰκ. 5c, ἀλλὰ δὲν ὑπάρχει συμφωνία στὴν ἔνταση τοῦ ὅποιου μαγνητικοῦ πεδίου. Ὅπαρχουν ἐνδείξεις πώς ὁ ἡλιακὸς ἄνεμος ἀλληλεπιδρᾷ μὲ τὴν ἰονόσφαιρα στὸ ἀνώτερο τμῆμα τῆς ἀραιῆς ἀτμόσφαιρας τοῦ "Αρη, τῆς ὅποιας ἡ πίεση στὴν ἐπιφάνεια τοῦ πλανήτη εἶναι μόνο 5 περίπου mbars. Δὲν ὑπάρχουν πληροφορίες γιὰ τὸ ἀν ἡ ἀλληλεπιδραση εἶναι κανονικὴ ἢ ἀν μπορεῖ νὰ ὑπάρχει μαγνητόπαυση κάτω ἀπὸ κάποιες συνθῆκες ἡλιακοῦ ἀνέμου. Ἡ φύση τῆς ἀλληλεπιδρασης μεταξὺ τοῦ ἡλιακοῦ ἀνέμου καὶ τῆς ἰονόσφαιρας εἶναι βασικὴ γιὰ τὴν κατανόηση τῆς ἐξέλιξης τῆς ἀτμόσφαιρας τοῦ "Αρη. "Αν ὁ "Αρης δὲν ἔχει οὐσιαστικὸ μαγνητικὸ πεδίο εἶναι πιθανὸ ὅτι ὁ ἡλιακὸς ἄνεμος ἔχει «συλήσει» ἢ «λεηλατήσει» τὰ συστατικὰ τῆς ἀτμόσφαιρας, ὁδηγώντας στὴ σημερινὴ ἀραιὴ ἀτμόσφαιρα. Στὴν πραγματικότητα μὲ ρυθμὸ ἀπωλειῶν 1 kg/s, ποὺ βρέθηκε ἀπὸ τὸ διαστημόπλοιο Phobos, τὸ περιεχόμενο ὁξυγόνου μιᾶς ἀτμόσφαιρας 7mbars θὰ ἐξέλιπε σὲ <10⁸ χρόνια [Zakharov, 1992].

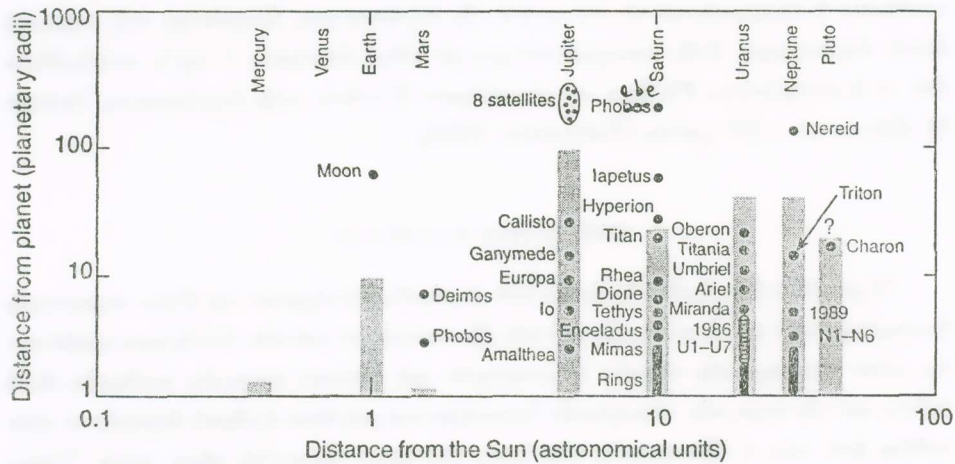
ΕΞΩΤΕΡΙΚΟΙ ΠΛΑΝΗΤΕΣ

"Εχει πλέον ἐμπεδωθεῖ ὅτι ἐκτὸς ἀπὸ τὸ μέγεθος, ὑπάρχουν καὶ ἄλλες σημαντικὲς διαφορὲς μεταξὺ τῶν ἐσωτερικῶν καὶ τῶν ἐξωτερικῶν πλανητῶν. Αὔτες περιλαμβάνουν ὅχι μόνο τὴν παρουσία πυκνῶν ἀτμοσφαιρῶν καὶ ἐντόνων καιρικῶν συνθηκῶν ἀλλὰ ἐπίσης καὶ τὴν παρουσία πλανητικῶν δακτυλίων καὶ μεγάλου ἀριθμοῦ δορυφόρων στὸν καθένα ἀπὸ τοὺς 4 ἐξωτερικοὺς πλανῆτες, ποὺ ἔχουν ἐρευνηθεῖ μέχρι τώρα. "Οπως δείχνει ἡ Εἰκ. 6, στερεὰ ὄλικὰ στὴ μορφὴ δακτυλίων καὶ φεγγαρίῶν βρίσκονται βυθισμένα βαθιὰ μέσα στὶς μαγνητόσφαιρες τοῦ Δία, τοῦ Κρόνου, τοῦ Οὐρανοῦ καὶ τοῦ Ποσειδώνα. Φυσικὰ τὸ φεγγάρι τῆς Γῆς βρίσκεται μέσα στὴ μαγνητοουρὰ γιὰ λίγες μέρες κάθε 28 μέρες. Πάντως δὲν ἔχουμε μέχρι τώρα διακρίνει σημαντικὴ σεληνιακὴ ἐπίδραση στὴ γεωμαγνητικὴ δραστηριότητα (ἢ τὸ ἀντίστροφο). Στὴ μικρὴ μαγνητόσφαιρα τοῦ "Αρη, τὰ δύο φεγγάρια του, ὁ Φόβος καὶ ὁ Δεῖμος, περιστασιακὰ βρίσκονται μέσα στὴ μαγνητοουρὰ του, ἀλλὰ αὐτὰ τὰ μικρὰ βραχώδη σώματα δὲ θὰ ἔχουν σημαντικὴ ἐπιρροὴ στὴ δυναμικὴ τοῦ πλάσματος.

"Αντιθέτως, οἱ Γαλιλαῖκοι δορυφόροι παίζουν σημαντικὸ ρόλο στὴν τοπικὴ διαμόρφωση τῶν ροῶν σωματιδίων γύρω ἀπὸ τὸ Δία καὶ συνεισφέρουν στὸν πληθυσμὸ ἴοντων στὴ μαγνητόσφαιρα αὐτοῦ τοῦ πλανήτη. Τὰ φεγγάρια καὶ οἱ δακτύλιοι τοῦ Κρόνου βοηθοῦν στὴν ἐκκένωση τῶν πληθυσμῶν τῶν ἐνεργειακῶν σωματιδίων στὴ μαγνητόσφαιρα τοῦ καθενὸς καὶ ἐπίσης εἶναι πηγὲς χαμηλῆς ἐνέργειας ἴοντων, ὅπως ὁξυγόνου καὶ πιθανὸν νεροῦ. "Ο Τιτάνας μπορεῖ νὰ εἶναι μιὰ σημαντικὴ πηγὴ πλάσματος γιὰ τὴν ἐξωτερικὴ μαγνητόσφαιρα τοῦ Κρόνου. Παρόμοια φαινόμενα βρί-

ποιονται, σὲ σχέση μὲ τοὺς δορυφόρους καὶ τοὺς δακτυλίους, καὶ στὴ μαγνητόσφαιρα τοῦ Οὐρανοῦ. Ἐπιπλέον, στὴν περίπτωση τοῦ Ποσειδώνα, ὅχι μόνο οἱ δακτύλιοι παίζουν σημαντικὸ ρόλο στὸν περιορισμὸ τῶν μαγνητοσφαιρικῶν σωματιδιακῶν πληθυσμῶν κοντὰ στὸν πλανήτη ἀλλὰ ἐπίσης τὸ φεγγάρι Τρίτων χρησιμεύει ὡς πηγὴ πλάσματος ὡς πρὸς τὸ ἔξωτερικὸ τμῆμα τῆς μαγνητόσφαιρας τοῦ Ποσειδώνα [Mauk et al., 1995].

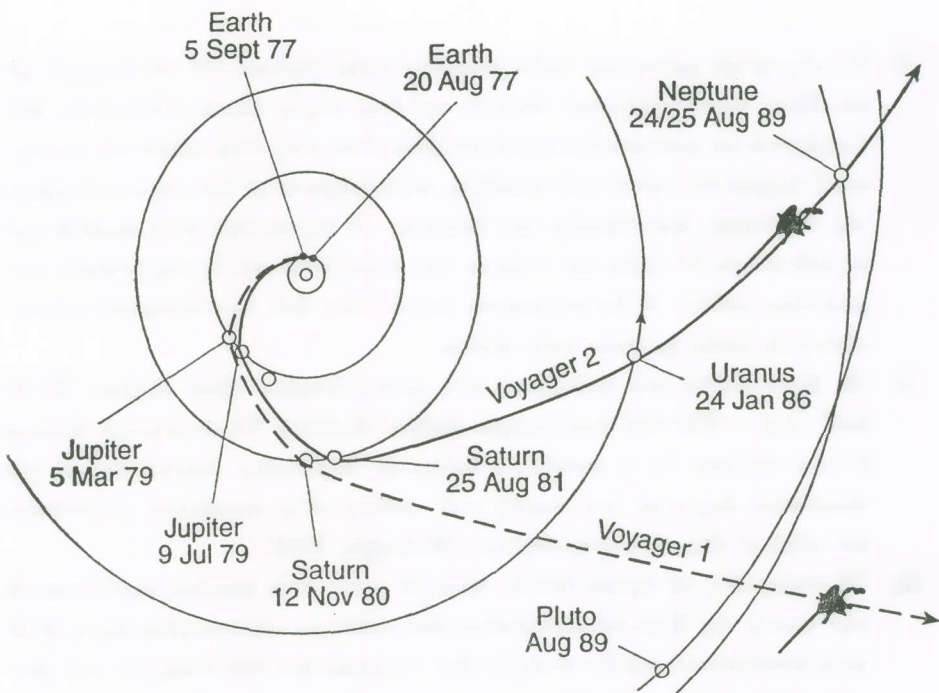
‘Η ἀρχικὴ ἔξερεύνηση τοῦ Δία ἔγινε ἀπὸ τὰ διαστημόπλοια Pioneer 10 καὶ 11 στὶς ἀρχές τῆς δεκαετίας τοῦ ’70, ἐνῷ ἡ πρώτη ἔξερεύνηση τῆς μαγνητόσφαιρας τοῦ



Εἰκόνα 6. Μεγέθη μαγνητοσφαιρῶν, θέσεις δορυφόρων καὶ πλανητικὲς τροχιακὲς ἀκτίνες. Ἡ κάθετη στήλη ἀντιπροσωπεύει τὴν ἀπόσταση ἀπὸ τὸ κέντρο ἐνὸς πλανήτη μέχρι τὸ πρὸς τὸν Ἡλιοσύνορο τῆς μαγνητόσφαιράς του, σὲ μονάδες τῆς πλανητικῆς του ἀκτίνας. Τὸ μέγεθος τῆς μαγνητόσφαιρας γιὰ τὸν Ποσειδώνα εἶναι κατὰ προσέγγιση (ὅπως τροποποιήθηκε ἀπὸ τοὺς Lanzerotti καὶ Krimigis, 1985).

Κρόνου ἔγινε ἀπὸ τὸν Pioneer 11 τὸ 1979. Ἡ ὀλοκληρωμένη ἔξερεύνηση τοῦ ἔξωτερικοῦ πλανητικοῦ συστήματος σὲ ὅλο του τὸ μέγεθος, συμπεριλαμβάνοντας τὴν μαγνητόσφαιρα, ἔγινε ἀπὸ τὰ διαστημόπλοια Voyager 1 καὶ 2 μεταξὺ τοῦ 1979 καὶ τοῦ 1989. Οἱ τροχιὲς τῶν δύο Voyager φαίνονται στὴν Εἰκ. 7. Καὶ οἱ δύο ἐκτοξεύτηκαν τὸ 1977, συνάντησαν τὸ Δία τὸ 1979 καὶ τὸν Κρόνο τὸ 1980 καὶ τὸ 1981 ἀντίστοιχα γιὰ τὸν Voyager 1 καὶ τὸν 2. Οἱ κοντινὲς διελεύσεις τοῦ Voyager 1 ἀπὸ τὸν Κρόνο καὶ τὸν Τιτάνα τὸ 1980 ὀδήγησαν σὲ μιὰ τροχιὰ διαφυγῆς ἀπὸ τὸ ἥλιακὸ σύστημα σὲ σχετικὰ ὑψηλὰ πλάτη πάνω ἀπὸ τὴν ἐκλειπτικὴ μὲ τὸν Voyager 1 σὲ μιὰ ἀπόσταση ἐπὶ τοῦ παρόντος περίπου 64 AU, (1 AU = 150 ἑκατομμύρια χιλιόμετρα,

ή άπόσταση μεταξύ τής Γῆς και του "Ηλιου"), και 35° βόρειο έκλειπτικό πλάτος. Ο Voyager 2 συνέχισε πέρα άπο τὸν Κρόνο σὲ συναντήσεις μὲ τὸν Οὐρανὸν τὸ 1986 και τὸν Ποσειδώνα τὸ 1989. Η παροῦσα θέση του εἶναι ~ 50 AU και 15° νότιο έκλειπτικό πλάτος.



Εἰκόνα 7. Εἰκόνα τῶν τροχιῶν τῶν δύο διαστημοπλοίων Voyager που ἐκτοξεύθηκαν τὸ καλοκαίρι τοῦ 1977, που δείχνει τὶς συναντήσεις τους μὲ τὸ Δία και τὸν Κρόνο τὸ 1979, 1980 και 1981 και τὶς ἀκόλουθες συναντήσεις μὲ τὸν Οὐρανὸν και τὸν Ποσειδώνα. Ο Voyager 1 εἶναι τώρα σὲ μιὰ άπόσταση ~ 9.8 δισεκατομμυρίων km και ὁδεύει πρὸς τὴν νότια περιοχὴ τῆς έκλειπτικῆς.

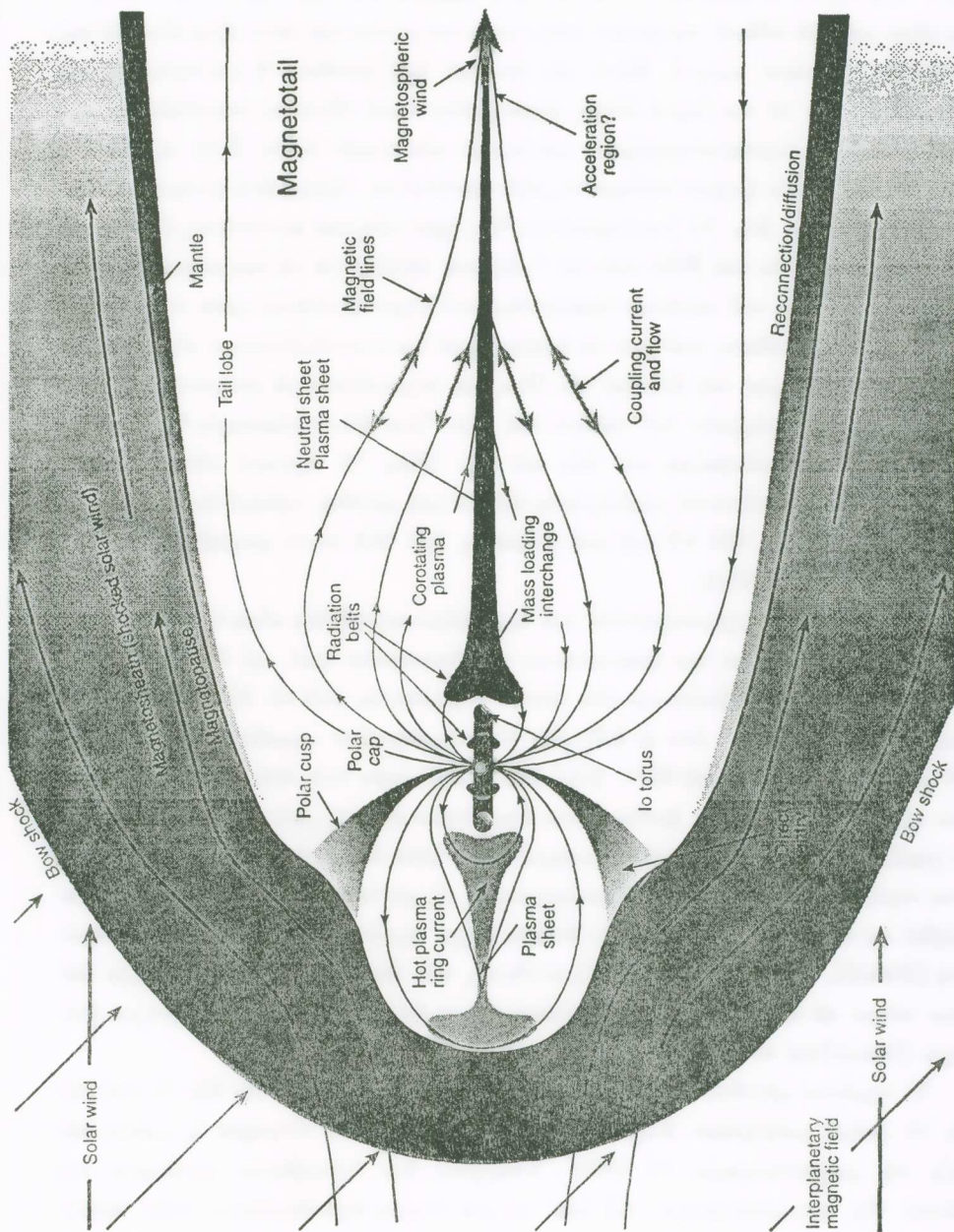
Δ Ι Α Σ

Ο Δίας εἶναι ὁ μεγαλύτερος πλανήτης τοῦ ήλιακοῦ συστήματος και ἔχει ἐπίσης τὴν μεγαλύτερη μαγνητόσφαιρα, που ἔχει ἀνακαλυφθεῖ μέχρι τώρα. Εκτείνεται σὲ περίπου 50-100 ἀκτίνες Δία (R_J) στὴν πρὸς τὸν "Ηλιο διεύθυνση, δπως δείχνει ἡ Εἰκ. 8, και σὲ τουλάχιστον 6 AU στὴν ἀντίθετη πρὸς τὸν "Ηλιο κατεύθυνση (ἢ πρὸς τὴν μαγνητοουρά) [Krimigis, 1981]. "Αν ἡ μαγνητόσφαιρα τοῦ Δία ἦταν ὁρατὴ ἀπὸ τὴν Γῆ θὰ ἔδινε μεγαλύτερη εἰκόνα στὸν οὐρανὸν ἀπ' ὅ,τι ὁ "Ηλιος, ἀκόμη και ἀν εἶνα

4 φορές μακρύτερα άπό τη Γῆ. Τὰ σχετικά μεγέθη του "Ηλιου καὶ τῆς μαγνητόσφαιρας τοῦ Δία φαίνονται στὴν Εἰκόνα. Ὁ Voyager χρειάστηκε, ταξιδεύοντας μὲ 35.000 km/h περίπου μέση ταχύτητα, πάνω άπὸ 32 ἡμέρες γιὰ νὰ διασχίσει ἔνα τμῆμα τῆς μαγνητόσφαιρας. Ὅπάρχουν ἀρκετὰ φαινόμενα ποὺ ἐπισημαίνονται στὴν Εἰκ. 8, ποὺ ἀξίζουν ἀναφορᾶς.

- i) Τὸ πλανητικὸ μαγνητικὸ πεδίο πάλλεται κατὰ περίπου 10^6 σὲ ἀναφορὰ μὲ τὸν ἀξονα περιστροφῆς τοῦ πλανήτη καὶ ἔνας παχὺς φλοιὸς πλάσματος, ποὺ ἀναφέρεται ὡς μαγνητοδίσκος καὶ συνήθως εἶναι στὴν ἔδια εὐθείᾳ τοῦ μαγνητικοῦ ἴσημερινοῦ κοντὰ στὸν πλανήτη, περιστρέφεται μὲ ἔνα σημαντικὸ μέρος τῆς ταχύτητας περιστροφῆς τοῦ πλανήτη. Ἡ περιστροφὴ αὐτὴ παράγει μιὰ περιοδικότητα 10 ὥρῶν στὸ πλάσμα καὶ στοὺς πληθυσμοὺς ἐνεργειακῶν σωματιδίων, καθὼς τὸ διαστημόπλοιο περνᾷ μέσα ἀπὸ τὴν πλανητικὴ μαγνητόσφαιρα, ὅπως φαίνεται στὴν εἰκόνα.
- ii) Ἡ θερμοκρασία τοῦ πλάσματος στὴ μαγνητόσφαιρα εἶναι περίπου 20-40 keV (π.χ. ~200-450 ἑκατομμύρια βαθμοὶ Kelvin). Τὸ ἀντίστοιχο πλάσμα β (ποὺ ὁρίζεται ὡς ἡ πυκνότητα ἐνέργειας σωματιδίου διαιρούμενη μὲ τὴν πυκνότητα ἐνέργειας τοῦ μαγνητικοῦ πεδίου) εἶναι σημαντικὸ μεγαλύτερο ἀπ’ αὐτὸ σ’ ὅλη τὴ μαγνητόσφαιρα [Krimigis, 1981].
- iii) Ἡ στρογγυλή, σὲ σχῆμα donut, περιοχὴ κοντὰ στὸν πλανήτη σχετίζεται μὲ τὴν τροχὶα τῆς Ἡώς καὶ ἀποτελεῖται ἀπὸ οὐδέτερα καὶ ἰονισμένα ἀέρια τὰ ὅποια ἐκπέμπονται σχεδὸν συνεχῶς ἀπὸ τὰ ἡφαίστεια ποὺ ὑπάρχουν στὸ φεγγάρι αὐτὸ τοῦ Δία. Τὸ ἀέριο αὐτὸ ἀποτελεῖται κυρίως ἀπὸ δξυγόνο, θεῖο καὶ οὐδέτερα ἵσταντα νατρίου καὶ πυριτίου καὶ ἀποτελεῖ τὴν πὸ σημαντικὴ πηγὴ πληθυσμοῦ πλάσματος γιὰ ὄλοκληρη τὴ μαγνητόσφαιρα.
- iv) Τὸ σύνορο τῆς μαγνητόπαυσης στὸν Δία δὲν ἐμφανίζεται νὰ εἶναι τόσο ὁμαλὸ ὅπως αὐτὸ τῆς Γῆς καὶ ὑπάρχουν ἐνδείξεις ὅτι μερικὲς φορὲς μεγάλες ποσότητες μαγνητοσφαιρικοῦ πλάσματος διαφεύγουν στὴν περιοχὴ μπροστὰ ἀπὸ τὸν πλανήτη [Zwickl et al., 1981]. Στὴν πραγματικότητα ἡ πλανητικὴ μαγνητόπαυση ποικίλλει σὲ ἀπόσταση ἀπὸ 60-100 R_J (Πίνακας 2) ὡς ἀποτέλεσμα τῆς δυναμικῆς ἴσορροπίας μεταξὺ τῆς πίεσης ποὺ ἐφαρμόζεται ἀπὸ τὸν ἥλιακὸ ἄνεμο καὶ αὐτὴ τοῦ θερμοῦ πλάσματος ποὺ περιορίζεται μέσα στὴ μαγνητόσφαιρα τοῦ πλανήτη.

Μέσα ἀπὸ τὴν ἀκατάπαυστη ἡφαιστειογένειά της ἡ Ἡώ τροφοδοτεῖ ἀέρια μὲ ρυθμὸ περίπου ἔνα τόνο ἀνὰ δευτερόλεπτο. Αὐτὰ τὰ ἀέρια —κυρίως διοξείδιο τοῦ πυ-

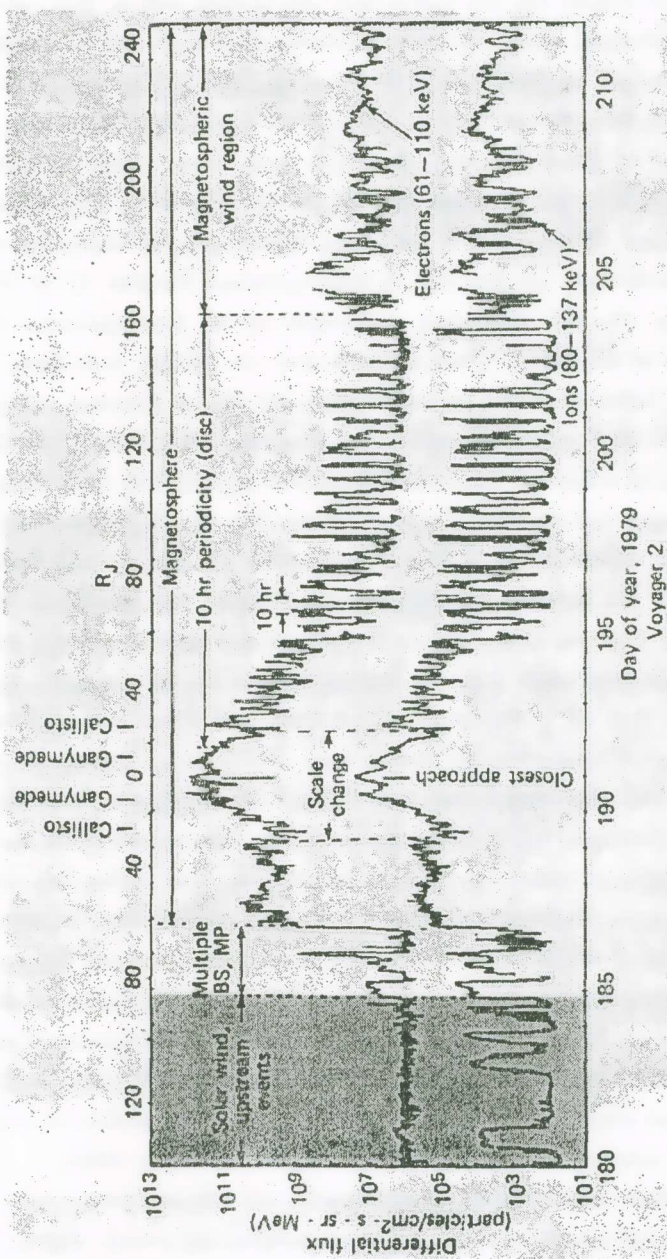


Εικόνα 8. Σχηματική παράσταση τής μαγνητόσφαιρας του Δία (NAS/NRC, 1994). Το διαστημόπλοιο Voyager είστηκε στη μαγνητόσφαιρα στην πρώτη μεταλλεύματος περιοχή και βρήκε ότι σφράτες πρωταρχικές. Το δυτικό τμήμα της μαγνητόσφαιρας έκρεεν θηρευτικές διπλανές περιοχές. Οι λεπτομέρειες του 1992. Οι διαστημόπλοιοι Ulysses το Φεβρουάριο του 1992. Οι κεντρικές μεταλλεύματα στην περιοχή της μαγνητόσφαιρας του Δία (NAS/NRC, 1994).

ριτίου—, μποροῦν νὰ εἰσέλθουν στὴ μαγνητόσφαιρα ἀπευθείας στὴν ἐπιφάνεια ἢ, ὥπως εἶναι καὶ πιὸ πιθανό, παγώνουν πάνω στὴν ἐπιφάνεια καὶ μετὰ ἔξαχνίζονται καὶ στέλνονται ἀπότομα μακριά. Μετὰ τὸν ιονισμὸν ἀπὸ φωτόνια ἢ μαγνητοσφαιρικὰ σωματίδια, αὐτὰ τὰ νέα βαριὰ ίόντα, κυρίως νάτριο καὶ ὁξυγόνο, παγιδεύονται μαγνητικὰ ἀπὸ τὸ συμπεριστρεφόμενο μαγνητικὸν πλανητικὸν πεδίο. Στὴν τροχιὰ τῆς 'Ηῶς ἔνα ἐλικοειδὲς ψυχροῦ πλάσματος, ποὺ ἀποτελεῖται κυρίως ἀπὸ νάτριο καὶ ὁξυγόνο, περικλείει τὸ Δία. Τὸ διαστημόπλοιο Voyager μέτρησε πυκνότητες ίόντων στὸ ἐλικοειδὲς ὑψηλὲς διάστασης καὶ 2000 ἀνὰ cm⁻³, ἀρκετὰ ὑψηλὲς γιὰ νὰ ἐπηρεάσουν τὴ διάδοση ραδιοκυμάτων καὶ κυμάτων πλάσματος, ποὺ δημιουργοῦνται μέσα στὴν τροχιὰ τῆς 'Ηῶς. Ἐπιπρόσθετα, φαίνεται νὰ ὑπάρχει ἐκεῖ ἔνα κλειστὸ ἀγώγιμο κύκλωμα μεταξὺ τῆς 'Ιονόσφαιρας τοῦ Δία καὶ τὴν 'Ηῶ, ποὺ περιορίζεται σὲ ρεύματα ποὺ ρέουν κατὰ μῆκος τῶν γραμμῶν τοῦ πεδίου τοῦ Δία. "Ἐνα τέτοιο κύκλωμα θὰ συμπληρωνόταν ἀπὸ τὶς ιονόσφαιρες τοῦ Δία καὶ τῆς 'Ηῶς. Ἡ σχετικὴ κίνηση μεταξὺ τῆς 'Ηῶς καὶ τοῦ ὑπόλοιπου κυκλώματος ἐπάγει μιὰ μεγάλη καθαρὰ ἡλεκτρομαγνητικὴ δύναμη περίπου 600 kV, μὲ ροὴ ρεύματος 2-3 MA ὥπως μετρήθηκε ἀπὸ τὸν Voyager 1 [Ness, 1979].

"Ἐνα θαυμαστὸ χαρακτηριστικὸ τοῦ περιβάλλοντος τοῦ Δία εἶναι ὁ μεγάλος ἀριθμὸς ἐνέργειακῶν ίόντων καὶ ἡλεκτρονίων, ποὺ βρίσκονται ἐκεῖ καὶ διαφεύγουν ἀπὸ τὴ μαγνητόσφαιρα. Οἱ ἐνέργειες τῶν ίόντων κυμαίνονται ἀπὸ τὰ 30 keV μέχρι καὶ πάνω ἀπὸ τὰ 100 MeV, ἐνῶ οἱ ἐνέργειες τῶν ἡλεκτρονίων κυμαίνονται ἀπὸ τὰ 1 keV μέχρι πάνω ἀπὸ τὰ 40 MeV. Αὐτὸ ποὺ πιστεύονταν πρὶν ἀπὸ τὸ 1974 ἦταν ὅτι εἶναι ἡλεκτρόνια κοσμικῶν ἀκτίνων ποὺ διαφεύγουν ἀπὸ τὴ μαγνητόσφαιρα τοῦ Δία καὶ γεμίζουν διάστημα [Pyle and Simpson, 1977]. Ἐνέργειακὰ ίόντα περίπου >30 keV ἐπίσης διαφεύγουν ἀπὸ τὴ μαγνητόσφαιρα καὶ ἔχουν παρατηρηθεῖ ὡς διακριτές αὐξήσεις στὴν ἔνταση μέχρι περίπου τὰ 0.7 AU ἀπὸ τὸν πλανήτη [Zwickl, 1981]. Μετρήσεις τῆς σύνθεσης τῶν ίόντων στὴ μαγνητόσφαιρα δείχνουν νάτριο σὲ πολὺ μεγαλύτερη περιεκτικότητα ἀπ' ὅτι στὸ ἡλιακὸ σύστημα ὄλοκληρο [Hamilton et al. 1981].

Τὸ τεράστιο μέγεθος τῆς μαγνητόσφαιρας τοῦ Δία φαίνεται στὴν Εἰκ. 9, ποὺ δείχνει τὸ ρυθμὸ μετρήσεων ἀνιχνευτῶν στὸ διαστημόπλοιο Voyager 2, καθὼς διεσχιζεῖ τὴ μαγνητόσφαιρα τὸ 1979. 'Υπάρχουν δύο ἀσυνήθιστα φαινόμενα στὸ πλάσμα τῆς μαγνητόσφαιρας τοῦ Δία: α) μιὰ 10ωρη περιοδικότητα στὴν πυκνότητα πλάσματος, ποὺ σχετίζεται μὲ τὴν περιστροφὴ τοῦ πλανήτη αὐτοῦ, φάνηκε πολὺ καθαρὰ κατὰ τὴ διάρκεια τῆς πρὸς τὰ ἔξω τροχιᾶς τοῦ Voyager, β) πολλαπλές συναντήσεις πλανητικοῦ κρουστικοῦ μετώπου καὶ μαγνητόπαυσης τόσο μέσα ὥστε καὶ ἔξω ἀπὸ τὸ σύνορο ὑποδηλώνουν μεγάλη μεταβλητότητα στὴν ισορροπία πιέσεως



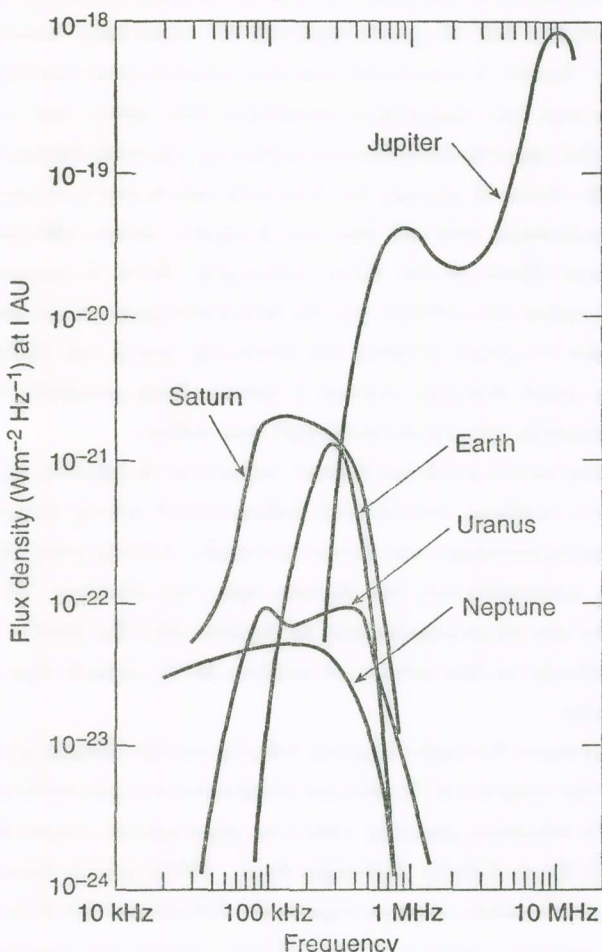
Εικόνα 9. Η μορφή του ρυθμού μετρήσεων πάνω από αυτές που μετρήθηκαν κατά τη συμπεριφορά του Voyager 2 με το Δία. Οι σημειώσεις BS και MP δείχνουν τη συμβολή του διαστηματολόγου μετατόπισης από την ανατολική πλευρά του πλανήτη κατά τη μακρινότερη διάστολη. Ο Voyager 2 πέρασε πάνω από 30 μέρες μέσα στην μακρινότερη περιοχή του Δία (Krimigis et al., 1981).

μεταξύ του ήλιαικού άνέμου καὶ του πλανητικού μαγνητικού πεδίου. Μιὰ λεπτομερής συζήτηση του μηχανισμού αὐτῆς τῆς περιοδικότητας είναι πέρα ἀπὸ τὸ σκοπὸν αὐτοῦ του ἀρθροῦ καὶ μπορεῖ νὰ βρεθεῖ στὸν Hillet et al. [1983]. "Ενα προφίλ ἐντάσεως παρόμοιο μὲ ἐκεῖνο τῶν ίόντων ὑπάρχει καὶ γιὰ τὰ ἡλεκτρόνια [Krimigis, 1981]. 'Η σχετιζόμενη μὲ τὰ ἡλεκτρόνια περιοδικότητα συνεχίζεται καθὼς τὰ ἡλεκτρόνια διαφέρουν στὸ διαπλανητικὸ μέσο καὶ πλησιάζουν τὴν τροχιὰ τῆς Γῆς, ὅπως εἰπώθηκε νωρίτερα. Εἶναι ἀξιόλογο ὅτι ἡ φάση τῆς περιοδικότητας παρέμεινε σταθερὴ ἀπὸ τὴν πρώτη συνάντηση του Δία ἀπὸ τὸ διαστημόπλοιο Pioneer 10 τὸ 1973 καὶ συνεχίστηκε μέχρι τὴν πιὸ πρόσφατη συνάντηση μὲ τὸ διαστημόπλοιο Ulysses τὸ 1992 [Simpson et al., 1992]. "Οπως φαίνεται ἀπὸ τὸν ἀριθμό, οἱ ἐντάσεις συνεχίζουν νὰ αὐξάνουν βαθιὰ μέσα στὴ μαγνητόσφαιρα του Δία μὲ ἐνέργειες ποὺ φτάνουν μέχρι πάνω ἀπὸ 10 MeV γιὰ τὰ ἡλεκτρόνια καὶ πάνω ἀπὸ τὰ 100 MeV γιὰ τὰ ίόντα.

Αὐτὰ τὰ ὑψηλῆς ἐνέργειας ἡλεκτρόνια παράγουν μερικὲς ἀπὸ τὶς ἔντονες ραδιο-εκπομπὲς σύγχροτρον του πλανήτη, ὅπως φαίνονται ἀπὸ τὴ Γῆ. Χάρτες τῶν ραδιο-εκπομπῶν ἀπὸ τὸ τηλεσκόπιο μεγάλης διάταξης στὸ N. Μεξικὸ μᾶς ἐπιτρέπουν νὰ παρατηρήσουμε τὶς δομικὲς καὶ προσωρινὲς ἀλλαγὲς στὸ ἐσωτερικὸ τῆς μαγνητόσφαιρας του Δία γιὰ ἀποστάσεις ~3 ἀκτίνων Δία ἀπὸ τὸ κέντρο του πλανήτη. Τὰ ραδιοφάσματα στὴν Εἰκ. 10 περιλαμβάνουν τὶς ἀκτινοβολίες του Δία. Αὐτὲς ἔκτεινονται ἀπὸ τὶς χαμηλότερες συχνότητες, ποὺ ἔχουν σχέση μὲ τὸ φεγγάρι. 'Ηδη καὶ πιθανότερα είναι τὸ ἀποτέλεσμα τῆς ἔντονης ἡλεκτρομαγνητικῆς σύζευξης μεταξύ του δορυφόρου, του ἐλικοειδοῦς του πλάσματος καὶ τῆς πάνω ιονόσφαιρας ἢ ἀτμόσφαιρας του Δία, καὶ μέχρι τὰ λίγα δέκατα τῶν MHz, ποὺ ἔχουν σχέση μὲ τὶς ἀκτινοβολίες του σύγχροτρον ἀπὸ ὑψηλῆς ἐνέργειας ἡλεκτρόνια στὴν ἐσωτερικὴ μαγνητόσφαιρα. Παρατηροῦμε ὅτι ἡ ἀκτινοβολία του Δία είναι σημαντικὰ πιὸ ἔντονη ἀπὸ ὅ,τι ἔκεινη του Ποσειδώνα, τῆς Γῆς, του Οὐρανοῦ καὶ του Κρόνου [Gurnett et al., 1995]. 'Αρκετοὶ μηχανισμοὶ ἔχουν προταθεῖ γιὰ νὰ ἔξηγήσουν τὰ ἐπιταχυνόμενα ἡλεκτρόνια καὶ ίόντα στὴ μαγνητόσφαιρα του Δία. Οἱ μηχανισμοὶ περιλαμβάνουν ἀδιαβατικὲς ἢ σχεδὸν ἀδιαβατικὲς διαδικασίες, οἱ ὁποῖες μποροῦν, διαμέσου ἐπαναλαμβανόμενων κύκλων, νὰ αὐξήσουν τὴν ἐνέργεια ἐνὸς σωματιδίου σὲ ἔκεινη ποὺ παρατηρεῖται στὴ μαγνητόσφαιρα του Δία [Goertz 1978, Cheng 1980].

Εἶναι ἐνδιαφέρον νὰ ἔκτιμηθεῖ ἡ συνολικὴ μάζα καὶ ίσορροπία ἐνέργειας στὸ γύρω ἀπὸ τὸ Δία περιβόλλον μαγνητοσφαιρικὸ σύστημα [Krimigis et al., 1981]. 'Η 'Ηδη παράγει κατ' ἔκτιμηση 2×10^{28} ίόντα/sec, ποὺ ἀντιπροσωπεύει μία εἰσροὴ ἐνέργειας 2×10^{19} ergs/sec. 'Η εἰσροὴ ἀπὸ τὸ οὐδέτερο νέφος στὴν τροχιὰ τῆς 'Ηδης είναι περίπου ὅμοια. 'Η ἄνω ἀτμόσφαιρα του Δία συμβάλλει ὅπως είναι ὑπολογισμένο, 10^{28} ίόντα ὑδρογόνου ἀνὰ sec μὲ μιὰ ἐνέργεια 3×10^{21} ergs/sec ποὺ προέρχεται ἀπὸ τὴν

περιφορά του Δία. Τέλος, ο ήλιακός άνεμος συνεισφέρει 10^{28} ίόντα ύδρογόνου/sec και έσως 3×10^{20} ergs/sec. Παρατηρήσεις ένεργειακῶν σωματιδίων ύποδηλώνουν ότι η άπωλεια πλάσματος διαμέσου τῆς νυχτερινῆς πλευρᾶς του μαγνητοσφαιρικοῦ άνεμου εἶναι κατά προσέγγιση 2×10^{27} ίόντα/sec και 2×10^{20} ergs/sec. Ιόντα πού κατακρημνίζονται γιανά σχηματίσουν τὸ Σέλας, ἀποθηκεύουν περίπου 2×10^{21} ergs/sec. Τὸ μέγεθος αὐτῶν τῶν ἀριθμῶν ύποδηλώνει ότι μόνον ή περιστροφὴ τοῦ Δία μπορεῖ νὰ ὁδηγήσει αὐτὴ τὴ γιγαντιαίᾳ μαγνητόσφαιρᾳ. Ἐτσι η μαγνητόσφαιρα



Εἰκόνα 10. Σύγκριση τοῦ φάσματος ραδιοεκπομπῆς τῆς ἀκτινοβολίας πού φτάνει ἀπὸ τὴ Γῆ, τὸ Δία, τὸν Κρόνο, τὸν Οὐρανὸν καὶ τὸν Ποσειδώνα, προσαρμοσμένη σὲ μιὰ σταθερὴ ἀπόσταση ἀπὸ τὸν πλανήτη (τροποποιημένο ἀπὸ τὸν Gurnett, 1995).

τοῦ Δία, ή όποια δύνηται εσωθεν ἀπὸ τὴν περιστροφὴ τοῦ κεντρικοῦ σώματος καὶ τῆς όποιας τὸ πλάσμα ποὺ προέρχεται ἀπὸ ἐσωτερικές πηγές, θεωρεῖται σήμερα ὡς τὸ καλύτερο καὶ μόνιο ἀνάλογο τῶν φυσικῶν διεργασιῶν ποὺ ἵσως δροῦν σὲ ἀστροφυσικὰ σώματα ὅπως οἱ παλλόμενες ραδιοπηγὲς (pulsars).

ΚΡΟΝΟΣ

Εἶχε θεωρηθεῖ ὅτι ὁ Κρόνος, ὁ όποιος εἶναι σὲ διπλάσια ἀπόσταση ἀπὸ τὸν "Ηλιο ἀπ' ὅτι ὁ Δίας καὶ εἶναι παρόμοιου μεγέθους καὶ ρυθμοῦ περιστροφῆς (Πίνακας 1) θὰ μοιράζονται πολλὰ ἀπὸ τὰ χαρακτηριστικὰ τοῦ γιγαντιαίου πλανήτη τοῦ ἡλιακοῦ συστήματος παρ' ὅλο ὅτι ἡ πυκνότητά του εἶναι μόνον ἡ μισή τοῦ Δία ($\sim 7 \text{ cm}^{-3}$), δι μόνος πλανήτης ποὺ ἔχει πυκνότητα μικρότερη ἀπὸ αὐτὴν τοῦ νεροῦ. Παρὰ τὶς δύμοιότητες ὑπῆρξαν ἀρκετὲς ἐκπλήξεις σὲ σχέση μὲ τὶς συναντήσεις τῶν Pioneer 11 καὶ τοῦ Voyager, ὅπως τὸ γεγονός ὅτι ἡ ἔνταση τοῦ πλανητικοῦ μαγνητικοῦ πεδίου ἦταν 10 φορὲς μικρότερη ἀπὸ τοῦ Δία, καὶ ἡ σχεδὸν τέλεια εύθυγράμμιση τοῦ μαγνητικοῦ διπολικοῦ ἄξονα μὲ τὸν ἄξονα περιφορᾶς. Αὐτὸ τὸ γεγονός δίνει ἔμφαση στὸ πόσο πολλὰ πρέπει νὰ μάθουμε γιὰ τὸν πλανητικὸ μαγνητισμὸ καὶ τὰ μαγνητικὰ δυναμό. Πράγματι τὸ μικρὸ μέγεθος τῆς διπολικῆς ροπῆς τοῦ Κρόνου δηλώνει ὅτι ὁ πλανήτης ἔχει μικρὸ ἀγώγιμο πυρήνα ἡ κάποια ἀργὴ μεταβολὴ στὸ δυναμὸ ποὺ ἐνδεχομένως ἐπηρεάζει τὸν προσανατολισμὸ τοῦ πεδίου.

"Η μικρὴ μαγνητικὴ ροπὴ τοῦ Κρόνου περιορίζει τὸ μέγεθος τῆς μαγνητόσφαιρας ὑπὸ κανονικές συνθῆκες τοῦ ἡλιακοῦ ἀνέμου (JGR εἰδικὴ ἔκδοση 1980, 1983). "Οπως μὲ τὶς μαγνητοπαύσεις τῶν ἄλλων πλανητῶν, ἡ ἐνισχυμένη πίεση τοῦ ἡλιακοῦ ἀνέμου ὀθεῖ τὴ μαγνητόπαυση τοῦ Κρόνου πρὸς τὸν πλανήτη. Τὸ διαστημόπλοιο Voyager 2 συνάντησε τὴ μαγνητόπαυση σὲ περίπου 19.7 R_S (ἀκτίνα Κρόνου) ἐνῶ τὸ Voyager 1 ἀνακάλυψε τὰ ἴδια σύνορα σὲ περίπου 26 R_S ἀρκετὰ πέρα ἀπὸ τὴν τροχιὰ τῆς σελήνης Τιτάν.

Τὸ διαστημόπλοιο Voyager 1 βρῆκε ἔνδειξη γιὰ τὴν ὑπαρξὴν ψυχροῦ πλάσματος ποὺ περιβάλλει τὴν τροχιὰ τοῦ Τιτάνα καὶ ἐκτείνεται στὴ μαγνητόπαυση τῆς προσήλιας πλευρᾶς. Τὸ περιασμα χαμηλῆς ἐνέργειας φορτισμένων σωματιδίων LECP στὰ Voyager 1 καὶ 2 ἔδωσε ἔνδειξη (Krimigis et al., 1983) γιὰ τὴν ὑπαρξὴν θερμοῦ πλάσματος στὴ μαγνητόσφαιρα μὲ χαρακτηριστικές ἐνέργειες $\sim 20\text{-}55 \text{ keV}$. Αὐτὴ ἡ θερμοῦ πλάσματος περιοχὴ φαίνεται νὰ περιορίζεται μεταξὺ τῶν τροχιῶν τοῦ Τέθη καὶ τῆς Ρέας καὶ πιθανὸν περικυκλώνει τὸν πλανήτη. Ὑπάρχει ἐπίσης ἐπαρκὲς θερμὸ πλάσμα στὴν ἐξωτερικὴ μαγνητόσφαιρα ὅπου ὁ λόγος πίεσης β εἶναι $\sim 0,5$ ἢ 1, γιὰ νὰ

ύποδειξει ὅτι ἡ ἀλληλεπίδραση μεταξύ τοῦ ἡλιακοῦ ἀνέμου καὶ τοῦ Κρόνου εἶναι περισσότερο ὅμοια μὲ τὴν ἀλληλεπίδραση στὸν Δία παρὰ στὴ Γῆ ἰδιαίτερα κατὰ τὴν συνάντηση τοῦ Voyager 2. Πρέπει νὰ ληφθεῖ ὑπὸ δψη ἐντούτοις ὅτι τὰ τρία περάσματα ἀπὸ τὸν πλανήτη ἥταν ἀνεπαρκῆ γιὰ νὰ χαρακτηρίσουν τις «συνήθεις» συνθῆκες πλάσματος ἢ τὴ δυναμικὴ τῆς μαγνητόσφαιρας. Αὐτὸς ἐλπίζεται νὰ ἐπιτευχθεῖ κατὰ τὴ διάρκεια τῆς ἀποστολῆς Cassini ὅπου τὸ διαστημόπλοιο θὰ μπεῖ σὲ τροχιὰ γύρω ἀπὸ τὸν Κρόνο καὶ θὰ ἔξερευνήσει τὸ περιβάλλον γιὰ μιὰ περίοδο 4 ἑτῶν περίπου.

“Οπως ἔχει ὑποδειχθεῖ νωρίτερα, μοναδικὸ χαρακτηριστικὸ τῶν μαγνητοσφαιρῶν τῶν ἔξωτερικῶν πλανητῶν, εἶναι τὸ γεγονός ὅτι ἀρκετοὶ δορυφόροι εἶναι ἐνσωματωμένοι σ' αὐτές. Στὴν περίπτωση τοῦ Δία οἱ δορυφόροι εἶναι πηγές πλάσματος, γιὰ παράδειγμα τὰ ἡφαίστεια τῆς Ἰουᾶς καὶ οἱ ἐκτινάξεις ὑλῆς ἀπὸ τὴν Εὔρωπη. Δὲν ὑπάρχει καλύτερο παράδειγμα τέτοιων ἀλληλεπιδράσεων ἀπὸ τὴν περίπτωση τοῦ Κρόνου ὅπου, ἐπιπρόσθετα στοὺς δορυφόρους, ὑπάρχουν ἐπίσης ἀρκετοὶ δακτύλιοι, περιλαμβανομένου τοῦ δακτυλίου E, ἡ ἀκτίνα τοῦ ὁποίου εἶναι ~4-6 R_S. Οἱ πληθυσμοὶ τῶν ἐνεργειακῶν σωματιδίων μειώνονται στὴν περιοχὴ ποὺ μοιράζονται ὁ δακτύλιος E καὶ οἱ δορυφόροι Διώνη καὶ Τέθης. Αὐτὸς μπορεῖ νὰ ὀφείλεται ἐν μέρει στὴν ἀπορρόφηση σωματιδίων ἀπὸ τὸ ὑλικὸ τοῦ δακτυλίου καὶ τῶν φεγγαριῶν ποὺ εἶναι ἐνσωματωμένο στὴ μαγνητόσφαιρα. Έὰν τὰ σωματίδια τοῦ δακτυλίου E ἀπορροφοῦν χαμηλῆς ἐνέργειας ίόντα μὲ τὴν πρόσκρουση, τὰ ίόντα θὰ ἐκτινάξουν ὑλη ἀπὸ τοὺς κόκκους. Βασιζόμενος σ' αὐτὴ τὴ διαδικασία μπορεῖ κανεὶς νὰ ὑπολογίσει ὅτι ἐὰν ὁ δακτύλιος E ἀποτελεῖται ἀπὸ 10 micron σωματίδια, καὶ τὰ προσκρούοντα ίόντα εἶναι πρωτόνια, θὰ ἐπιζήσει τὸ πολὺ ~10⁵ ἔτη. Εἶναι ἐκπληκτικὸ ὅτι ὑπάρχουν πηγὲς χαμηλῆς ἐνέργειας ίόντων (πιθανὸν O⁺) καὶ ἡλεκτρονίων στὸ ἐσωτερικὸ τῆς τροχιᾶς τοῦ Ἐγκέλαδου. Ἡ φύση τῆς πηγῆς δὲν εἶναι ἀκόμη γνωστή.

Μιὰ ἀπὸ τὶς σημαντικές ἀνακαλύψεις τοῦ Pioneer 11 καὶ Voyager 1 ἥταν ἡ παρουσία ὑψηλῆς ἐνέργειας πρωτονίων καὶ ἡλεκτρονίων (κλίμακα 50 MeV) στὴν ἐσωτερικὴ μαγνητόσφαιρα τοῦ πλανήτη. Πιστεύεται ὅτι ἡ προέλευση τέτοιων ὑψηλῆς ἐνέργειας σωματιδίων ὀφείλεται στὸ γεγονός ὅτι γαλαξιακὲς κοσμικὲς ἀκτίνες ἔχουν εὔκολη πρόσβαση στὴ μαγνητόσφαιρα τοῦ Κρόνου, στὶς σελῆνες καὶ τοὺς δακτυλίους ἔξι αἰτίας τῆς μικρῆς μαγνητικῆς ροπῆς τοῦ πλανήτη καὶ μπορεῖ νὰ ἀλληλεπιδράσουν καὶ νὰ παράγουν νετρόνια ἀπὸ αὐτές τὶς ὑλες. Τέτοια νετρόνια ἀποσυντίθενται σὲ πρωτόνια καὶ ἡλεκτρόνια ἀμφότερα παγιδευμένα στὸ πλανητικὸ μαγνητικὸ πεδίο. Πολλὰ πάντως ἀπὸ τὰ πρότυπα ἀπορροφήσεως αὐτῶν τῶν μορίων στὴν ἐσωτερικὴ μαγνητόσφαιρα δὲν εἶναι εὔκολο νὰ γίνουν κατανοητὰ συσχετιζόμενα μὲ τὴν ἀπορρόφηση τῶν πλανητικῶν σεληνῶν [Carbary et al., 1983]. Οἱ ἐπιπτώσεις αὐτῆς τῆς ἔλλειψης τῆς θεωρητικῆς κατανόησης μπορεῖ νὰ ἐπηρεάσει τὴν ἐπιλογὴ γιὰ τὴν

τροχιά παρεμβολῆς τοῦ διαστημοπλοίου Cassini στὸν Κρόνο, ὅταν αὐτὸν θὰ φθάσει ἐκεῖ τὸ 2004.

Ο ΥΡΑΝΟΣ

Μία ἀπὸ τὶς πιὸ πολύπλοκες μαγνητόσφαιρες στὸ ἡλιακὸ σύστημα εἶναι ἐκείνη ποὺ περιβάλλει τὸν Οὐρανό, ὁ δποῖος εἶναι μοναδικὸς μεταξὺ τῶν πλανητῶν στὸ ὅτι ὁ ἄξονας περιστροφῆς του βρίσκεται σχεδόν στὸ ἐπίπεδο τῆς τροχιᾶς του γύρω ἀπὸ τὸν "Ηλιο μᾶλλον παρὰ κάθετα πρὸς αὐτὸν (Πίνακας 2). Πριν ἀπὸ τὴν 24η Ἰανουαρίου 1986 θεωροῦνταν ὅτι ὁ διπολικὸς ἄξονας τοῦ μαγνητικοῦ πεδίου τοῦ Οὐρανοῦ εἶναι πιθανότατα περίπου παράλληλος μὲ τὸν ἄξονα περιστροφῆς, ὅπως συμβαίνει μὲ τοὺς ἄλλους πλανῆτες. Ἐὰν αὐτὸν ἦταν ἔτσι, ὁ ἡλιακὸς ἄνεμος θὰ ἔπεφτε σὲ διπολικὸ μαγνητικὸ πεδίο προσανατολισμένο 90° πρὸς ἐκεῖνο τῶν ἄλλων πλανητικῶν μαγνητοσφαιρῶν.

Ἐπιπλέον, τὸ χρόνο συναντήσεως τοῦ Voyager 2 ὁ ἄξονα περιστροφῆς τοῦ πλανήτη ἔδειχνε περίπου πρὸς τὸν "Ηλιο, ἔτσι ὡστε ὁ ἡλιακὸς ἄνεμος νὰ προσέπιπτε σὲ μιὰ «πολική» περιοχὴ τοῦ πλανήτη. Αὐτὲς οἱ ὑποθέσεις, βασισμένες στὴ γνώση μας γιὰ τὴ μαγνητόσφαιρα τῶν ἄλλων πλανητῶν, ἀποδείχθηκαν λανθασμένες.

Τὸ μαγνητικὸ πεδίο τοῦ Οὐρανοῦ μετρήθηκε ἀπὸ τὸν Voyager νὰ ἔχει κλίση μὲ γωνία $\sim 60^\circ$ πρὸς τὸν ἄξονα περιστροφῆς, ἡ μεγαλύτερη τέτοια κλίση ἀπὸ δποιονδήποτε ἄλλο πλανήτη καὶ παρόμοια μὲ τοὺς πλάγιους περιστροφεῖς ποὺ συνάγονται ἀπὸ μερικὰ ἀστροφυσικὰ ἀντικείμενα (Πίνακας 2) [Ness et al., 1986]. Ἡ διπολικὴ ροπὴ εἶναι μετατοπισμένη κατὰ ~ 0.3 R_U ('Ακτίνες Οὐρανοῦ) κατὰ μῆκος τοῦ ἄξονα τῆς πλανητικῆς περιστροφῆς πρὸς τὴν νυχτερινὴ πλευρὰ τοῦ πλανήτη. Ἡ ἔνταση τοῦ ἰσημερινοῦ πεδίου ~ 0.23 Gauss εἶναι κάπως μικρότερη ἀπὸ ἐκείνη τοῦ Κρόνου καὶ ἡ ἀπόσταση standoff τῆς μαγνητόπαυσης σὲ ὅρους πλανητικῶν ἀκτίνων (Πίνακας 2) εἶναι ἐπίσης παρόμοια. Μέσα στὴ μαγνητόσφαιρα εἶναι παγιδευμένοι μεγάλοι ἀριθμοὶ ἐνεργειακῶν ἡλεκτρονίων ἀλλὰ σχετικὰ χαμηλότεροι ἀριθμοὶ ἐνεργειακῶν ἴόντων, ὅταν συγκριθοῦν μὲ τὸ Δία καὶ τὸν Κρόνο. Τὸ χαμηλῆς πυκνότητας ($\sim 1 \text{ cm}^{-3}$) πλάσμα ἀποτελεῖται κυρίως ἀπὸ πρωτόνια [Bridge et al., 1986] μὲ μία ὑπερβολικὰ χαμηλὴ (10^{-4}) ἀναλογία 'Ηλιου πρὸς Πρωτόνια στὶς μέγιστες (MeV) ἐνέργειες (Krimigis et al., 1986a). Ἡ ραδιενέργεια παγιδευμένη μέσα στὸ μαγνητικὸ πεδίο τοῦ Οὐρανοῦ εἶναι ἐπηρεασμένη σημαντικὰ ἀπὸ τὴν ἀπορρόφηση ἀπὸ τοὺς κυριότερους δορυφόρους τοῦ Οὐρανοῦ.

Πλανητικές ραδιοεκπομπὲς ποὺ ἔκτείνονται 30-800 KHz βρίσκονται νὰ εἶναι ἐντονότερες στὴ νυχτερινὴ πλευρὰ τοῦ πλανήτη [Warwick et al., 1986] ἐνῷ κύματα πλάσματος μὲ συχνότητες τόσο χαμηλὲς ὅσο 10 Hz βρίσκονται σὲ ὅλη τὴ μαγνητ-

σφαιρα [Gurnet et al., 1986]. 'Ο Ούρανός είναι μοναδικός μεταξύ των πλανητικών μαγνητοσφαιρών που έρευνήθηκαν μέχρι τώρα στό δι τοῦ πλάσματος είναι λιγότερο ~0.1, δηλ. δ,τι πιο κοντινό σε μια «κενή» μαγνητόσφαιρα έχει παρατηρηθεῖ μέχρι τώρα. 'Η πυκνότητα τῶν ζωνών ἀκτινοβολίας είναι τέτοια ώστε δι βομβαρδισμός τῶν ἐνεργειακῶν πρωτονίων τοῦ πάγου μεθανίου θὰ τὸ μετέτρεπε σε μαῦρο κατάλοιπο μὲ πολὺ μικρὴ ἀνακλαστικότητα μέσα σὲ λίγα ἑκατομμύρια χρόνια τὸ πολύ, κάτι ποὺ θὰ δύνηται στὴ θεώρηση δι οἱ σκοτεινοὶ δακτύλοι τοῦ Ούρανοῦ ἀποτελοῦνται ἵσως ἀπὸ πάγο μεθανίου [Krimigis et al., 1989]. Τὸ μαγνητικὸ ίσημερινὸ στρῶμα πλάσματος τῆς μαγνητόσφαιρας τοῦ Ούρανοῦ τελικὰ εὐθυγραμμίζεται στὴν ἀντι-ηλιακὴ κατεύθυνση σὲ ἀποστάσεις κατὰ προσέγγιση $< 20 R_U$ ἀπὸ τὸν πλανήτη. 'Ο Ούρανός ἐπίσης βρέθηκε δι κατέχει μιὰ ἔκτεταμένη ὑδρογονοῦχο κορώνα ποὺ μπορεῖ νὰ ἀποτελεῖ μιὰ πηγὴ πλάσματος μέσα στὴ μαγνητόσφαιρα. Τὰ φεγγάρια τοῦ Ούρανοῦ δὲν ἔμφανίζονται νὰ είναι σημαντικὲς πηγὲς πλάσματος, ἀντίθετα μὲ τὶς περιπτώσεις τοῦ Δία καὶ τοῦ Κρόνου, ἀλλὰ ἐνεργοῦν σὰν ἀπορροφητῆρες παγιδευμένων σωματιδίων (Krimigis et al., 1986a). Οἱ ραδιοεκπομπὲς τοῦ Ούρανοῦ, παρόλο δι είναι παρόμοιες μὲ ἐκεῖνες τοῦ Κρόνου σὲ φασματώδη ἔκταση, είναι λιγότερες σὲ ἀπόλυτη ἴσχυ μεγέθους περίπου μιᾶς τάξεως (Εἰκ. 10, Gurnett, 1995).

Π Ο Σ Ε Ι Δ Ω Ν Α Σ

"Οπως στὴν περίπτωση μὲ τὴ συνάντηση τοῦ Ούρανοῦ τὸ πέρασμα τοῦ Voyager 2 ἀπὸ τὸν Ποσειδώνα τὴν 25η Αύγουστου 1989 ἔφερε ἔναν ἀριθμὸ ἀπροσδόκητων εὑρημάτων. Μεταξύ αὐτῶν ἦταν ἡ ἀνακάλυψη τῶν δύο στενῶν καὶ δύο ἔκτεταμένων δακτυλίων ποὺ περιβάλλουν τὸν πλανήτη καὶ ἔξι νέα φεγγάρια σὲ κυκλικὴ ἀριστερόστροφη τροχιά, ὅλα ἀρκετὰ μέσα στὴν δεξιόστροφη τροχιά τοῦ Τρίτωνα. 'Ο Τρίτων ἔχει μία ὑψηλὴ ἀνακλαστικὴ καὶ γεωλογικὰ νέα ἐπιφάνεια πάνω σὲ λεπτὴ ἀζωτοῦχο ἀτμόσφαιρα καὶ τουλάχιστον δύο ἐνεργούς πίδακες.

'Η πρώτη ἀμεση ἐνδειξη ἐνδὸς μαγνητικοῦ πεδίου τοῦ Ποσειδώνα προῆλθε ἀπὸ τὶς ραδιοεκπομπὲς ποὺ ἀνακαλύφθηκαν περίπου 8 ἡμέρες πρὶν ἀπὸ τὴν πλησιέστερη προσέγγιση σὲ ἀπόσταση 417 ~ R_N (ἀκτίνες Ποσειδώνα). Μία ἀνασκοπικὴ ἔξέταση τῶν στοιχείων ἀποκάλυψε δι οἱ ραδιοεκπομπὲς ὑπῆρχαν τόσο νωρὶς δι 30 ἡμέρες πρὶν ἀπὸ τὴν πλησιέστερη προσέγγιση καὶ παρουσίαζε μία περιοδικότητα 16.11 ὥρες [Warwick et al., 1989].

Τὸ μαγνητικὸ πεδίο τοῦ πλανήτη εἶχε κλίση μὲ γωνία ~47° σὲ σχέση μὲ τὸν ἀξονα περιστροφῆς καὶ μετατόπισης ~0.55 R_N στὸ Νότιο ἡμισφαίριο καὶ μακριὰ ἀπὸ τὸν ἀξονα περιστροφῆς τοῦ Ποσειδώνα. 'Η πρὸς τὰ ἕσω μαγνητόπαυση δὲν προσδιο-

ρίστηκε καλά διόπι ὁ Voyager εἰσῆλθε σὲ πολὺ κεκλιμένο μαγνητικὸ πεδίο, σὲ πολὺ ὑψηλὸ μαγνητικὸ γεωγραφικὸ πλάτος, ἐπιτρέποντας τὴν πρώτη παρατήρηση μιᾶς «πολικῆς» μαγνητόσφαιρας ὅπου ὁ ἡλιακὸς ἄνεμος προσπίπτει στὴν μαγνητικὴ πολικὴ περιοχὴ παρὰ στὸν ἴσημερινό. Μιὰ βαθμιαίᾳ ἐμφάνισῃ μαγνητόπαυσης συνέβη μεταξύ 26.5 καὶ 23 πλανητικῶν ἀκτίνων (Πίνακας 2). Κοντὰ στὸν πλανήτη ($< 4 R_N$) τὸ μαγνητικὸ πεδίο ἐκδηλώνεται φτωχὰ ἀπὸ ἕνα διπολικὸ καὶ περιέχει τετραπολικοὺς καὶ ὀκταπολικοὺς ὄρους [Ness et al., 1989]. Ἡ διπολικὴ ροπὴ εἶναι 0.133 gauss $R^3 N$ ἀλλὰ ἐπειδὴ ὑπάρχει μεγάλη μετατόπιση, τὸ ἐπιφανειακὸ πεδίο εἶναι πολὺ ἀσύμμετρα κυματινόμενο ἀπὸ μέγιστο ~4 gauss στὸ Νότιο ἡμισφαίριο σὲ ἔνα ἐλάχιστο < 0.1 gauss στὸ Βόρειο ἡμισφαίριο. Καθὼς τὸ μαγνητικὸ πεδίο περιστρέφεται μὲ τὸν πλανήτη μὲ 16.11 ὥρες περίοδο, δορυφόροι καὶ δακτυλιοειδῆ σωματίδια σαρώνουν μεγάλης ἀκτίνας μαγνητικὸ πλάτος καὶ ἐνεργοῦν σὰν ἀπορροφητῆρες τῶν πληθυσμῶν φορτισμένων σωματιδίων ποὺ βρίσκονται παγιδευμένα μέσα στὴ μαγνητόσφαιρα τοῦ πλανήτη (Mauk et al., 1991].

Ἡ μέγιστη πυκνότητα πλάσματος ποὺ παρατηρήθηκε ἐντὸς τῆς μαγνητόσφαιρας ἦταν $\sim 1.4 \text{ cm}^{-3}$, ἡ μικρότερη ποὺ ἔχει παρατηρηθεῖ ἀπὸ τὸν Voyager σὲ ὅποιαδήποτε μαγνητόσφαιρα. Τὸ πλάσμα ἀποτελεῖται ἀπὸ ἐλαφρὰ (μάζα 1-5 AMU) καὶ βαρέα (μάζα 10-40 AMU) συστατικὰ ἴοντα. Τὸ μεγαλύτερο μέρος πλάσματος βρίσκεται συγκεντρωμένο σὲ ἔνα πλασματοφοιὸ κοντὰ στὸν πλανήτη. Ἡ πιὸ πιθανὴ πηγὴ γιὰ τὰ ἐλαφρὰ ἴοντα εἶναι ἡ ἀτμόσφαιρα τοῦ Ποσειδώνα, ἐνῶ τὰ βαρέα ἴοντα πιθανὸν διαφεύγουν ἀπὸ τὴν ἀτμόσφαιρα τοῦ Τρίτωνα [Belcher et al., 1989]. Ὁ πληθυσμὸς ἐνεργειακῶν σωματιδίων περιλαμβάνει ὑδρογόνο, μεμονωμένα ἰονισμένα μόρια ὑδρογόνου καὶ μερικὸ ἥλιο σὲ σχετικὲς περιεκτικότητες 1300 πρὸς 1 καὶ πρὸς 0.1 [Krimigis et al., 1989]. Ἀν καὶ ἐνεργειακὰ ἴοντα καὶ ἡλεκτρόνια ἐθεάθηκαν διαμέσου τῆς μαγνητόσφαιρας, ὑψηλότερης ἐνέργειας ($> 200 \text{ KeV}$) σωματίδια περιορίστηκαν ἐντὸς τῆς τροχιακῆς ἀκτίνας τοῦ Τρίτωνα. Αὐτοὶ καθὼς καὶ ἄλλοι παράγοντες δηλώνουν ὅτι ὁ Τρίτων παίζει ἔνα καθοριστικὸ ρόλο στὸν ἔλεγχο τῶν ἔξω περιοχῶν τῆς μαγνητόσφαιρας τοῦ Ποσειδώνα. Κοντὰ στὴν πλησέστερη προσέγγιση, παρατηρήθηκαν ἀπαλὲς ροὲς σωματιδίων ποὺ μοιάζουν μὲ ἐκεῖνες τῆς περιοχῆς τοῦ σέλαος τῆς Γῆς.

Σημαντικές ροὲς ἐνεργειακῶν ($< 1 \text{ MeV}$) παγιδευμένων ἡλεκτρονίων καὶ πρωτονίων ἐπίσης μετρήθηκαν μέσα στὴ μαγνητόσφαιρα. Μέγιστες ἐντάσεις συμβαίνουν κοντὰ στὰ $7 R_N$ ἐλαττωμένες πρὸς τὰ ἔσω ὅς ἀποτέλεσμα τῆς ἀπορρόφησης τῶν σωματιδίων ἀπὸ δορυφόρους καὶ σωματίδια δακτυλίου. Ἀρκετὰ διακεκριμένα φαινόμενα ἀπορρόφησης σωματιδίων φαίνονται στὶς ροὲς ἡλεκτρονίων καὶ πρωτονίων ποὺ μετρήθηκαν ἀπὸ τὸν Voyager.

Οἱ ραδιοεκρήξεις ἀπὸ τὸν Ποσειδώνα ποὺ ἀναφέρονται νωρίτερα εἶχαν ἐντονη

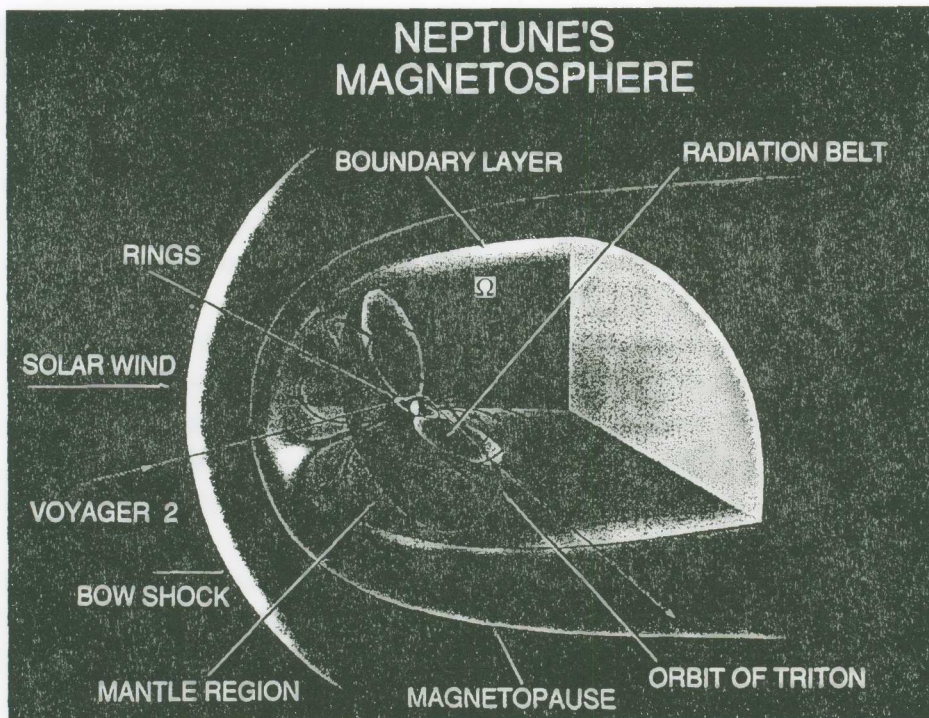
πολικότητα και συνέβησαν στὸ εῦρος συχνότητας 100-1300 KHz (Εἰκόνα 10). Αύτὰ θεωροῦνται ότι προέρχονται κοντά ἀπὸ τὸ Νότιο μαγνητικὸ πόλο και ότι ἔχουν τὰ χαρακτηριστικὰ ἐνὸς παγκατευθυντικοῦ ραδιοπομποῦ. "Ενα περισσότερο διαδεδομένο εἶδος ἀπαλῆς ἐκπομπῆς ἀνακαλύφθηκε στὴν ακλίμακα συχνοτήτων 20-865 KHz. Ἡ πόλωση αὐτῶν τῶν ἐκπομπῶν ἦταν μεταβλητὴ σὲ διοιαδήποτε ἐποχὴ ἀλλὰ τὸ πρότυπο ἐπαναλαμβανόταν σὲ κάθε πλανητικὴ περιφορά. Ἐδῶ ἡ ἐρμηνεία εἶναι ἐκείνη τῆς στενῆς περιφορᾶς ραδιοδέσμης ἡ ὁποία περιοδικὰ σαρώνεται ἐγκαρσίως ἀπὸ τοὺς διαστημικοὺς ἀνιχνευτὲς [Warwick et al., 1989].

Πολλὰ τυπικὰ κύματα πλάσματος ἀνακαλύφθηκαν ἀπὸ τὸ ὄργανο Plasma Wave κατὰ τὴν διάρκεια τῆς συνάντησης. Αύτὰ περιλαμβάνουν ταλαντώσεις πλάσματος ἡλεκτρονίων στὸν ἡλιακὸ ἀνεμο ἀντίθετα πρὸς τὴν διεύθυνση τοῦ κρουστικοῦ κύματος, ἡλεκτροστατικὴ διαταραχὴ στὸ κρουστικὸ κύμα και στὸ μαγνητοκάλυμμα hiss, κύματα ἡλεκτρον, κύκλοτρον, ἀνώτερα ὑβριδικὰ και κύματα ἀντηχήσεως στὴν ἔσω μαγνητόσφαιρα [Gurnett et al., 1989].

Ἐκπομπὲς τοῦ σέλαος στὸν Ποσειδώνα παρατηρήθηκαν σὲ H-Lyman β (1025 Å) και ἔχουν καταρχὴν ἐντοπιστεῖ στὴ νυχτερινὴ πλευρὰ τοῦ Ποσειδώνα μὲ συνολικὴ ἐκπεμπόμενη ἴσχυ $\sim 5 \times 10^7$ watts. Ἡ μετρηθεῖσα ροὴ τῶν ἡλεκτρονίων και ἴοντων χαμηλῆς ἐνέργειας πάνω ἀπὸ τὴν πολικὴ περιοχὴ $\sim 5 \times 10^{-4}$ erg/cm²/sec προκύπτει σὲ μιὰ ὑπολογισμένη ἴσχυ εἰσροῆς $\sim 3 \times 10^7$ watts, σημαντικὰ λιγότερη ἀπὸ διοιδήποτε ἀλλο πλανήτη [Krimigis et al., 1990]. Τὰ χαρακτηριστικὰ τῆς μαγνητόσφαιρας τοῦ Ποσειδώνα συνοψίζονται στὴν Εἰκόνα 11 [Krimigis et al., 1989].

Π Λ Ο Υ Τ Ω Ν Α Σ

Τὸ σύστημα τοῦ Πλούτωνα/Χάροντα ἀπομένει ἀκόμη νὰ ἐρευνηθεῖ μὲ ρομποτικὰ διαστημόπλοια και εἶναι ἀπίθανο νὰ προσεγγιστεῖ πρὸς τὸ 2010 τὸ νωρίτερο μὲ τὸ διαστημόπλοιο Pluto Express, ποὺ τώρα βρίσκεται στὸ στάδιο σχεδιασμοῦ. Οἱ γνωστὲς ἰδιότητες τοῦ Πλούτωνα ἀναφέρονται στὸν Πίνακα 1· εἶναι ὁ μικρότερος πλανήτης στὸ ἡλιακὸ σύστημα, μικρότερος και τῆς Σελήνης, ἀλλὰ ἔχει ἀτμόσφαιρα, ἀποτελούμενη κυρίως ἀπὸ μεθάνιο, τουλάχιστον ὅταν ὁ πλανήτης βρίσκεται μέσα στὴν τροχιὰ τοῦ Ποσειδώνα. Ἡ ἀτμόσφαιρα τελικὰ παγώνει ἔξω καθὼς ὁ Πλούτωνας κινεῖται πρὸς τὸ ἀφήλιο στὰ 39.4 AU. Δὲν εἶναι δυνατὸ ἀπὸ τὶς παροῦσες τηλεσκοπικὲς παρατηρήσεις, συμπεριλαμβανομένων αὐτῶν τοῦ διαστημικοῦ τηλεσκοπίου Hubble, νὰ συμπεράνουμε διοιαδήποτε ἔνδειξη ότι ὁ Πλούτωνας ἔχει μαγνητόσφαιρα. Κρίνοντας ἀπὸ τὸ μικρὸ μέγεθος και τὴ σχετικὰ ἀργὴ περιστροφὴ του, εἶναι ἀπίθανο ὁ πλανήτης νὰ ἔχει ἐσωτερικὸ μαγνητικὸ πεδίο. Ἐπειδή, παρόλα



Εικόνα 11. Προσλαμβανόμενο μοντέλο της μαγνητόσφαιρας του Ποσειδώνα, όπως θά μπορούσε νά φαίνεται τή στιγμή της εισόδου του Voyager στήν περιοχή αλχιμῆς. Οι κυριες περιοχες είναι ή περιοχή του μανδύα, με τά παγιδευμένα σωματίδια, ή ζώνη άκτινοβολίας, που καθορίζεται άπο τήν τροχιά του Τρίτωνα, καὶ τὸ συνοριακὸ στρῶμα στήν πλευρὰ τῆς νύκτας.

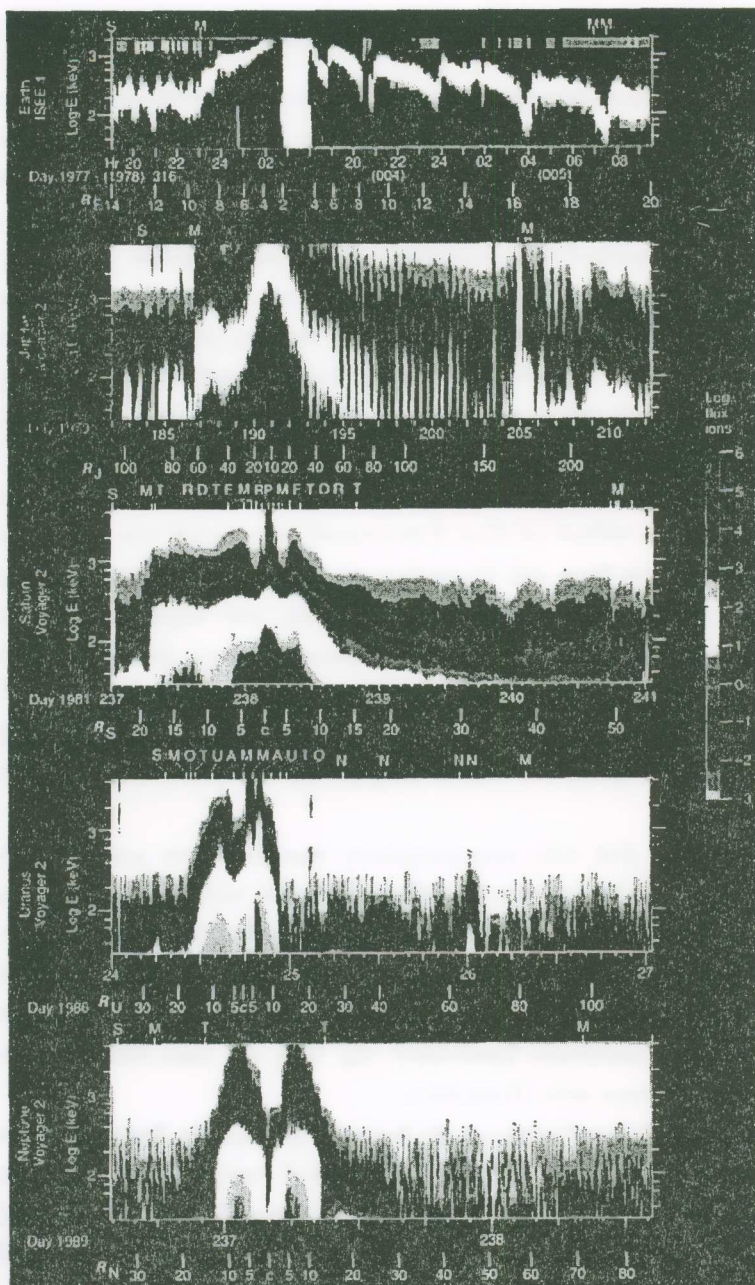
αύτά, ὁ ἡλιακὸς ἀνεμος ἔκτείνεται πέρα ἀπὸ τὴν τροχιὰ τοῦ Πλούτωνα, εἶναι πιθανὸ ἡ ἀλληλεπίδραση μεταξὺ Πλούτωνα καὶ ἡλιακοῦ ἀνέμου νὰ μοιάζει μὲ ἔκείνη τῶν ἄλλων πλανητικῶν σωμάτων ποὺ ἔχουν ἀτμόσφαιρα, ὅπως τῆς Ἀφροδίτης, τοῦ Ἀρη ἢ ἀκόμη τῶν κομητῶν. "Ετσι μποροῦμε νὰ ἀναμένουμε ὅτι μιὰ ὑποτιθέμενη μαγνητόσφαιρα, δύμοια μὲ ἔκείνη αὐτῶν τῶν πλανητῶν μπορεῖ νὰ ὑπάρχει, ὅταν ἡ ἀτμόσφαιρα εἶναι σὲ κατάσταση ἀερίου μέσα στὴ θέση περιήλιου τοῦ Πλούτωνα [Bagenal and McNutt, 1989]. Εἶναι ἐπίσης πιθανὸ ὅτι ὁ ἔδιος ὁ δορυφόρος Χάρων ἔχει κάποια ἀτμόσφαιρα καὶ θὰ μποροῦσε κάλλιστα νὰ εἶναι μέσα στήν περιοχὴ ἀλληλεπίδρασης τοῦ ἡλιακοῦ ἀνέμου μὲ τὸν Πλούτωνα. Ἡ ἔρευνα τῶν λεπτομερειῶν μιᾶς τέτοιας ἀλληλεπίδρασης θὰ πρέπει προφανῶς νὰ περιμένει τὴν ἀποστολὴ στὸν Πλούτωνα [Stern, 1992].

ΓΕΝΙΚΑ ΧΑΡΑΚΤΗΡΙΣΤΙΚΑ ΤΩΝ ΜΑΓΝΗΤΟΣΦΑΙΡΩΝ

Είδαμε όπο τήν προηγούμενη ἀναφορά ὅτι οἱ μαγνητόσφαιρες τοῦ ἡλιακοῦ συστήματος μοιράζονται ἔνα μεγάλο ἀριθμὸν κοινῶν χαρακτηριστικῶν. Τὸ δὲικό τους σχῆμα εἶναι ἀσύμμετρο ἐξαιτίας τῆς ροῆς τοῦ ἡλιακοῦ ἀνέμου: συμπιέζεται στὴν προσήλια πλευρὰ καὶ ἔκτείνεται μέσα σὲ μιὰ μακριὰ μαγνητοσφαίρα στὴν ἀφήλια πλευρά. Αὐτὸν μορφοποιεῖ τὴ μαγνητόσφαιρα σὲ μιὰ τεράστια μαγνητικὴ κοιλότητα γεμάτη μὲν ἔνα μεγάλο ἀριθμὸν παγιδευμένων σωματιδίων, ποὺ κυμαίνονται σὲ ἐνέργεια ἀπὸ μερικὰ ἡλεκτρονιοβόλτ σὲ δεκάδες μεγαλεκτρονιοβόλτ. Αὐτὰ ἐπιταχύνονται ἐπὶ τόπου ἐξαιτίας διαδικασιῶν ποὺ περιλαμβάνουν ἡλεκτρικὰ ρεύματα καὶ ἡλεκτρομαγνητικὰ πεδία, καὶ παράγουν ποικιλία φαινομένων μὲ κλίμακες χρόνου ἀπὸ λίγα χιλιοστὰ τοῦ δευτερολέπτου ὃς ἀρκετὰ λεπτὰ καὶ ὥρες. Ἡ εἰσοδος ἐνέργειας τῆς μαγνητόσφαιρας εἶναι κυρίως δ ἡλιακὸς ἀνεμος γιὰ τοὺς ἐσωτερικοὺς πλανῆτες ἀλλὰ εἶναι πιθανὸν νὰ εἶναι ἡ πλανητικὴ περιστροφὴ γιὰ τοὺς ἄλλους πλανῆτες. Τὰ ἐνέργειακὰ ἰόντα καὶ ἡλεκτρόνια προσπίπτουν στὶς πολικές περιοχὲς τῶν μαγνητισμένων πλανητῶν σὲ μεγάλους ἀριθμοὺς καὶ παράγουν ἐκπομπὲς τοῦ σέλαος σὲ ἐκτενόμενες περιοχὲς μήκους κύματος μὲ ἴσχυ ἀπὸ $\sim 10^7$ Watt στὸν Οὐρανὸ μέχρι $\sim 10^{14}$ Watt στὸν Δία, μὲ τὴ Γῆ ἐνδιάμεσα στὰ $\sim 10^{11}$ Watt. Πρόσθετα, κάθε μαγνητόσφαιρα τῶν μαγνητισμένων πλανητῶν παράγει ραδιοεκπομπὲς (μὲ πιθανὴ ἐξαίρεση τὸν Ἐρυζ) μετρημένες σὲ μεγάλες ἀποστάσεις ἀπὸ τοὺς πλανῆτες.

"Ετσι καθένας ἀπὸ τοὺς μαγνητισμένους πλανῆτες εἶναι μιὰ ραδιοπηγὴ στὸν οὐρανό, μὲ μερικοὺς νὰ παράγουν περιοδικὲς ἐκπομπὲς ποὺ ἀνακλοῦν τὴν ἐσωτερικὴ περιστροφὴ τῶν πλανητῶν. Οἱ πηγὲς πλάσματος εἶναι τόσο ἐξωτερικὲς ὅσο καὶ ἐσωτερικὲς μὲ συμβολὴ ἀπὸ τὸν ἡλιακὸ ἀνεμο, τὶς πλανητικὲς ἀτμόσφαιρες, τὶς Ἰονόσφαιρες, τὶς πλανητικὲς ἐπιφάνειες διαμέσου ἐκβολῶν, καθὼς ἐπίσης τὶς ἀπευθείας ἀεριώδεις εἰσόδους μέσω τῶν μοναδικῶν ἡφαιστείων τῆς Ἰοῦς καὶ πολὺ πιθανὸ ἀπὸ τὰ ἀέρια τοῦ δορυφόρου Τρίτωνα στὸν Ποσειδώνα.

Μερικὲς ἀπὸ τὶς ὁμοιότητες καὶ τὶς διαφορὲς μεταξὺ τῶν διαφόρων πλανητικῶν μαγνητοσφαιρῶν εἰκονίζονται στὴν Εἰκ. 12. Ἐδῶ οἱ ἐνέργειακοὶ πληθυσμοὶ τῶν ἰόντων γιὰ τὶς μαγνητόσφαιρες τῆς Γῆς, τοῦ Δία, Κρόνου, Οὐρανοῦ καὶ Ποσειδώνα ἐμφανίζονται σὲ μιὰ κοινὴ κλίμακα ἐντάσεως, καλύπτοντας τὸ δυναμικὸ πεδίο τῶν $\sim 10^9$. Παρατηροῦμε ὅτι ἡ ἀσθενέστερη ὅλων τῶν μαγνητοσφαιρῶν εἶναι τοῦ Ποσειδώνα, ἐνῶ ἡ ἴσχυρότερη ἐκείνη τοῦ Δία. Ἐπίσης βλέπουμε ὅτι ὁ ποτεδήποτε τὸ διαστὴ μόπλοιο πλησίασε τὸν πλανήτη ἀρκετὰ κοντὰ ὥστε τὰ σωματίδια νὰ ἀπορροφηθοῦν εἴτε ἀπὸ πλανητικοὺς δορυφόρους ἢ διακυλίους, π.χ. Οὐρανὸς καὶ Ποσειδώνας, ἢ τὴν



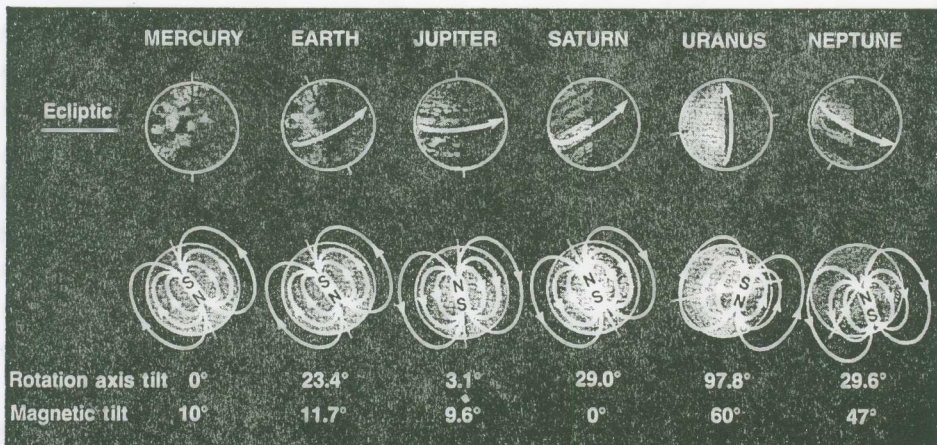
Εικόνα 12. Φασματογράμματα έντασης πού συνοψίζουν τις μετρήσεις φορτισμένων σωματιδίων χαμηλής ένέργειας σε (άπλο κάτω πρός τά πάνω) Ποσειδώνα, Ούρανό, Κρόνο και Δία. Γιά σύγχριση τό πάνω τμήμα δείχνει τά άποτελέσματα γιά τη Γη, δπως συλλέχθηκαν άπλο τό πείραμα άνιχνευσης ένεργειακών σωματιδίων πάνω στό διαστημόπλοιο ISEE 3 (προσφορά τοῦ D. J. Williams). Τά διαγράμματα δείχνουν τήν ένταση ροῆς τῶν σωματιδίων ως συνάρτηση τοῦ χρόνου (πάνω κλίμακα) μὲ τήν άπόσταση σὲ μονάδες πλανητικῶν άκτινων (κάτω κλίμακα) σημειωμένες γιά κάθε πλανήτη.

άτμοσφαιρα (Γη), ύπάρχει ένα έλαχιστο στήν ενταση τῆς άκτινοβολίας στὸ ἐσωτερικὸ τμῆμα τῆς τροχιᾶς καὶ μιὰ αὔξηση πάλι πρὸς τὰ ἔξω. Ἡ ενταση αὔξανει μεταβλητὰ καθὼς κανεὶς πλησιάζει κοντύτερα στὸν πλανήτη καὶ μετὰ τὴν πλησιέστερη προσέγγιση, περνᾶ διαμέσου μιᾶς δευτερεύουσας κορυφῆς ποὺ συνεχίζει νὰ ἐλαττώνεται καθὼς τὸ διαστημόπλοιο τελικὰ διαφεύγει ἀπὸ τὴν μαγνητόσφαιρα διαμέσου τῆς ἀνατολικῆς πλευρᾶς τῆς μαγνητόπαυσης. Ἔνα πιὸ ἐκπληκτικὸ γνώρισμα εἶναι ἡ 10ωρη περιοδικότητα, ποὺ ἐκδηλώνεται στήν περίπτωση τοῦ Δία, ίδιαίτερα στήν νυκτερινὴ πλευρά, ἀλλὰ δὲν γίνεται φανερό, σὲ μερικὲς ἀπὸ τὶς ἄλλες πλανητικὲς συναντήσεις. Στήν πραγματικότητα τέτοια περιοδικότητα ύπάρχει στήν περίπτωση τοῦ Κρόνου [Carbary and Krimigis, 1982], ἀλλὰ δὲν εἶναι φανερὴ σὲ ἄλλες συναντήσεις, διότι ἡ διάρκεια αὐτῶν ήταν σχετικὰ σύντομη ὅταν συγκρίθηκε μὲ τὴν πλανητικὴ περίοδο περιστροφῆς. Σημειώνεται ὅτι σὲ ὅρους πλανητικῶν ἀκτίνων (Πίνακας 2) ἡ μαγνητόσφαιρα τοῦ Δία εἶναι ἡ μεγαλύτερη ὅλων, ἀκολουθούμενη ἀπὸ ἐκείνη τῶν ἄλλων ἔξωτερικῶν πλανητῶν, μὲ τὴν μαγνητόσφαιρα τοῦ Ἐρυθροῦ πάρα πέριοδο μέγεθος. "Οπως παρατηρήθηκε νωρίτερα τὸ διαστημόπλοιο Voyager χρειάστηκε πολὺ πάνω τῶν 4 ἑβδομάδων γιὰ νὰ διασχίσει τὴν μαγνητόσφαιρα τοῦ Δία καὶ τὰ ἀποτελέσματα τῶν πίσω ίόντων καὶ τῶν μπροστὰ σωματιδίων, ποὺ διαφεύγουν ἀπὸ τὴν μαγνητόσφαιρα, ηταν ὁρατὰ γιὰ ἀρκετοὺς μῆνες πρὸν καὶ μετὰ τὴν πλησιέστερη προσέγγιση τοῦ πλανήτη. Σὲ ἀντίθεση, ἡ μαγνητόσφαιρα τῆς Γῆς διασχίστηκε ἀπὸ τὸ διαστημόπλοιο Galileo σὲ λιγότερο ἀπὸ 8 ὥρες.

"Ενα πιὸ σημαντικὸ χαρακτηριστικὸ τῶν πλανητικῶν μαγνητικῶν πεδίων εἶναι ἡ γωνία μεταξὺ τοῦ ἄξονα περιστροφῆς τοῦ πλανήτη καὶ τοῦ μαγνητικοῦ ἄξονα. Ἡ Εἰκ. 13 συγκρίνει τὰ εὑρήματα τοῦ Voyager μὲ ὅσα γνωρίζουμε γιὰ τὰ μαγνητικὰ πεδία τῆς Γῆς καὶ τοῦ Ἐρυθροῦ. Αὐτὴ ἡ γωνία εἶναι σχετικὰ μικρὴ γιὰ ὅλους τοὺς πλανῆτες μὲ ἔξαρτεση τὸν Οὐρανὸ καὶ τὸν Ποσειδώνα. Ἀρχικὰ θεωροῦνταν ὅτι ἡ μεγάλη γωνία στὸν Οὐρανὸ ὀφειλόταν στὸ γεγονὸς ὅτι ὁ ἄξονας περιστροφῆς τοῦ πλανήτη βρίσκεται πιὸ κοντὰ στὸ ἐπίπεδο τῆς ἔκλειπτικῆς. Υπῆρξε ἀκόμη μιὰ κάποια σκέψη ὅτι τὸ πλανητικὸ πεδίο βρισκόταν στὴ διαδικασία νὰ ὑποστεῖ ἀναστροφή, ἐνῶ γινόταν ἡ συνάντηση τοῦ Voyager μὲ τὸν Ποσειδώνα [Ness et al., 1986].

Πάντως, τὸ Voyager 2 στὸν Ποσειδώνα, βρῆκε ὅτι τὸ μαγνητικὸ πεδίο εἶχε κλίση 47° πρὸς τὸν ἄξονα περιστροφῆς παρὰ τὸ ὅτι ὁ ἄξονας περιστροφῆς τοῦ Ποσειδώνα δὲν ἔχει τόσο ἔντονη κλίση ὅσο αὐτὸς τοῦ Οὐρανοῦ. Αὐτὸ δὲν ἀναμενόταν. Ἐπιπρόσθετα, ὁ ἄξονας τοῦ μαγνητικοῦ πεδίου μετατοπίστηκε πάνω ἀπὸ τὸ μισὸ μιᾶς πλανητικῆς ἀκτίνας ἀπὸ τὸ κέντρο τοῦ πλανήτη. Ἔτσι ὁ Οὐρανὸς καὶ ὁ Ποσειδώνας φαίνεται νὰ καταλαμβάνουν μιὰ ξεχωριστὴ καὶ διακριτὴ κατηγορία στὰ πλανητικὰ δυναμόδια χαρακτηριζόμενη ἀπὸ μεγάλη κλίση διπόλου καὶ σύνθετες γεωμετρίες (τετραπολικὴ

ροπή συγκρίσιμη πρός τη διπολική [Ness et al., 1989]). Σε άντιθεση, ή Γη, δ Δίας και δ Κρόνος έχουν πεδία μὲ μικρὴ κλίση διπόλου καὶ σχετικὰ μικρὴ τετραπολικὴ συμβολὴ (<10% τοῦ διπόλου). Αύτὲς οἱ διαφορὲς έχουν βαθιές συνέπειες γιὰ τὸ ἐσωτερικὸ τῶν πλανητῶν. Ὑπειποτεῖ δὲ τὸ δημιουργία δυναμὸ στὸν Οὐρανὸν καὶ τὸν Ποσειδώνα εἶναι σὲ μιὰ περιοχὴ πολὺ ἀπομακρυσμένη ἀπὸ τὸ κέντρο τοῦ πλανήτη [Connerney et al., 1987] σὲ ἔνα ρευστὸ καὶ ἐπάγοντα ἐνέργεια «μανδύα πάγου», ποὺ ἀποτελεῖται ἀπὸ H_2O , ἀμμωνία καὶ μεθάνιο. Ὁ «μανδύας πάγου» ἀποτελεῖ τὰ 2/3 τῆς δόλικῆς μάζας τῶν πλανητῶν σύμφωνα μὲ σύγχρονα πρότυπα τοῦ ἐσωτερικοῦ τους



Εἰκόνα 13. Σύγκριση τῶν σχέσεων μεταξὺ τοῦ μαγνητικοῦ ἀξοῦ καὶ τοῦ ἀξοῦ περιστροφῆς τῶν πλανητῶν ποὺ έχουν σημαντικὲς μαγνητόσφαιρες. Ἡ γωνία μεταξὺ τῶν δύο ἀξόνων εἶναι μέγιστη γιὰ τὸν Οὐρανὸν (Krimigis, 1992).

[Hubbard and McFarlane, 1980]. Τὸ ὑπόλοιπο ἐδρεύει σὲ ἔνα μικρὸ κεντρικὸ πυρήνα πετρώματος, ὑψηλῆς θερμοκρασίας συμπύκνωσης καὶ μέτριας ἀτμόσφαιρας ἥλιου καὶ ὑδρογόνου. Ἡ ἡλεκτρικὴ ἀγωγιμότητα αὐτοῦ τοῦ «μανδύα πάγου», ποὺ ἀποδίδεται στὴν ἐπιφερόμενη πίεση ἰονισμοῦ, παρέχει τὴ ροὴ ρεύματος ποὺ προκύπτει στὸ ὑποτιθέμενο μηχανισμὸ δυναμό, ποὺ δημιουργεῖ τὸ πλανητικὸ μαγνητικὸ πεδίο. Ἡ γενικὴ κατάσταση σχετικὰ μὲ τὸν πλανητικὸ μαγνητισμὸ ἀντανακλᾶ τὸ χαμηλὸ ἐπίπεδο γνώσεων τοῦ μηχανισμοῦ δυναμό στὸ σύνολό του, τόσο γιὰ τὸ ἥλιακὸ ὅσο καὶ γιὰ τὰ πλανητικὰ δυναμό.

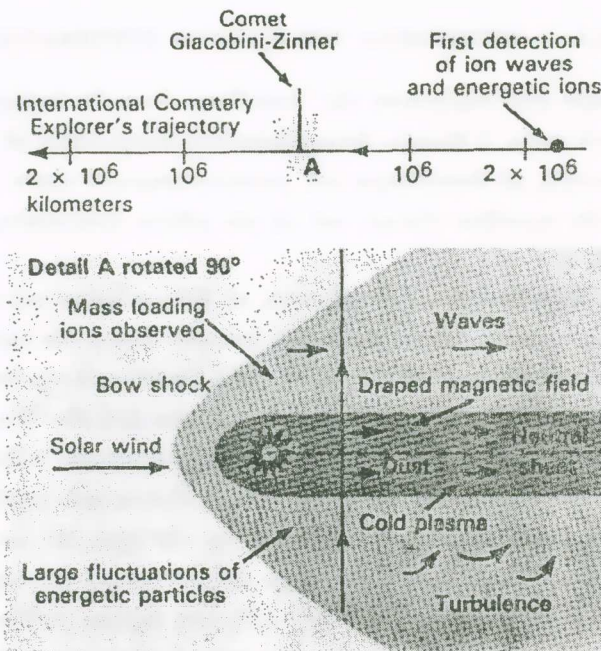
ΑΛΛΑ ΑΝΤΙΚΕΙΜΕΝΑ ΤΟΥ ΗΛΙΑΚΟΥ ΣΥΣΤΗΜΑΤΟΣ

"Οπως είδαμε στήν περίπτωση τῆς 'Αφροδίτης, όπου δὲν ύπάρχει γνωστό ἐσω-τερικό μαγνητικό πεδίο, δήλωσε ανεμος ἐντούτοις ἀλληλεπιδρᾶ μὲ τὴν Ἰονόσφαιρα ἐκείνου τοῦ πλανήτη μὲ ἀποτέλεσμα μιὰ μαγνητοσφαιρικοῦ τύπου ἀλληλεπίδραση, συμπιεσμένη στήν προσήλια πλευρά, καὶ μὲ μία μᾶλλον ἐκτεταμένη οὐρὰ στήν νυκτερινὴ πλευρά.

Παρόμοιες ἀλληλεπιδράσεις ἀναμένονται σὲ ἄλλα σώματα τοῦ ἡλιακοῦ συστήματος, ὅπως τοὺς κομῆτες. Ή παρουσία τῶν Ἰοντικῶν οὐρῶν τῶν κομητῶν χρησιμοποιήθηκε ἀπὸ τὸν Biermann (1951) γιὰ νὰ δείξει ἐπαγωγικὰ τὴν ὑπαρξὴ τοῦ ἡλιακοῦ ἀνέμου, δῆλο. τοῦ ἀγώγιμου ἀερίου ποὺ ἐκπέμπεται ἀπὸ τὸν "Ηλιο. 'Αργότερα ὁ Alfvén (1957) πρότεινε τὴ γενικὴ διαμόρφωση τοῦ μαγνητικοῦ πεδίου καὶ τοῦ περιβάλλοντος τοῦ πλάσματος κατὰ τὴ διάρκεια ἀλληλεπίδρασης ἐνὸς κομήτη μὲ τὸν ἡλιακὸ ἀνέμο, συμπεριλαμβανόμενης τῆς συσσώρευσης τῶν γραμμῶν μαγνητικοῦ πεδίου καὶ τῆς παρουσίας ἐνὸς ρευματοφλοιοῦ στὴν ἀφήλια πλευρὰ τοῦ κομήτη. Αὔτες οἱ προβλέψεις πρωτεελέγχθηκαν μὲ τὴν ἀπελευθέρωση ἀερίων (Λιθίου, Βαρίου) στὸν ἡλιακὸ ἀνέμο κατὰ τὴ διάρκεια τοῦ προγράμματος ἐνεργῶν πειραμάτων ἀνίχνευσης μαγνητοσφαιρικῶν σωματιδίων (AMPTE: Krimigis et al., 1986b).

Παρατηρήθηκε ἡ ὑπαρξὴ διαμαγνητικῆς κοιλότητας καὶ ἡ συσσώρευση γραμμῶν μαγνητικοῦ πεδίου, καθὼς καὶ ὁ σχηματισμὸς ἐνὸς τοξοειδοῦς κρουστικοῦ κύματος. Ἐπιπλέον ἡ παγίδευση καὶ μεταφορὰ ἰόντων ἀπὸ τὸ διαπλανητικὸ ἡλεκτρικὸ πεδίο $\bar{E} = -\frac{1}{c} (\bar{V} \times \bar{B})$ παρατηρήθηκε καὶ μετρήθηκε λεπτομερῶς.

Κατὰ τὸ πρόσφατο παρελθόν, διαστημόπλοια συνάντησαν τοὺς κομῆτες Giacobini-Zinner (11 Σεπτεμβρίου 1985), Halley (8 ἔως 13 Μαρτίου 1986) καὶ Grigg-Skjellerup (10 Ἰουλίου 1992). Οἱ συναντήσεις βασικὰ ἐπιβεβαίωσαν ἀρκετὲς προηγούμενες προσδοκίες ἀλλὰ δημιούργησαν ἐπίσης ἕνα ἀριθμὸ ἀπροσδόκητων ἀποτελεσμάτων. Ή Εἰκόνα 16 ἀνακεφαλαιώνει τὰ εὑρήματα ποὺ ἐπιτεύχθηκαν ἀπὸ τὸ 'Αμερικανικὸ Διαστημόπλοιο Διεθνοῦς 'Εξερεύνησης Κομητῶν (ICE) στὴν πρώτη συνάντηση μὲ κομήτη (Science, εἰδικὴ ἔκδοση 1986). Ή σκοτεινὴ περιοχὴ μὲ τὴν ἐκτεταμένη οὐρὰ στὸ διάγραμμα ἀντιτροσωπεύει τὸ δρατὸ μέρος τοῦ κομήτη, ὅπως αὐτὸς φαίνεται σὲ φωτογραφίες ἀπὸ τὴ γῆ. Τὸ διαστημόπλοιο πέρασε περίπου 7800 km πίσω ἀπὸ τὸν πυρήνα τοῦ κομήτη. Ή εἰκόνα δείχνει ὅτι ἡ πρώτη ἀνίχνευση τῶν κυμάτων ἰόντων μαζὶ μὲ τὴν παρουσία τῶν ἰόντων κομήτη συνέβη πάνω ἀπὸ 2.000.000 km ἀπὸ τὸν πυρήνα. Τὰ ἰόντα ἥταν ἀέρια τοῦ κομήτη, ποὺ φωτοϊονίστηκαν, παρασύρθηκαν ἀπὸ τὸ ἡλεκτρικὸ πεδίο τοῦ ἡλιακοῦ ἀνέμου καὶ ἐπιταχύνθηκαν σὲ ἐνέρ-



Εικόνα 14. Η πρώτη συνάντηση διαστημοπλοίου με κομήτη. Τὸ διαστημόπλοιο «Διεθνῆς Εξερευνητής Κομητῶν» (ICE) πέρασε κοντά στὰ 7.800 km πίσω ἀπὸ τὸν πυρήνα τοῦ κομήτη καὶ ἀπόκτησε πλούσιες πληροφορίες γιὰ τὴν ἀλληλεπίδραση τοῦ θερμοῦ ρέοντος πλάσματος τοῦ ἡλιακοῦ ὄντος μὲ τὸ ψυχρὸ δέριο τοῦ κομήτη ποὺ ἐκπέμπεται ἀπ’ αὐτὸν. Ποικίλες περιοχὲς τοῦ διαστήματος γύρω ἀπὸ τὸν κομήτη σημειώνονται ἐδῶ (Lanzerotti and Krimigis, 1986).

γειες ὑψηλὲς ὅτι 300 KeV γιὰ τὰ βαρύτερα εἰδῆ (πιθανότατα CO_2^+). Σὲ ἀπόσταση περίπου 127.000 km τὸ κρουστικὸ κύμα τοῦ κομήτη παρατηρήθηκε ὅπως ἀναμενόταν πιὸ κοντὰ στὸν πυρήνα (βλέπε εἰκ. 14), ἀναγνωρίστηκε μιὰ ταραχώδης περιοχὴ ὅπου ὁ ἡλιακὸς ἀνεμὸς εἶχε σημαντικὰ ἐπιβραδυνθεῖ λόγω «μαζικῆς φόρτωσης» ἀπὸ ἴόντα τοῦ κομήτη. Μέσα σὲ ἀπόσταση περίπου 8.000 km ἀπὸ τὴν ἀντι-ἡλιακὴ κατεύθυνση παρατηρήθηκε μιὰ περιοχὴ ψυχροῦ πλάσματος συνοδευόμενη ἀπὸ μιὰ γενικὴ ἐλάττωση στὰ ἐνεργειακὰ ἴόντα καὶ ἕνα ἐλάχιστο στὴν ἔνταση τοῦ μαγνητικοῦ πεδίου, ποὺ μοιάζει μὲ διαλαγνητικὴ κοιλότητα, στὴ διάσχιση τοῦ ρευματοφλοιοῦ. Τὸ μέγιστο μαγνητικὸ πεδίο στοὺς λοβοὺς τοῦ κομήτη ἦταν περίπου 16nT.

Ἡ συνάντηση τοῦ κομήτη τοῦ Halley τὸ Μάρτιο 1986 ἀπὸ ἕνα διεθνὴ στολίσκο διαστημοπλοίων (Nature 1986) παρουσίασε ἀποτελέσματα ὅμοια μὲ ἐκεῖνα τοῦ κομήτη Giacobini-Zinner. Τὰ Σοβιετικὰ διαστημόπλοια Vega 1 καὶ 2, ποὺ πέρασαν

σε άπόσταση 8.000 km άπό τὴν πρὸς τὸν ἥλιο πλευρὰ τοῦ κομήτη Halley, φωτογράφησαν τὸν πυρήνα του, παρατήρησαν τὴν περίοδο περιστροφῆς του (περίπου 53 δὲρες) καὶ προσδιόρισαν ρυθμὸν δημιουργίας ἀερίων τῆς τάξης $\sim 10^{30}$ μόρια/sec μὲ βαριὰ ἴοντα ὅπως C^+ , CO_2^+ , H_2O^+ καὶ CH_4^+ ποὺ ἀναγνωρίστηκαν μὲ εὔκρινεια. Ἐνεργειακὰ ἴοντα σὲ μερικὲς ἐκαποντάδες keV παρατηρήθηκαν σὲ ἀποστάσεις μέχρι καὶ 10^7 km ἀπὸ τὸν πυρήνα τοῦ κομήτη. Παρόμοια εὐρήματα ἐπιτεύχθηκαν ἀπὸ τὴν 'Ιαπωνικὴ ἀποστολὴ Planet A καὶ τὸ διαστημόπλοιο Giotto τῆς Εύρωπαϊκῆς Διαστημικῆς 'Ενωσης, τὸ ὅποῖο πέρασε κοντύτερα στὸν πυρήνα στὴν προσήλια πλευρὰ (περίπου 610 km). "Οπως συνέβη καὶ στὴν περίπτωση τῆς συνάντησης τοῦ ICE μὲ τὸν Giacobini-Zinner, ἔτσι καὶ στὸν Halley παρατηρήθηκε κάλυψη τῶν γραμμῶν τοῦ πεδίου μὲ μιὰ περιοχὴ ψυχροῦ πλάσματος. Τὸ κρουστικὸν κύμα παρατηρήθηκε ὅτι εἶναι μακρύτερα ἀπὸ τὸν πυρήνα (περίπου 4×10^5 km) ἀπ' ὅτι τοῦ Giacobini-Zinner, ποὺ ὀφείλεται στὸν ὑψηλότερο ρυθμὸν παραγωγῆς ἀερίου στὸν Halley. Τὸ Giotto συνάντησε ἐπίσης τὸν κομήτη Grig-Skjellerup τὸ 1992, ὁ ὅποῖος εἶχε παρόμοια χαρακτηριστικὰ στὸν τομέα τῶν σωματιδίων καὶ τοῦ πεδίου.

Οἱ τρόποι δυναμικῆς ἀλληλεπίδρασης μεταξὺ ἥλιακοῦ ἀνέμου καὶ ἀστεροειδῶν δὲν εἶναι καλὰ ἐδραιωμένες ἐπὶ τοῦ παρόντος. Τὸ διαστημόπλοιο Galileo συνάντησε τοὺς ἀστεροειδεῖς Gaspra καὶ Ida ἀπὸ μακρυνὴ ἀπόσταση (1.200 km τὸν πρῶτο καὶ 1.500 km τὸ δεύτερο). Τὰ ὄργανα μέτρησης μαγνητικοῦ πεδίου τοῦ διαστημόπλοιου παρατήρησαν κάποιες ταραχώδεις ἀλλαγές στὸ μαγνητικὸν πεδίο τῶν ἀστεροειδῶν, οἱ ὅποιες μποροῦν νὰ ἀποδοθοῦν στὴν ἀλληλεπίδρασή τους μὲ τὸν ἥλιακὸ ἄνεμο [Kivelson et al., 1993]. Ἡ πρώτη δυνατότητα ἐλέγχου τῆς παρουσίας ἡ ἀπουσίας ἀλληλεπίδρασης μεταξὺ ἀστεροειδῶν καὶ ἥλιακοῦ ἀνέμου θὰ δοθεῖ τὸν 'Ιανουάριο τοῦ 1999, ὅταν τὸ διαστημόπλοιο NEAR, ποὺ ἐκτοξεύθηκε τὸν Φεβρ. τοῦ 1996, θὰ συναντηθεῖ μὲ τὸν ἀστεροειδὴ Eros. Τὸ διαστημόπλοιο NEAR θὰ βρίσκεται σὲ τροχιὰ γύρω ἀπὸ τὸν Eros σὲ ἀπόσταση 15 km καὶ θὰ ἐδραιώσει ἀναμφίβολα τὴν λεπτομερὴ μέτρηση ὅποιασδήποτε ἀλληλεπίδρασης μαγνητικοῦ πεδίου μὲ τὸν ἥλιακὸ ἄνεμο [Farquhar et al., 1995].

Τελικὰ θὰ πρέπει νὰ σημειωθεῖ ὅτι οἱ πλανητικοὶ δορυφόροι μπορεῖν νὰ θεωρηθοῦν ὡς ἀντικείμενα ποὺ δυναμικὰ κατέχουν πολύπλοκα μαγνητικὰ πεδία ἢ ἀτμόσφαιρες ποὺ μπορεῖν νὰ ἀλληλεπιδροῦν εἴτε μὲ τὸ πλάσμα τοῦ ἥλιακοῦ ἀνέμου εἴτε μὲ τὸ μαγνητοσφαιρικὸ πλάσμα τοῦ παρόντος σώματος. 'Ιδιαίτερα ἡ 'Ηώ μπορεῖ νὰ ἔχει μιὰ λεπτὴ ἀτμόσφαιρα καὶ πολύπλοκο μαγνητικὸ πεδίο, τὰ ὅποια μαζὶ θὰ μποροῦσαν νὰ παράγουν μιὰ μικρὴ δορυφορικὴ μαγνητόσφαιρα, καθὼς ἔκεινη τοῦ Δία ἀποσύρεται ἀπὸ τὴν 'Ηώ λόγω τῆς περιστροφῆς τοῦ Δία. "Ἐνας συγκεκριμένος προσδιορισμὸς τῆς ἀλληλεπίδρασης θὰ μποροῦσε κάλλιστα νὰ συμβεῖ ὅταν τὰ δεδομένα τοῦ Galileo, ποὺ

ἀποκτήθηκαν τὸ Δεκέμβριο τοῦ 1995, φθάσουν στὴ Γῆ τὸ καλοκαίρι τοῦ 1996. Μιὰ πρόσφατη κοινοποίηση [Kivelson et al., 1996] δείχνει τὴν πιθανὴ παρουσία μαγνητικοῦ πεδίου στὴν Ἡώ.

‘Η καλύτερη ἀπόδειξη μαγνητόσφαιρας μέσα σὲ μαγνητόσφαιρα (Journal of Geophysical Res., 1982) δίνεται ἀπὸ τὸ δορυφόρο τοῦ Κρόνου, Τιτάνα, τοῦ ὅποιου ἡ ἐπιφανειακὴ ἀτμοσφαιρικὴ πίεση εἶναι περίπου 1.6 φορὲς ἐκείνης τῆς Γῆς. ‘Ο Voyager 1 βρῆκε ὅτι ὁ Τιτάνας δὲν ἔχει πολύπλοκο μαγνητικὸ πεδίο, ἀλλὰ ἡ ἀτμόσφαιρα καὶ ἡ ιονόσφαιρά του σχηματίζουν μιὰ κοιλότητα στὴν περιστρεφόμενη μαγνητόσφαιρα τοῦ Κρόνου. Αὕτη ἡ κοιλότητα σχηματίζεται μέσω ἐνὸς μηχανισμοῦ ὅμοιου πρὸς ἐκεῖνον μὲ τὸν ὅποιο ὁ ρέων ἥλιακὸς ἄνεμος παρασύρει μιὰ μαγνητόσφαιρα γύρω ἀπὸ τὴν Ἀφροδίτη. ‘Ο Voyager 1 βρῆκε ὅτι ὁ Τιτάνας ἔχει μιὰ μαγνητοσφαιρὰ μὲ κάποια κλίση πρὸς τὸ πλάσμα ποὺ περιστρέφεται μὲ τὸν Κρόνο. ‘Η ροὴ πλάσματος διακόπτεται ἐγκαρσίως τῆς μαγνητοσφαιρᾶς. Θὰ πρέπει ἐπίσης νὰ σημειωθεῖ πῶς ἐνίστε ὁ Τιτάνας βρίσκεται ἔξω ἀπὸ τὴν κύρια μαγνητόσφαιρα τοῦ Κρόνου, ἴδιαίτερα στὸ ὑψηλὸ σημεῖο καὶ τότε εἶναι ἐκτεθειμένος σὲ ἄμεση ἀλληλεπίδραση μὲ τὸν ἥλιακὸ ἄνεμο. Αὕτα τὰ χαρακτηριστικὰ ἀλληλεπίδρασης τοῦ Τιτάνα θὰ ἐρευνηθοῦν πλήρως ὅταν τὸ διαστημικὸ σκάφος Cassini, ποὺ πρόκειται νὰ ἐκτοξευθεῖ τὸν Ὁκτώβριο τοῦ 1997, φθάσει στὸν Κρόνο καὶ ἐκτελέσει ἔνα μεγάλο ἀριθμὸ συναντήσεων ἀπὸ κοντινὴ ἀπόσταση (περίπου 900 km) μὲ τὸν Τιτάνα. Οἱ ἔδιες γενικὲς παρατηρήσεις μπορεῖν νὰ γίνουν γιὰ τὸν Τρίτωνα, δορυφόρο τοῦ Ποσειδώνα, τοῦ ὅποιου ἡ λεπτὴ ἀτμόσφαιρα φαίνεται νὰ συμβάλει στὸ μαγνητόσφαιρικὸ πλάσμα ποὺ εἶναι παγιδευμένο μέσα στὴ μαγνητόσφαιρα τοῦ πλανήτη [Decker and Cheng, 1994].

ΣΥΓΚΡΙΤΙΚΕΣ ΜΑΓΝΗΤΟΣΦΑΙΡΕΣ

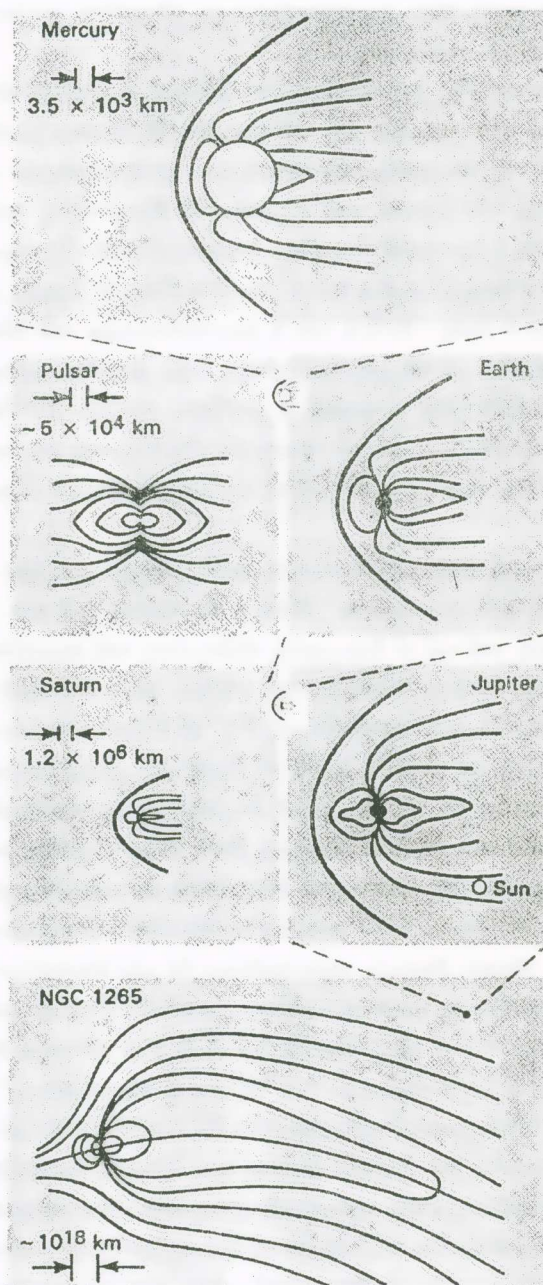
Εἴδαμε ὅτι ἡ ιονισμένη ὥλη σὲ πλανητικὲς κλίμακες ὅπουδήποτε στὸ ἥλιακὸ σύστημα δργανώνεται ἀποτελεσματικὰ ἀπὸ τὰ ἐσωτερικὰ μαγνητικὰ πεδία ἢ τὶς ιονισμένες ἀτμόσφαιρες τῶν πλανητῶν καὶ δορυφόρων. Οἱ προκύπτουσες μαγνητόσφαιρες εἶναι στὴν οὐσίᾳ «κυψέλες» πλάσματος, ἡμιαπομονωμένες καὶ ἀρκετὰ διαφορετικὲς ἀπὸ τὶς γειτονικὲς περιοχὲς πλάσματος. Οἱ πλανητικὲς μαγνητόσφαιρες μοιράζονται πολλὰ γενικὰ χαρακτηριστικά, ὅπως σημειώθηκε παραπάνω, ἀλλὰ τὸ πιὸ σημαντικὸ εἶναι ἡ ἵκανότητα νὰ ἐπιταχύνουν ιόντα καὶ ἡ λεκτρόνια ἀπὸ θερμικὲς ἐνέργειες σὲ δεκαδεῖς καὶ ἑκατοντάδες μεγαβόλτ. Πολλές βασικὲς διεργασίες καὶ ἀστάθειες πλάσματος, ὅπως ἡ ἐπανασύνδεση τῶν γραμμῶν μαγνητικοῦ πεδίου, οἱ ἀλληλεπιδράσεις κυμάτων καὶ σωματιδίων, τὰ ἡλεκτροστατικὰ διπλὰ στρώματα καὶ ἡ ἀστάθεια Kevin - Helmholtz λαμβάνουν χώρα σὲ πλανητικὲς μαγνητόσφαιρες. “Ἐνα διακριτικὸ χα-

ρακτηριστικό είναι κατά πόσο ή μαγνητόσφαιρα οδηγεῖται κυρίως άπό τὸν ἡλιακὸν ἀνέμον τὴν πλανητικὴν περιστροφή.

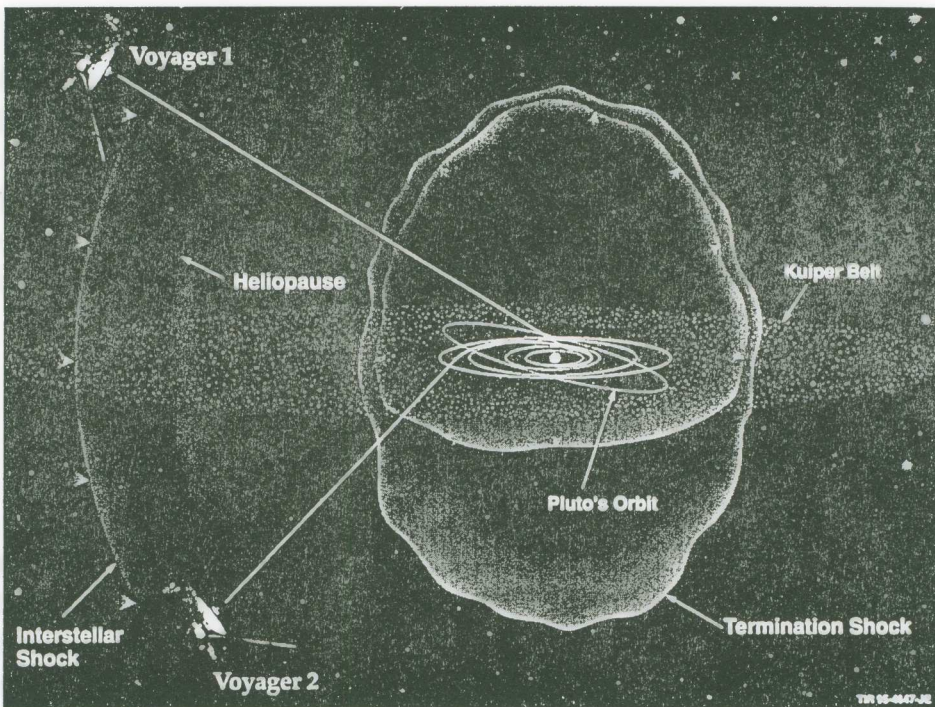
‘Η βασικὴ ἔννοια τῆς μαγνητόσφαιρας βρίσκεται ἐφαρμογὴ σὲ πολλὰ φαινόμενα ποὺ παρατηροῦνται στὸ γαλαξία καὶ τὸ σύμπαν. ‘Η Εἰκόνα 15 ἀνακεφαλαιώνει τὰ σχετικὰ μεγέθη καὶ τὴ γεωμετρία τῶν διαφόρων μαγνητοσφαιρῶν ποὺ ὑπάρχουν στὸ ἡλιακὸν σύστημα καὶ, ἐπαγωγικά, στὸ σύμπαν. ‘Η ἐξερεύνηση τοῦ ἡλιακοῦ συστήματος μᾶς δίδαξε ὅτι ή ἰονισμένη ὥλη είναι ὀργανωμένη σὲ κλίμακες ποὺ κυμαίνονται άπὸ 10 km, ποὺ ἀντιστοιχεῖ σὲ ἓνα μικρὸ πλανήτη ὅπως ὁ Ἐρυθρός, μέχρι μερικὰ ἐκατομμύρια km ὅπως ὁ Δίας. Ἀκόμη καὶ ή μαγνητόσφαιρα τοῦ Δία ὅμως ὠχριαὶ σὲ μέγεθος ὅταν συγκριθεῖ μὲ τὴ μαγνητόσφαιρα ἑνὸς μεγάλου ραδιογαλαξία, ὅπως ὁ New Galactic Catalog 1265 μὲ κλίμακα μεγέθους περίπου 10^{18} km. Ἐπίσης είναι ἐνδιαφέρον ὅτι τὰ μεγέθη τῶν μαγνητοσφαιρῶν τῆς Γῆς καὶ τῶν παλλόμενων ραδιοπηγῶν (pulsars) είναι παρόμοια, ἀν καὶ οἱ σχετικὲς ἐνέργειες είναι πολὺ διαφορετικές.

Τὰ πλανητικὰ καὶ ἀστρικὰ μαγνητικὰ πεδία ὀργανώνουν τὴν ἰονισμένη ὥλη σὲ ἀστρικὰ καὶ γαλαξιακὰ συστήματα. Αὐτὴ ή ὀργάνωση γιὰ τὴν ἀστροφυσικὴν ἔχει προφανεῖς συνέπειες, μιὰ καὶ οἱ διεργασίες πλάσματος ποὺ περιπλέκονται, συχνὰ παράγουν ραδιοακτίνες, ἀκτίνες-X καὶ ἀκτίνες γάμμα, οἱ ὅποιες διαδίδονται σὲ μεγάλες ἀποστάσεις καὶ μποροῦν νὰ ἀνιχνευθοῦν στὴ Γῆ. ‘Η ἀνίχνευση τέτοιων ἐκπομπῶν ἐπιβεβαιώνει τὴν ὑπαρξὴν καὶ μερικές φορὲς τὴ δομὴ τῶν μαγνητοσφαιρῶν ποὺ διαπερνοῦν τὸ γαλαξία μας καὶ τὸ σύμπαν. Αὐτὸν ἀναδεικνύει τὴ σπουδαιότητα τῆς μελέτης τῶν μαγνητοσφαιρῶν στὸ ἡλιακὸ σύστημα, διότι είναι οἱ μόνες στὶς ὅποιες ἔχουμε πρόσβαση γιὰ μετρήσεις ἐπὶ τόπου ποὺ ἐπιτρέπουν νὰ μελετήσουμε τὴ μικροφυσικὴν καὶ τὸ φαινόμενα ποὺ δημιουργοῦν μεγάλες συναθροίσεις πλάσματος ὅπως αὐτὴν τοῦ NGC 1265. Μόνο τέτοιες βασικὲς παρατηρήσεις θὰ μᾶς ἐπιτρέψουν νὰ καταλάβουμε σωστὰ καὶ νὰ συσχετίσουμε τὶς παρατηρήσεις μακρινῶν ἀστροφυσικῶν ἀντικειμένων.

Τέλος, είναι σημαντικὸν νὰ τονίσουμε ὅτι τὸ ἡλιακὸ σύστημα ἀπὸ μόνο του μπορεῖ νὰ θεωρηθεῖ ὡς ή μαγνητόσφαιρα τοῦ “Ηλιου, ή ὄνομαζόμενη ‘Ηλιόσφαιρα. ‘Ενα ἰδεατὸ σχῆμα τῆς ‘Ηλιόσφαιρας φαίνεται στὴν Εἰκόνα 16. Ἐδῶ βλέπουμε μιὰ ἐγκάρσια τομὴ τοῦ πλάσματος τοῦ ἡλιακοῦ ἀνέμου ποὺ ἀπομακρύνεται ἀπὸ τὸν “Ηλιο, καὶ τελικὰ ἔχει σὰν ἀποτέλεσμα ἔνα τερματικὸ κρουστικὸ κύμα πέρα ἀπὸ τὶς τροχιές ὅλων τῶν πλανητῶν καὶ ἀκόμα πιὸ μακριὰ σὲ ἓνα τοξοειδὲς κρουστικὸ κύμα, τὸ ὅποιο σημειώνει τὸ σύνορο μεταξὺ τοῦ διαστρικοῦ μέσου καὶ τῆς ἐπιρροῆς τοῦ “Ηλιου. Οἱ τροχιές τῶν δύο διαστημοπλοίων Voyager είναι ἔνθετες καὶ σημειώνουν διεύθυνση στὴν ὅποια περιμένουμε νὰ λάβει χώρα η τελευταία «συνάντηση» μεταξὺ τοῦ διαστημοπλοίου Voyager καὶ τῆς ἄκρης τοῦ ἡλιακοῦ συστήματος. ‘Η ἀκριβὴς ἀπόστα-



Εικόνα 15. Μαγνητόσφαιρες τοῦ ήλιακοῦ συστήματος σὲ σύγκριση μὲ τὴν ὑποθετικὴ μαγνητόσφαιρα ἐνὸς pulsar καὶ τοῦ NGC 1265. Παρατηρῆστε τὴν διμοιότητα σὲ κλίμακα μεταξὺ τῆς μαγνητόσφαιρας τῆς Γῆς καὶ τοῦ pulsar, παρόλο που οἱ σχετικὲς ἐνέργειες εἶναι πάρα πολὺ διαφορετικές.



Εικόνα 16. Το σχήμα τῆς μαγνητόσφαιρας τοῦ Ἡλίου (τῆς Ἡλιόσφαιρας) ἵσως μοιάζει μὲ αὐτὸ τῶν περιοχῶν πλάσματος ποὺ ἔξερευνήθηκαν ἀπὸ τοὺς Voyager. Τὰ διαστημόπλοια Voyager 1 καὶ 2 βρίσκονται τώρα σὲ πορεία ποὺ ὁδηγεῖ ἔξω ἀπὸ τὸ ἡλιακὸ σύστημα. Κάποια στιγμὴ στὸν ἐπόμενο αἰώνα ἔνα ἀπὸ αὐτὰ θὰ περάσει τὴν ἡλιόπτωση καὶ θὰ μπεῖ στὸ διαστρικὸ διάστημα (προσφορὰ τοῦ R. L. McNutt, Jr.).

ση δὲν εἶναι γνωστὴ καὶ οἱ ἀριθμοὶ ποὺ ὑπολογίζονται ἀπὸ τρέχουσες παρατηρήσεις δίνουν ἐλάχιστη ἀπόσταση 80 AU καὶ μεγίστη 150-200 AU (*Journal of Geophys. Research, Special Issue*, 1993). Ἀναμένεται ὅτι τὰ Voyager, θὰ συνεχίσουν νὰ ἔχουν ἴκανοποιητικὴ ἐνέργεια γιὰ νὰ λειτουργήσουν μέχρι τὸ ἔτος 2017, ὅταν ὁ Voyager 1 θὰ ἔχει φτάσει σὲ μιὰ ἀπόσταση ~133 AU, δηλαδὴ ~20 δισεκατομμύρια km μακριὰ ἀπὸ τὴ Γῆ. Αὐτὸς θὰ εἶναι περίπου δὲ καιρὸς στὸν ὃποιο ὅτι θὰ ἔχουμε ἀποκτήσει μιὰ πρώτη κοντινὴ ματιὰ στὴν ἀλληλεπίδραση τοῦ ἡλιακοῦ ἀνέμου μὲ τὸν πλανήτη Πλούτωνα. Θὰ μποροῦσε λοιπὸν νὰ εἰπωθεῖ ὅτι ἡ γνώση μας γιὰ τὶς ἀλληλεπιδράσεις τοῦ ἡλιακοῦ ἀνέμου μὲ ὅλα τὰ σώματα τοῦ ἡλιακοῦ συστήματος καὶ τὸ διαστρικὸ ὄριο δὲ θὰ εἶναι διλοκληρωμένη πρὶν ἀπὸ τὶς ἀρχὲς τοῦ 21ου αἰώνα.

ΕΥΧΑΡΙΣΤΙΕΣ

Αύτή ή έργασία στηρίχθηκε πολὺ σὲ προηγούμενες μελέτες τοῦ θέματος ἀπὸ τοὺς Lanzerotti and Krimigis (*Physics Today*, 1985), ἀπὸ τὸν Krimigis (1988) καὶ ἀπὸ συζητήσεις μὲ πολλοὺς συναδέλφους στὸ 'Εργαστήριο 'Εφαρμοσμένης Φυσικῆς καὶ ἄλλοι. Ἡ έργασία ὑποστηρίχθηκε κατὰ ἓνα μέρος ἀπὸ τὴ NASA καὶ ἀπὸ τὸ Task 1 τοῦ συμβολαίου N00039-95-C-0002 μεταξὺ τοῦ Πανεπιστημίου Johns Hopkins καὶ τοῦ Ναυτικοῦ. Εὐχαριστίες ἐκφράζονται στοὺς κ.κ. Σιδηρόπουλο καὶ Δαγκλῆ γιὰ τὴν βοήθειά τους στὴν μετάφραση τοῦ κειμένου.

S U M M A R Y

**The New Solar System: Solar Activity and the Solar Wind Interaction
with the Planets**

Since the onset of space exploration some forty years ago, there has been a revolutionary leap forward in our knowledge of the solar system, to the point where we can justifiably say that we now know a «new solar system». This newness does not only refer to images of planetary surfaces and atmospheres but, most important, to aspects that are not readily observable at visible or infrared wavelengths, such as the magnetic fields and plasma envelopes (magnetospheres) of each object that are of fundamental importance to the formation of the solar system. The sun, at the center of the system, is highly variable and is the principal source of energy that drives the dynamics of solar system magnetospheres through the variability of the solar wind, which expands into the interplanetary medium at about 500 km/sec to at least 10 billion km, and perhaps farther than 15 billion km. The solar wind envelopes planetary magnetic fields, compressing them on the sunward side and extending them into long tails on the nightside. Inside these magnetospheres the plasma is accelerated through betatron and other mechanisms to energies extending to hundreds of MeV close to the planet and to tens of MeV farther out. The largest magnetosphere is that of Jupiter, dwarfing the size of the solar disk and containing plasma that originates principally from the volcanoes of the satellite Io. Jupiter's moon Ganymede and probably Io possess intrinsic magnetic fields that are embedded within the Jovian magnetosphere plasma. Strong radio emissions emanate from most planetary magnetospheres, with those at Jupiter extending to tens of MHz, while for the other planets

cutoffs are on the order of one MHz. Planetary magnetic moments range from $<10^{21}$ gauss cm³ for Venus to $\sim 1.5 \times 10^{30}$ gauss cm³ for Jupiter, while the tilt of the magnetic dipole axis with respect to the planetary rotation axis ranges from $\sim 0^\circ$ at Saturn to 60° at Uranus. Magnetospheres in the solar system constitute veritable plasma laboratories where a variety of phenomena ranging from magnetic field turbulence and reconnection to wave-particle interactions and plasma instabilities of all kinds are observed and modeled in detail. These in-situ studies are invaluable tools in the interpretation of phenomena sensed remotely in astrophysical objects ranging from pulsars to entire galaxies. To complete the exploration of the solar system plasma environment, we still need to investigate in-situ the Pluto-Charon system, the boundary of the heliosphere with the interstellar medium, and the vicinity of the sun itself at ranges ≤ 2 million km.

БИБЛІОГРАФІА

- H. Alfven, «On the Theory of Comet Tails», *Tellus* **9**, 92-96 (1957).
- F. Bagenal and R. L. McNutt, Jr., «Pluto's Interaction with the Solar Wind», *Geophys. Res. Lett.* **16**, 1229-1232 (1989).
- J. W. Belcher, H. S. Bridge, F. Bagenal, B. Coppi, O. Divers, A. Eviatar, G. S. Gordon, Jr., A. J. Lazarus, R. L. McNutt, Jr., K. W. Ogilvie, J. D. Richardson, G. L. Siscoe, E. C. Sittler, Jr., J. T. Steinberg, J. D. Sullivan, A. Szabo, L. Villanueva, V. M. Vasiliunas and M. Zhang, «Plasma Observations Near Neptune: Initial Results from Voyager 2», *Science* **246**, 1478-1483 (1989).
- H. S. Bridge, J. W. Belcher, B. Coppin, A. J. Lazarus, R. L. McNutt, Jr., S. Olbert, J. D. Richardson, M. R. Sands, R. S. Selsnick, J. D. Sullivan, R. E. Hartle, K. W. Ogilvie, E. C. Sittler, Jr., F. Bagenal, R. S. Wolff, V. M. Vasiliunas, G. L. Siscoe, C. K. Goertz, and A. Eviatar, «Plasma Observations Near Uranus: Initial Results from Voyager 2», *Science* **233**, 89-93 (1986).
- L. Biermann, «Kometenschweife und Solare Korpuskularstrahlung», *Z. Angew. Phys.* **29**, 274-286 (1951).
- J. F. Carbary and S. M. Krimigis, «Charged Particle Periodicity in the Saturnian Magnetosphere», *Geophys. Res. Lett.* **9**, 1073-1076 (1982).
- J. F. Carbary, S. M. Krimigis and W. H. Ip, «Energetic Particle Microsignatures of Saturn's Satellites», *J. Geophys. Res.* **88**, 8947-8958 (1983).
- A. F. Cheng, «Effects of Io's Volcanoes on the Plasma Torus and Jupiter's Magnetosphere», *Astrophys. J.* **242**, 812 (1980).

- J. E. P. Connerney, M. H. Acuña and N. F. Ness, «The Magnetic Field of Uranus», *J. Geophys. Res.* **92**, 15329 (1987).
- J. E. P. Connerney and N. F. Ness, in *Mercury*, F. Vilas, C. Chapman, M. S. Matthews, eds. University of Arizona Press, Tucson, pp. 494-513 (1988).
- R. B. Decker and A. F. Cheng, «A Model of Triton's Role in Neptune's Magnetosphere», *J. Geophys. Res.* **99**, 19027-19045 (1994).
- R. W. Farquhar, D. W. Dunham and J. V. McDams, «NEAR Mission Overview and Trajectory Design», *J. Astronaut. Sci.* **43**, 353-372 (1995).
- C. K. Goertz, «Energization of Charged Particles in Jupiter's Outer Magnetosphere», *J. Geophys. Res.* **83**, 3145-3150 (1978).
- T. Gombosi (editor), «Plasma Environments of Non-Magnetic Planets», *Proc. 4th COSPAR Colloquium*, Pergamon Press (1993).
- D. A. Gurnett, W. S. Kurth, R. L. Poynter, L. J. Granroth, I. H. Cairns, W. M. Maccek, S. L. Moses, F. V. Coroniti, C. F. Kennel and D. D. Barbara, «First Plasma Wave Observations at Uranus», *Science* **246**, 1494-1498 (1989).
- D. A. Gurnett, «Solar System Plasma Waves», *75th Anniversary of URSI*, Brussels (April 27 1995).
- D. C. Hamilton, G. Gloeckler, S. M. Krimigis and L. J. Lanzerotti, «Composition of Non-Thermal Ions in the Jovian Magnetosphere», *J. Geophys. Res.* **86**, 8301-8318 (1981).
- T. W. Hill, A. J. Dessler and C. K. Goertz, in *Physics of the Jovian Magnetosphere*, A. J. Dessler, ed., Cambridge, p. 353 (1983).
- W. B. Hubbard and J. J. McFarlane, «Structure and Evolution of Uranus and Neptune», *J. Geophys. Res.* **85**, 225-234 (1980).
- J. Geophys. Res.* **85**, Pioneer Saturn issue, 5651 (1980).
- J. Geophys. Res.* **86**, Voyager Mission to Jupiter issue, 8123 (1981).
- J. Geophys. Res.* **87**, Titan issue, 1351-1418 (1982).
- J. Geophys. Res.* **88**, Voyager Saturn issue, 8625 (1983).
- J. Geophys. Res.* **98**, «Boundaries of the Heliosphere», 15121-15220 (1993).
- M. G. Kivelson, K. K. Khurana, R. J. Walker, C. T. Russell, J. A. Linker, D. J. Southwood, C. Polanskey, «A Magnetic Signature at Io: Initial Report from the Galileo Magnetometer», *Science* **273**, 337-340 (1996).
- M. G. Kivelson, L. F. Bargatze, K. K. Khurana, D. J. Southwood, R. J. Walker and P. J. Coleman, Jr., «Magnetic Field Signatures Near Galileo's Closest Approach to Gaspra», *Science* **261**, 331-335 (1993).
- S. M. Krimigis, «Planetary Magnetospheres: The *in situ* Astrophysical Laboratories», *Proc. 17th International Cosmic Ray Conference* **12**, 229-272 (1981).
- S. M. Krimigis, J. F. Carbary, E. P. Keath, C. O. Bostrom, W. I. Axford, G. Gloeckler, L. J. Lanzerotti, and T. P. Armstrong, «Characteristics of Hot Plasma in the Jovian Magnetosphere: Results from the Voyager Spacecraft», *J. Geophys. Res.* **86**, 8227-8257 (1981).
- S. M. Krimigis, J. F. Carbary, E. P. Keath, T. P. Armstrong, L. J. Lan-

- z e r o t t i, and G. G l o e c k l e r, «General Characteristics of Hot Plasma and Energetic Particles in the Saturnian Magnetosphere: Results from the Voyager Spacecraft», *J. Geophys. Res.* **88**, 8871-8892 (1983).
- S. M. K r i m i g i s, T. P. A r m s t r o n g, W. I. A x f o r d, A. F. C h e n g, G. G l o e c k l e r, D. C. H a m i l t o n, E. P. K e a t h, L. J. L a n z e r o t t i and B. H. M a u k, «The Magnetosphere of Uranus: Hot Plasma and Radiation Environment», *Science* **233**, 97-101 (1986a).
- S. M. K r i m i g i s, G. H a e r e n d e l, G. G l o e c k l e r, R. W. M c E n t i r e, E. G. S h e l l e y, R. B. D e c k e r, G. P a s c h m a n, T. A. P o t e m r a, F. W. S c a r f, A. L. B r i n c a, and H. L u h r, «AMPTE Lithium Tracer Releases in the Solar Wind: Observations Inside the Magnetosphere», *J. Geophys. Res.* **91**, 1339-1353 (1986b).
- S. M. K r i m i g i s, «The Sun and the Sun-Earth Connection», *J. Brit. Interpl. Soc.* **41**, 63-80 (1988).
- S. M. K r i m i g i s, T. P. A r m s t r o n g, W. I. A x f o r d, C. O. B o s t r o m, A. F. C h e n g, G. G l o e c k l e r, D. C. H a m i l t o n, E. P. K e a t h, L. J. L a n z e r o t t i, B. H. M a u k, and J. A. V a n A l l e n, «Hot Plasma and Energetic Particles in Neptune's Magnetosphere», *Science* **246**, 1483-1489 (1989).
- S. M. K r i m i g i s, «The Encounter of Voyager 2 with Neptune's Magnetosphere», *Magnetospheric Physics: Achievements and Prospects*, B. H u l t q v i s t and C.-G. F ä l t h a m m e r (eds.), Plenum Press, New York, NY, pp. 41-60 (1990).
- S. M. K r i m i g i s, «The Magnetosphere of Neptune», *The Planetary Report, Volume XII*, 2, 10 (1992).
- L. J. L a n z e r o t t i and S. M. K r i m i g i s, «Comparative Magnetospheres», *Physics Today*, **38**, 25-34 (1985).
- L. J. L a n z e r o t t i and S. M. K r i m i g i s, «Comparative Magnetospheres», *Johns Hopkins APL Tech. Digest* **7**, 335-347 (1986).
- B. H. M a u k, E. P. K e a t h, M. K a n e, S. M. K r i m i g i s, A. F. C h e n g, M. H. A c u ñ a, T. P. A r m s t r o n g and N. F. N e s s, «The Magnetosphere of Neptune: Hot Plasmas and Energetic Particles», *J. Geophys. Res.* **96**, 19061-19084 (1991).
- B. H. M a u k, S. M. K r i m i g i s, A. F. C h e n g, and R. S. S e l e s n i c k, in *Neptune and Triton*, D. Cruikshank (ed.), University of Arizona Press, pp. 169-232 (1995).
- N a t i o n a l R e s e a r c h C o u n c i l, «An Integrated Strategy for the Planetary Sciences», Space Studies Board, NRC, Washington, DC (1994).
- Nature* **321**, «Encounters with Comet Halley», 259-365 (1986).
- N. F. N e s s, «The Magnetic Fields of Mercury, Mars and Moon», *Ann. Rev. Earth Planet. Sci.* **7**, 249-288 (1979).
- N. F. N e s s, M. H. A c u ñ a, R. P. L e p p i n g, L. F. B u r l a g a, K. W. B e h a n n o n and F. M. N e u b a u e r, «Magnetic Field Studies at Jupiter by Voyager 1: Preliminary Results», *Science* **204**, 982-987 (1979).
- N. F. N e s s, M. H. A c u ñ a, K. W. B e h a n n o n, L. F. B u r l a g a, J. E. P. C o n n e r n e y, R. P. L e p p i n g and F. M. N e u b a u e r, «Magnetic Fields at Uranus», *Science* **233**, 85-89 (1986).

- N. F. Ness, M. H. Acuña, L. F. Burlaga, J. E. P. Connerney, R. P. Lepping, and F. M. Neubauer, «Magnetic Fields at Neptune», *Science* **246**, 1473-1478 (1989).
- K. R. Pyle and J. A. Simpson, «The Jovian Relativistic Electron Distribution in Interplanetary Space from 1 to 11 AU: Evidence for a Continuously Emitting 'Point' Source», *Astrophys. J.* **215**, L89 (1977).
- C. T. Russell, in *Solar System Plasma Physics*, C. F. Kennel, L. J. Lanzerotti, and E. N. Parker, eds., North Holland, Amsterdam, **2**, p. 207 (1979).
- Science* **232**, The Explorer Mission to Comet Giacobini-Zinner issue, 353-385 (1986).
- J. A. Simpson et al., «Energetic Charged-Particle Phenomena in the Jovian Magnetosphere: First Results from the Ulysses COSPIN Collaboration», *Science* **257**, 1543-1550 (1992).
- S. A. Stern, «The Pluto-Charon System», *Annu. Rev. Astron. Astrophys.* **30**, 185-233 (1992).
- J. W. Warwick, D. W. Evans, J. H. Romig, C. B. Sawyer, M. D. Desch, M. L. Kaiser, J. K. Alexander, T. D. Carr, D. H. Staelin, S. Gulkis, R. L. Poynter, M. Aubier, A. Boischot, Y. Leblanc, A. Le cacheux, B. M. Pedersen, and P. Zarka, «Voyager 2 Radio Observations of Uranus», *Science* **233**, 102-106 (1986).
- J. W. Warwick, D. W. Evans, G. R. Peltzer, R. G. Peltzer, J. H. Romig, C. B. Sawyer, A. C. Riddle, A. E. Schweitzer, M. D. Desch, M. L. Kaiser et al., «Voyager Planetary Radio Astronomy at Neptune», *Science* **243**, 1498-1501 (1989).
- A. V. Zakharov, «The Plasma Environment of Mars: Phobos Mission Results, in *Venus and Mars: Atmospheres, Ionospheres, and Solar Wind Interactions*», Luhman, Tatrallyay, and Pepin (eds.), *Geophysical Monograph 66*, AGU Press, Washington, DC (1992).
- R. D. Zwicky, S. M. Krimigis, J. F. Carberry, E. P. Keath, T. P. Armstrong, D. C. Hamilton, and G. Gloeckler, «Energetic Particle Events (≥ 30 keV) of Jovian Origin Observed by Voyager 1 and 2 in Interplanetary Space», *J. Geophys. Res.* **86**, 8125-8140 (1981).

ΠΙΝΑΚΑΣ 1
Πλανητικές έξιστητες

¹ Απόσταση δπὸ τὸν "Ηλιο (AU)	² Ακτίνα (10 ³ km)	Περίοδος περιστροφῆς	Κλίση οξυας περιστροφῆς (μοίρες)	Μέση πολύτητα	Βαθύτητα Επιφανείας	Ταχύτητα Διαφυγῆς
Ερυζ.	0.4	2.44	58.6	0.0	5.4	4.2
Αφροδίτη	0.7	6.10	243	177.4	5.2	8.9
Γῆ	1.0	6.37	1	23.4	5.5	9.8
"Αρης	1.5	3.38	1.02	25.2	3.9	3.7
Διάς	5.2	71.4	0.44	3.4	1.3	22.9
Κρόνος	9.5	60.4	0.44	25.3	0.7	60
Οὐρανός	19.2	25.6	0.72	97.9	1.18	36
Ποσειδώνας	30.0	25.3	0.67	28.3	1.64	24
Πλούτωνας	39.4	1.45	6.39	122.5	2.03	1.0

ΠΙΝΑΚΑΣ 2

Πλανητώνες μαγνητικές ιδιότητες						
$\Delta\tau\sigma\lambda\omega\gamma\eta\tau\gamma\theta\pi\tau\eta$	Μαγνητικό πεδίο στη φυσική στάν τισμούρων (gauss cm ³)	Πλανητώνα ($\sigma/\epsilon\tau\eta\omega\mu\zeta$ $\tau\eta/\Gamma\tilde{\eta}$)	Γωνία Μαγνητικού πεδίου προς τὸν άξονα περιστροφῆς	Πηγές (μοῖρες προς τὸν άξονα περιστροφῆς)	Πηγές Πλάσματος	Τυπωμένη Θέση Μαγνητικού στόχου (planetary radii)
$\epsilon\beta\omega\tilde{\eta}\zeta$	$\sim 6 \times 10^{22}$	0.0035	" $\delta\omega$	~ 40	W:	1.1
$\alpha\phi\delta\tilde{\eta}\tau\eta$	$< 10^{21}$	< 0.0003	" $\delta\omega$	—	A	1.1
$\Gamma\tilde{\eta}$	8×10^{25}	0.31	" $\delta\omega$	11.5	W,A	10
$\alpha\beta\eta\zeta$	$2.5 \times 10^{22} ;$	0.00065 ;	' $\alpha\tau\theta\epsilon\tau\eta ;$	—	;	;
$\Delta\omega\zeta$	1.5×10^{30}	4.1	' $\alpha\tau\theta\epsilon\tau\eta$	~ 10	W,A,S	60-100
$K\beta\delta\omega\zeta$	1.5×10^{29}	0.4	' $\alpha\tau\theta\epsilon\tau\eta$	< 1	W,A,S	20-25
$O\beta\alpha\delta\zeta$	3.9×10^{27}	0.23**	' $\alpha\tau\theta\epsilon\tau\eta$	60	A,S(;)	18-25
$P\alpha\sigma\epsilon\delta\omega\eta\zeta$	2×10^{27}	0.43	' $\alpha\tau\theta\epsilon\tau\eta$	47	A,S	23-26.5

* $W = \hat{r}\lambda\omega\theta\pi\tau\gamma\eta\tau\gamma\theta\pi\tau\eta$, $\Lambda = \alpha\tau\mu\delta\sigma\phi\alpha\beta\alpha$, $S = \delta\alpha\mu\phi\beta\alpha$.

** $\Delta\gamma\omega\tau\tilde{\eta}\zeta$ διπολικής φοτής, τὸ διαγνητικὸν πεδίον επιφανείας κυμαίνεται διπλὸν 0.1 σὲ 1.1 gauss.